

**T.C.  
SAKARYA ÜNİVERSİTESİ  
FEN BİLİMLERİ ENSTİTÜSÜ**

**BULANIK C VE K-ORTALAMALARLA BAŞLANGIÇ ÇÖZÜMÜ  
OLUŞTURULMUŞ TAVLAMA BENZETİMİ HİBRİT ALGORİTMASI İLE  
KAPASİTE KISITLI ARAÇ ROTALAMA PROBLEMİNİN ÇÖZÜMÜ**

**YÜKSEK LİSANS TEZİ**

**Ahmet Fatih EKER**

**Enstitü Anabilim Dalı : ENDÜSTRİ MÜHENDİSLİĞİ**

**Tez Danışmanı : Prof. Dr. İbrahim ÇİL**

**Eylül 2020**

## BEYAN

Tez içindeki tüm verilerin akademik kurallar çerçevesinde tarafımdan elde edildiğini, görsel ve yazılı tüm bilgi ve sonuçların akademik ve etik kurallara uygun şekilde sunulduğunu, kullanılan verilerde herhangi bir tahrifat yapılmadığını, başkalarının eserlerinden yararlanılması durumunda bilimsel normlara uygun olarak atıfta bulunulduğunu, tezde yer alan verilerin bu üniversite veya başka bir üniversitede herhangi bir tez çalışmasında kullanılmadığını beyan ederim.

Ahmet Fatih EKER

06.08.2020



## TEŐEKKÜR

Lisans ve Yüksek Lisans eğitimim boyunca değerli bilgi ve deneyimlerinden yararlandığım, her konuda bilgi ve desteğini almaktan çekinmediğim, araştırmanın planlanmasından yazılmasına kadar tüm aşamalarında yardımlarını esirgemeyen, teşvik eden, aynı titizlikte beni yönlendiren değerli danışman hocam Prof. Dr. İbrahim ÇİL'e teşekkürlerimi sunarım.

Ayrıca çeviride bana yardımcı olan İngilizce öğretmenim Sedat KALKAN'a ve çalışmanın son kontrollerini yapan kardeşim Recep EKER'e teşekkür ederim.



3.2.2. Tavlama benzetimi .....	21
3.2.3. Genetik algoritma.....	25
3.2.4. Karınca kolonisi optimizasyonu.....	27
3.3. Kümeleme Algoritmaları.....	29
3.3.1. K-ortalamalar kümelemesi .....	30
3.3.2. Bulanık c-ortalamalar kümelemesi.....	32
3.4. Önerilen Çözüm Yöntemi.....	34
BÖLÜM 4.	
ARAŞTIRMA BULGULARI .....	41
BÖLÜM 5.	
TARTIŞMA VE SONUÇ .....	58
KAYNAKLAR.....	61
EKLER.....	70
ÖZGEÇMİŞ .....	85

## SİMGELER VE KISALTMALAR LİSTESİ

$ S $	: S Alt Kümesindeki Elemanların Sayısı
AARP	: Açık Araç Rotalama Problemi
ABD	: Amerika Birleşik Devletleri
AP	: Atama Problemi
ARP	: Araç Rotalama Problemi
ARUAP	: Açgözlü Randomize Uyarlanabilir Arama Prosedürü
BCO	: Bulanık C-ortalamalar
$c_{ij}$	: i ve j Arasındaki Maliyet
$C_j$	: j Kümesinin Merkezi
ÇGSP	: Çoklu Gezgin Satıcı Problemi
$d_{ij}$	: i ve j Arasındaki Mesafe
E	: Enerji Miktarı
$e_i$	: En Erken Kabul Zamanı
EKYA	: En Kısa Yayılan Ağaç
GA	: Genetik Algoritma
GSP	: Gezgin Satıcı Problemi
GTARP	: Geri Taşımali Araç Rotalama Problemi
GTZPARP	: Geri Taşımali ve Zaman Pencereci Araç Rotalama Problemi
HK	: Hiyerarşik Kümeleme
HKDYAK	: Hiyerarşileri Kullanarak Dengeli Yinelemeli Azaltma ve Kümeleme
KARP	: Kapasiteli Araç Rotalama Problemi
$k_B$	: Fiziksel Boltzmann Sabiti
KKO	: Karınca Kolonisi Optimizasyonu
KKDH	: Kendi Kendini Düzenleyen Harita
KRP	: Konum Rotalama Problemi
$l_i$	: En Geç Kabul Zamanı

MEB	: Medoidlerin Etrafında Bölümleme
MKKARP	: Mesafe Kısıtlı Kapasiteli Araç Rotalama Problemi
$q^0$	: Başlangıç Sıcaklığı
$q_i$	: $i$ Müşterisinin Talebi
$q^{\max}$	: Maksimum Yineleme Sayısı
SKARP	: Simetrik Kapasiteli Araç Rotalama Problemi
STKARP	: Stokastik Talepli Kapasiteli Araç Rotalama Problemi
T	: Mevcut Mutlak Sıcaklık
TA	: Tabu Araması
TB	: Tavlama Benzetimi
TDARP	: Topla-Dağıt Araç Rotalama Problemi
TDZPARP	: Topla-Dağıt ve Zaman Pencere Araç Rotalama Problemi
$t^{\max}$	: Maksimum Yineleme Sayısı
$u_{ij}$	: $x_i$ Nesnesinin $j$ Kümesine Aitlik Derecesi
$x^0$	: Başlangıç Çözümü
$x^t$	: Mevcut Çözüm
ZPARP	: Zaman Pencere Araç Rotalama Problemi
$\delta$	: Soğutma Parametresi
$\eta_{ij}$	: Yolun Önsel Olarak İstenirliği
$\tau_{ij}$	: $i$ 'den $j$ 'ye Hareketin İz Seviyesi

## ŞEKİLLER LİSTESİ

Şekil 3.1. ARP'nin temel sınıflandırılması ve ara bağlantıları .....	11
Şekil 3.2. Temel bir ARP örneği .....	13
Şekil 3.3. Global optimum ve yerel optimum noktalar .....	19
Şekil 3.4. Tavlama benzetimi algoritması .....	23
Şekil 3.5. BCO ile örnek bir başlangıç çözümü .....	36
Şekil 3.6. Takas yöntemi .....	36
Şekil 3.7. Ters çevirme yöntemi .....	37
Şekil 3.8. Araya sokma yöntemi .....	37
Şekil 3.9. Örnek bir görsel çözüm .....	38
Şekil 3.10. Önerilen modelin akış şeması .....	39
Şekil 3.11. Önerilen modelin ölçeklenebilirliği .....	40
Şekil 4.1. 12 kümeli rassal başlangıçlı en iyi çözümün başlangıç çözümü .....	42
Şekil 4.2. 12 kümeli rassal başlangıçlı en iyi çözümün nihai çözümü .....	42
Şekil 4.3. 12 kümeli k-ortalamar ile kümelenmiş başlangıçlı en iyi çözümün başlangıç çözümü .....	43
Şekil 4.4. 12 kümeli k-ortalamar ile kümelenmiş başlangıçlı en iyi çözümün nihai çözümü .....	44
Şekil 4.5. 12 kümeli bulanık c-ortalamar ile kümelenmiş başlangıçlı en iyi çözümün başlangıç çözümü .....	45
Şekil 4.6. 12 kümeli bulanık c-ortalamar ile kümelenmiş başlangıçlı en iyi çözümün nihai çözümü .....	45
Şekil 4.7. 13 kümeli rassal başlangıçlı en iyi çözümün başlangıç çözümü .....	46
Şekil 4.8. 13 kümeli rassal başlangıçlı en iyi çözümün nihai çözümü .....	47
Şekil 4.9. 13 kümeli k-ortalamar ile kümelenmiş başlangıçlı en iyi çözümün başlangıç çözümü .....	48



Şekil 4.10. 13 kümeli k-ortalamalar ile kümelenmiş başlangıçlı en iyi çözümün nihai çözümü .....	48
Şekil 4.11. 13 kümeli bulanık c-ortalamalar ile kümelenmiş başlangıçlı en iyi çözümün başlangıç çözümü .....	49
Şekil 4.12. 13 kümeli bulanık c-ortalamalar ile kümelenmiş başlangıçlı en iyi çözümün nihai çözümü .....	50
Şekil 4.13. 14 kümeli rassal başlangıçlı en iyi çözümün başlangıç çözümü .....	51
Şekil 4.14. 14 kümeli rassal başlangıçlı en iyi çözümün nihai çözümü .....	51
Şekil 4.15. 14 kümeli k-ortalamalar ile kümelenmiş başlangıçlı en iyi çözümün başlangıç çözümü .....	52
Şekil 4.16. 14 kümeli k-ortalamalar ile kümelenmiş başlangıçlı en iyi çözümün nihai çözümü .....	53
Şekil 4.17. 14 kümeli bulanık c-ortalamalar ile kümelenmiş başlangıçlı en iyi çözümün başlangıç çözümü .....	54
Şekil 4.18. 14 kümeli bulanık c-ortalamalar ile kümelenmiş başlangıçlı en iyi çözümün nihai çözümü .....	54
Şekil 4.19. Soğuma grafiği .....	55
Şekil 4.20. En iyi çözümün amaç fonksiyonu değişimi .....	55

## TABLolar LİSTESİ

Tablo 2.1. ARP'nin sınıflandırılması .....	4
Tablo 4.1. 12 kümeli rassal başlangıçlı çözüm sonuçları .....	41
Tablo 4.2. 12 kümeli k-ortalamalar ile kümelenmiş başlangıçlı çözüm sonuçları .	42
Tablo 4.3. 12 kümeli bulanık c-ortalamalar ile kümelenmiş başlangıçlı çözüm sonuçları .....	44
Tablo 4.4. 13 kümeli rassal başlangıçlı çözüm sonuçları .....	46
Tablo 4.5. 13 kümeli k-ortalamalar ile kümelenmiş başlangıçlı çözüm sonuçları .	47
Tablo 4.6. 13 kümeli bulanık c-ortalamalar ile kümelenmiş başlangıçlı çözüm sonuçları .....	49
Tablo 4.7. 14 kümeli rassal başlangıçlı çözüm sonuçları .....	50
Tablo 4.8. 14 kümeli k-ortalamalar ile kümelenmiş başlangıçlı çözüm sonuçları .	52
Tablo 4.9. 14 kümeli bulanık c-ortalamalar ile kümelenmiş başlangıçlı çözüm sonuçları .....	53
Tablo 4.10. Başlangıç çözümü için test sonuçları .....	56
Tablo 4.11. Toplam mesafe için test sonuçları .....	57
Tablo 7.1. Uygulamada kullanılan veriler .....	70

## ÖZET

Anahtar kelimeler: Araç rotalama problemi, Tavlama benzetimi, Bulanık c-ortalamlar, Optimizasyon

Bu çalışmada, popüler bir problem olan Araç Rotalama Problemi (ARP) üzerinde çalışılmıştır. Bu problemde müşteriler veya şehirler ziyaret edilmeli ve ürünler haritadaki bir noktadan başlayarak her müşteriye veya şehire taşınmalıdır. Amaç, taşıma sorununu çözerek ürünleri teslim edebilmektir. Bu problem az sayıda şehir veya müşteri ile çözülmesi kolay gibi görünse de öyle değildir. Çünkü çok fazla kısıtı sağlamak zorundadır. Dolayısıyla mevcut hesaplama gücü ile bu sorun çözülemez. Müşteri sayısı arttıkça yapılacak hesaplamalar da katlanarak artmaktadır, çünkü her müşteri için tüm kısıtlar sağlanmalı ve nispeten iyi bir çözüme kısa sürede ulaşılmalıdır.

Bu çalışmadaki problemi çözmek için meta-sezgisel bir yöntem olan Tavlama Benzetimi (TB) kullanılmıştır. Genel olarak TB algoritması, metallerin tavlama işlemini taklit eden değişken sıcaklık parametresine göre tekrarlayan bir işlemidir. Bizim çalışmamız için bu yöntemin en büyük sorunu, algoritmayı başlatmak için kullanılan başlangıç çözümünü rassal olarak oluşturmasıdır. Bu sebepten dolayı optimum çözüme ulaşmak için kullanılan arama uzayı büyük olduğundan, çözüm süresi (veya iterasyon sayısı) artacaktır.

Daha iyi bir başlangıç çözümüyle optimum çözüme ulaşmak daha kısa zaman alacaktır. Ulaşmak istediğimiz optimum çözüm minimum mesafe olduğundan, başlangıç çözümünü iyileştirmek için K-ortalamlar (KO) ve Bulanık c-ortalamlar (BCO) kullanılarak rotalar kümelendirilmiştir. Bulanık mantık gereği, her verinin 0-1 arasında birden fazla kümeye dahil olabilmesi durumu, algoritmanın her çözümünde başlangıç çözümünü değiştireceğinden dolayı optimum çözüme yaklaşma durumu olacaktır.

Aynı veriler ve aynı parametreler kullanılarak rassal başlangıç çözümü kullanan TB ve BCO ile başlangıç çözümü iyileştirilmiş TB ile problem çözülmüştür. BCO başlangıç arama uzayını %57 oranında azaltmıştır. Dolayısıyla BCO aynı çözüm süresinde ve aynı iterasyon sayısında optimum çözüme daha yakın sonuçlar vermiştir. Çözüm sonuçları karşılaştırılmıştır.

# **SOLUTION OF CAPACITATED VEHICLE ROUTING PROBLEM WITH SIMULATED ANNEALING HYBRID ALGORITHM WITH INITIAL SOLUTION CREATED WITH FUZZY C AND K-MEANS ALGORITHM**

## **SUMMARY**

Keywords: Vehicle routing problem, Simulated annealing, Fuzzy c-means, Optimization

In this study, a popular problem, Vehicle Routing Problem (VRP), has been studied. In this problem, customers or cities should be visited and transported to the customer or city, starting from a point in the products. The aim is to deliver products by solving the transportation problem. While this problem seems easy to solve with a small number of cities or customers, it is not. Because it has to provide too many constraints. Therefore, this problem cannot be solved with the available computing power. As the number of customers increases, the calculations to be made increase exponentially, because all constraints must be met for each customer and a relatively good solution must be reached in a short time.

Simulation Annealing (SA), a meta-heuristic method, was used to solve the problem in this study. In general, the SA algorithm is a repetitive process based on the variable temperature parameter that mimics the annealing process of metals. The biggest problem with this method for our study is that it randomly generates the initial solution used to start the algorithm. For this reason, because the search space used to reach the optimum solution is large, the solution time (or number of iterations) will increase.

With a better initial solution, it will take less time to reach the optimum solution. Since the optimum solution we want to reach is the minimum distance, the routes have been clustered using K-means and Fuzzy c-mean to improve the initial solution. Due to fuzzy logic, each data can be included in more than one cluster between 0-1, since it will change the initial solution in every solution of the algorithm, there will be a case of approaching the optimum solution.

Using the same data and the same parameters, the problem was solved with SA using a random starting solution and with an initial solution optimized SA with FCM. FCM reduced the initial search space by 57%. Therefore, FCM gave results closer to the optimum solution in the same solution time and the same number of rashes. Solution results are compared.

## BÖLÜM 1. GİRİŞ

Endüstride lojistik, firmalar tarafından dikkate alınması gereken en önemli unsurlardan biridir. Birçok firma, müşteri ihtiyaçlarını en iyi şekilde karşılayabilmek için ürün ve hizmetlerinin tasarımına ve üretimine odaklansa da bu ürünler müşteriye ulaşmazsa, firma başarısız olur ve ayakta kalamaz. Bir firma, lojistiği etkin ve verimli bir şekilde yönetebiliyorsa firma maliyetlerini, enerjiyi ve zamanı, kârını etkileyecek şekilde optimize edebilir. Başka bir deyişle, firmalar bir dağıtım probleminde, ürünlerin nasıl dağıtılacağı ve lojistiğin nasıl düzgün bir şekilde organize edileceği ile ilgilenmelidirler, böylece yüksek bir kâr elde edilebilir.

Tedarik zinciri yönetiminin önemli bir parçası, tedarik zinciri içinde ürünlerin taşınması için lojistik operasyonların koordinasyonudur. Bir firmanın tedarik zincirindeki müşterilere hizmet vermek için teslimat rotalarını tasarlama görevi, literatürde Araç Rotalama Problemi (ARP) olarak bilinir. Uygulamada, müşteri talepleri müşteri lokasyonlarına varmadan önce kesin olarak bilinmeyebilir. Bu gibi durumlarda, araç kapasitesi gerçekte karşılaşılan talebi karşılayamayabilir. Bu nedenle müşterilere hizmet vermeye devam etmeden önce kapasiteyi yenilemek için merkezî bir depoya geri dönüş gerektirebilir. Bu potansiyel rota hatalarını etkili bir şekilde yöneten rotalar tasarlamak önemli bir husus ve zor bir iştir.

Son birkaç on yılda araştırmacılar, araç rotası ve kapasitesi stratejilerini etkili bir şekilde belirlemek için yöneylem araştırması, matematiksel programlama ve diğer optimizasyon tekniklerini kullanmaya odaklandılar. Şu anda ulaşım ve dağıtım yönetimi modellemesinin çekirdeği hâline gelen ARP, klasik bir optimizasyon sorununu çözmeye çalışır. Amaç; zaman kısıtlamaları, araç sayısı veya rota uzunluğu kısıtlarıyla maliyeti en aza indirmektir. Gezgin Satıcı Problemi'nin (GSP) daha genel bir sürümüdür.

Gerçek hayatta talepler, araç kapasiteleri, teslim tarihleri, araçların ortalama hızları, tüketicilerin farklı yerlerde bulunması vb. gibi dağıtım sürecinde yerine getirilmesi gereken birçok engel vardır. Bu sorunlarla başa çıkmak için, firmaların tüm engelleri ve kısıtlamaları karşılayabilmeleri için araç rotalarını optimize etmeleri gerekmektedir. Bu araç rotası optimizasyonu, ARP olarak bilinir. ARP, iyi bilinen bir kombinatoriyal optimizasyon problemidir ve ilk olarak Dantzig ve Ramser tarafından tanıtılmıştır [1]. Acil durum hazırlığı ve afet yardımı, katı atık ve süt endüstrisi, sokak temizliği, engelli insanların taşınması, okul otobüsü rotalama vb. gibi birçok uygulama alanına sahiptir. ARP; malları, tüketicilere en uygun rota ile teslim etmeyi ve depoya girip çıkmak için kullanılan araç sayısını en aza indirmeyi amaçlamaktadır [2].

1964'te Clarke ve Wright [3] ARP'yi genişleterek Kapasiteli Araç Rotalama Problemi (KARP)'ni elde ettiler ve bu problem için ilk buluşsal yöntemi önerdiler. KARP'de bir depo, bir dizi müşteri ( $n$ ), bir dizi kapasiteli ( $k$ ) araç ( $m$ ) ve her müşterinin bir talebi ( $d_i$ ) vardır. KARP'deki görev, tüm müşterilere tam olarak bir kez hizmet verecek ve hiçbir aracın toplam kapasitesini ( $k$ ) aşan bir müşteri grubunu ziyaret etmeyecek şekilde araç rotalarını oluşturmaktır [4]. Araştırma, araçların müşteriye ulaşana kadar taleplerin bilinmediği Stokastik Talepli Kapasiteli Araç Rotalama Problemi (STKARP) üzerine odaklanmıştır.

ARP'yi çözmek için kesin yöntemler, hesaplama açısından yoğundur ve müşteri sayısı büyük olduğunda makul hesaplama zamanında en uygun rotayı bulması garanti edilmez. Bu nedenle, ARP'leri çözmek için yaygın olarak kullanılan teknikler, sezgisel veya meta-sezgisel uygulamalara dayanan algoritmik yöntemlerin kullanımına odaklanır. Sezgisel yöntemler, nispeten sınırlı ancak iyi tasarlanmış bir arama alanı araştırması yapan ve genellikle nispeten kısa bir hesaplama süresi içinde kaliteli çözümler üreten optimizasyon teknikleridir. ARP'ye uygulanan sezgisel prosedürlerin örnekleri arasında Parçacık Sürü Optimizasyonu [5], Yapay Arı Kolonisi Optimizasyonu [6], Karınca Kolonisi Optimizasyonu [7], Kısıtlı Programlama Algoritmaları [8] ve Genetik Algoritmalar [9] vardır.

Bu çalışma, tüm sistem kısıtlarını göz önünde bulundurarak müşteri taleplerini karşılamak için araç filosu için en uygun rotayı bulmayı amaçlamaktadır. Kısıtlar, araç kapasitesi ve müşteri talebidir.

Araç filosu bir depodan başlar ve araç kapasitesi kısıtlarını ihlal etmeden yolundaki maksimum teslimatları karşılamaya çalışır ve ardından depoya geri döner. Tüm müşteriler sadece bir kez ziyaret edilir ve bu araçlar teslimattan sonra tekrar depoya geri döner. Bu nedenle problem, tamsayı programlama ile çözülebilen Çoklu Gezgin Satıcı Problemi (ÇGSP)'dir.

Bölüm 2, benzer konularda literatür taramasından oluşmaktadır. Bölüm 3'te, problemin çözümünde kullanılan yöntemlere değinilmiş ve bu yöntemler hakkında genel bilgi verilmiştir. Bölüm 4'te, örnek bir problem oluşturulmuş ve sonuçları analiz edilmiştir. Bölüm 5'te, araştırma bulguları ve sonuçlar tartışılmıştır.

## BÖLÜM 2. KAYNAK ARAŞTIRMASI

1959'daki ilk çalışmadan bu yana birçok yayın yapılmış ve ARP'nin kapsamı genişletilmiştir. Son on yılda, büyük problemleri çözmek için teknik çözüm konusunda önemli ilerlemeler kaydedilmiştir. İlgi gören bir diğer konu, teknolojik yeniliklerin ARP'ye dâhil edilmesidir. Bunlar arasında küresel konumlandırma sistemleri, radyo frekansı tanımlama ve yüksek kapasiteli bilgisayarların bilgi işleme alanları bulunmaktadır [10].

Dantzig ve Ramer (1959) tarafından formüle edilen ARP, gezgin satıcı probleminin bir uzantısıdır. ARP, bir depoda bulunan ve bir dizi müşteriye hizmet vermek için rotalanması gereken bir dizi araç olduğunu varsayar. ARP'nin amacı, belirli bir dizi kısıtlama altında araç maliyetini ve toplam rota maliyetini en aza indirmektir [11]. ARP'nin ortaya çıkışından bu yana birçok varyasyonu gerçek dünyadaki durumlara uygulanmıştır ve literatürde kapsamlı araştırmalar mevcuttur. Bu çalışmalar için Min ve ark. [12] aşağıdaki tabloyu oluşturmuştur.

Tablo 2.1. ARP'nin sınıflandırılması.

Sınıflandırma standardı	Problem türleri
1 Malların yönü	Tek yönlü Çift yönlü
2 Talep türü	Deterministik Dinamik
3 Depo sayısı	Tekli Çoklu
4 Araç sayısı ve Tipi	Tekli Çoklu
5 Araç kapasitesi	Belirli Belirsiz
6 Depo kapasitesi	Belirli Belirsiz
7 Kademe sayısı	Tekli Çoklu
8 Zaman pencereleri	Sert ve Yumuşak Yok
9 Amaç fonksiyonu	Tekli Çoklu



Balinski ve Quandt, toplam maliyeti, faaliyetler açısından tanımlamaktadırlar. Faaliyetlerdeki siparişlerin ağırlığını kullanarak toplam maliyeti hesaplamışlardır [13]. Ek kısıtlar ile birlikte problem en kolay kapasite kısıtlamalarından daha karmaşık kısıtlama kombinasyonlarına kadar çeşitli yönlerde genişletilebilir. Ghiani, Laporte, Musmanno, yaygın operasyonel kısıtların; araç sayısı, talep kapasitesi kısıtlaması, rota süresi, zaman aralıkları, müşteriye özel araç kısıtlaması ve müşteri önceliği ilişkileri olduğunu belirtmektedirler [14].

Klasik ARP modellerini çözmek için çeşitli kesin ve sezgisel algoritmalar geliştirilmiştir. Kesin algoritmaları Doğrudan Ağaç Arama Yöntemleri, Dinamik Programlama ve Tamsayı Doğrusal Programlama olarak üç ana kategoride sınıflandırabiliriz. Alt Sınır Ataması ve Dal Sınır Algoritması, ARP ve ÇGSP arasındaki ilişkiyi kullanır. Diğer bir problem ise her müşteriye sadece bir kez ziyaret ederken depoda başlayan ve biten bir dizi minimum maliyet rotasının oluşturulmasıdır [15]. Simetrik ARP için sabit sayıda ÇGSP'nin k-derece merkez ağacının gevşemesine dayanan başka bir çözüm algoritması geliştirilmiştir. 10-25 arasında değişen müşteri sayısı başarılı bir şekilde çözülebilmştir [16]. Eilon, Watson-Gandy ve Christofides, ARP'yi sabit sayıda araçla çözmek için dinamik bir programlama modeli önermektedir. Optimum değeri hesaplamak için minimum maliyet yineleme işlevini bulmuşlardır [17]. Christofides, daha sonraki bir çalışmada 50 müşteri için çözümü iyileştirilmiş bir sonuç elde etmiştir [18]. Balinski ve Quandt, ARP'ler için bir Bölümleyici Kümeleme ve Sütun Oluşturma Algoritması geliştirmişlerdir. Bu algoritmanın zorluğu hesaplama yollarının maliyetli olması ve çok sayıda ikili değişkene sahip olma riskidir. Uygulanabilir çözümler çok az olduğu için sorun sıkı bir şekilde kısıtlanmış problemlerde işe yaramaktadır [13].

ARP için sezgisel algoritmalar, GSP için geliştirilen algoritmalarından türetilmiştir [19]. Clarke ve Wright'ın algoritması, ARP'leri sınırsız sayıda araçla çözer [20]. Algoritma, müşterileri maksimum tasarrufu sağlamak için birleştirir ve iyileştirme mümkün olmayana kadar devam eder. Probleme, araç sabit maliyetleri ve filo boyutları eklemek gibi yöntemin farklı varyasyonları önerilmiştir [21, 22, 23]. Wren ve Holliday, bir veya birkaç depoya sahip ARP'ler için bir tarama algoritması ve

kutupsal koordinatlarla temsil edilen Öklid düzleminde bulunan köşeler önermektedir. Algoritma, en küçük açığa sahip bir müşteriye seçer ve mevcut kapasitesi varsa müşteriye bir araca yerleştirir. Oluşturulan her rota için, rotalarda kat edilen toplam mesafeyi en aza indirmek için bir GSP çözülür [24]. Gendreau, Hertz ve Laporte, bir dizi çözüm ve iyileştirme adımı oluşturmak için bir Tabu Arama yöntemi geliştirdiler [25]. Algoritma tarafından oluşturulan rotalar uygulanabilir değilse, fizibilite sapmasını göstermek için amaç fonksiyonunda bir ceza eklenmektedir.

Zaman Pencereci Araç Rotalama Problemi (ZPARP)'nde, her müşteri, en erken ( $e_i$ ) ve en geç ( $l_i$ ) kabul zamanlarını temsil ettiği bir seyahat maliyeti, seyahat süresi, talep ve zaman penceresi ile ilişkilendirilir. Zaman pencereleri, sorunun niteliğine bağlı olarak sert veya yumuşak kısıtlamalar olarak kabul edilebilir. ZPARP için kesin yöntemleri, Lagrange gevşemeye dayalı yöntemler, sütun oluşturma ve dinamik programlama olarak üç kategoride sınıflandırabiliriz [26].

Okul otobüsü rotalama ve çizelgeleme problemi ayrıca zaman pencerelerini de dikkate alır. Swersey ve Ballard, sorunu rotalama ve zamanlama olarak incelemişlerdir [27]. Rotaların önceden oluşturulduğunu varsayarlar, bu nedenle sadece zamanlama problemi çözülür. Her rotaya tek bir otobüs atanır, öğrencileri alır ve belirli bir zaman aralığında okula varır. Problem, her otobüsün yalnızca bir okula tahsis edildiğini varsayar. Amaç kullanılan okul otobüsü sayısını en aza indirmektir. Swersey ve Ballard problemi çözerek iki tamsayı programlama modelini formüle ettiler. Formülasyonları ABD'deki bir bölgenin gerçek verilerine uyguladılar. Yöntem tatmin edici sonuçlar verdi ve ihtiyaç duyulan otobüs sayısını %25 oranında azaltmıştır.

Sezgisel algoritmalar ARP'yi çözmek için yaygın olarak kullanılmaktadır. Baker ve Schaffer, Clarke ve Wright'ın ARP sezgisel tasarruf yönteminin bir uzantısı olan Sezgisel Rota Oluşturma yöntemini tasarlamışlardır [28]. Tasarrufları, mesafe ve zamanın bir kombinasyonu olarak tanımlamışlardır. Solomon, benzer bir buluşsal yöntem tanımlamıştır ancak zaman; tasarruf işlevine dâhil edilmemiştir [29].

Landeghem, müşteriler arasındaki zamanı ölçmek için bir sezgisel tasarruf yöntemi geliştirmiştir [30]. Bu buluşsal yöntemler zaman karmaşıklığına sahiptir. r-Opt Sezgiseli, r müşterilerini diğer r müşterileri ile değiştirir. 2-Opt veya 3-Opt, zaman aralığı ihlali riskine rağmen sorunu çözebilmektedir. Potvin ve Rousseau, bu tür problemleri çözmek için 2-Opt ve r-Opt algoritmalarını geliştirmiştir [31]. Meta-sezgisel yöntemler de ARP çözümünde kullanılır. Bu yöntemler arasında Tavlama Benzetimi [32], Tabu Araması [33] ve Genetik Algoritma [34] yer alır.

Son zamanlarda, bazı daha karmaşık ARP uzantıları tüm dünyadaki akademisyenlerin büyük ilgisini çekmektedir. Bu problemlerin bir örneği de [35] ve diğer birçok makalede ele alınan Açık ARP (AARP)'dir. Belirsiz ARP, birçok akademisyenin ilgisini çeken bir başka araştırma alanıdır. Liu ve Lai [36] ve Erbao ve Mingyong [37] tarafından hazırlanan çalışmalar, belirsiz talepleri dikkate alan yayınlara örnektir.

Müşterileri ARP çözmeye gruplamak literatürde yeni değildir, Klose [38] müşterileri, açık tesislere atanan rotalara karşılık gelen kümeler halinde gruplamıştır. Bu kümeleme yaklaşımı araç rotalama problemlerini sezgisel olarak çözmek için başarıyla kullanmıştır. Yoshiike ve Takefuji [39], birinci aşamanın, müşterileri gruplandırmak için maksimum nöron modelini kullanarak birleştirdiği ve ikinci aşamanın, elastik ağ modelini kullanarak her müşteri grubu için bir GSP çözüme ile çalışan iki aşamalı bir algoritma önermişlerdir. Zarandi ve ark. [40], sert c-ortalamlar, bulanık c-ortalamlar ve olasılıksal c-ortalamları, rastgele ve sezgisel olarak oluşturulmuş çözümlere karşı test etmişlerdir. Konum Rotalama Problemi (KRP)'nin ARP'nin bir uzantısı olduğunu bilerek, Barreto ve ark. [41], müşterileri ARP ve türevlerinde gruplara ayıran başka bir çalışma yapmışlardır. Çeşitli hiyerarşik ve hiyerarşik olmayan kümeleme tekniklerini sıralı bir sezgisel algoritmaya entegre etmişlerdir.

## BÖLÜM 3. MATERYAL VE YÖNTEM

### 3.1. Araç Rotalama Problemine Genel Bakış

#### 3.1.1. Gezgin satıcı problemi

ARP ve GSP, 50 yıldan fazla bir süredir tüm araştırmacılar için ilgi uyandırdığından rotalama yönetimlerinin temelini oluşturmaktadır [42]. Bu ikisi, günümüzde kullanımda olan kesin ve sezgisel algoritmaların en önemli varyantlarının büyümesine katkıda bulunmuştur.

ARP'yi çözmek için en ünlü algoritmalarından biri GSP'dir. İlk formülasyon, optimizasyon probleminde en çok çalışılan 1930 yılında yapıldı. Burada temel amaç, tüm düğümleri tam olarak bir kez ziyaret eden ve başlangıç noktasına dönüşten sonra en kısa turu bulmaktır. ARP'nin diğer varyantlarını çözmek için kullanılan çok sayıda algoritma vardır [43].

Mesafelere ve bunların her düğümü nasıl karşıladığına bağlı olarak, sorun simetrik veya asimetrik olabilir. Spesifik olarak simetrik; düğüm  $i$ 'den düğüm  $j$ 'ye veya düğüm  $j$ 'den düğüm  $i$ 'ye olan mesafenin sağlandığı zamandır. Ters olduğu durumda sorun asimetriktir.

Araştırmacılar tarafından bilinen en basit ve muhtemelen en ünlü rotalama problemleri, belirli bir  $V = \{1, 2, \dots, N\}$  kümesindeki  $N$  noktalarının her birini  $A$  rotası boyunca yalnızca bir kez ziyaret ederek minimum toplam uzunlukta bir rota arayan GSP'dir.  $A$  rotasındaki  $(i, j)$  tüm nokta kombinasyonları arasındaki mesafe  $(i, j) \in V$  ve  $i \neq j$  olarak bilinir. Aşağıdaki gösterim Rardin [44] tarafından tanıtılmıştır. Karar değişkeni  $x_{ij}$  aşağıdaki şekilde tanımlanır:

$$x_{ij} = \begin{cases} 1, & \text{bir satıcı } i \text{ noktasından } j \text{ noktasına giderse} \\ 0, & \text{diğer durumlarda} \end{cases}$$

Amaç Fonksiyonu;

$$\min z = \sum_{(i,j) \in A} c_{ij} x_{ij} \quad (3.1)$$

Kısıtlar;

$$\sum_{i=1}^N x_{ij} = 1 \quad \forall j \in \{2, \dots, N\} \quad (3.2)$$

$$\sum_{j=1}^N x_{ij} = 1 \quad \forall i \in \{2, \dots, N\} \quad (3.3)$$

$$\sum_{i \in S} \sum_{j \in S} x_{ij} \leq |S| - 1 \quad \forall S \subset V \quad (3.4)$$

$$x_{ij} \in \{0, 1\} \quad \forall i, j \in \{2, \dots, N\} \quad (3.5)$$

Problemin amacı (3.1)'de kat edilen toplam mesafeyi en aza indirir. Her bir düğüm (3.2) ve (3.3)'e göre, aynı zamanda derece kısıtlamaları olarak da anılır ve sadece bir kez ziyaret edilmesini sağlar. Alt turlar (3.4)'ün tanımlanması ile elenmiş olur.  $|S|$ ,  $S$  alt kümesindeki elemanların sayısını gösterir.

İhtiyaç duyulan temel araç, GSP'de optimal çözümlere yakın çözümlere ulaşabilmek için yerel aramalar yapmaktır. Ayrıca, Lin [45], Renaud ve ark. [46] GSP'yi iyileştirici çözümler sunmuşlardır.

GSP'yi farklı algoritma ile çözen araştırmacıların örnekleri:

- Genetik algoritma
- Tavlama benzetimi

- Tabu araması
- Tabu araması ile hibrit algoritma

Önemli bir örnek de GSP'nin veri sayısının fazla olduğu problemlerde çözüm sağlamak amacıyla kullanılmış olmasıdır. Örneğin, 7397 düğüm sayısına sahip devre kartlarının üretimi, ABD'de 13509 düğüm sayısından fazla büyükşehir problemi, İsveç'te 24978 düğümlü şehir problemi gibi birçok büyük problem GSP algoritması kullanılarak çözülmüştür. Tüm bu problemler yüksek iyimser sonuçlar vermiştir.

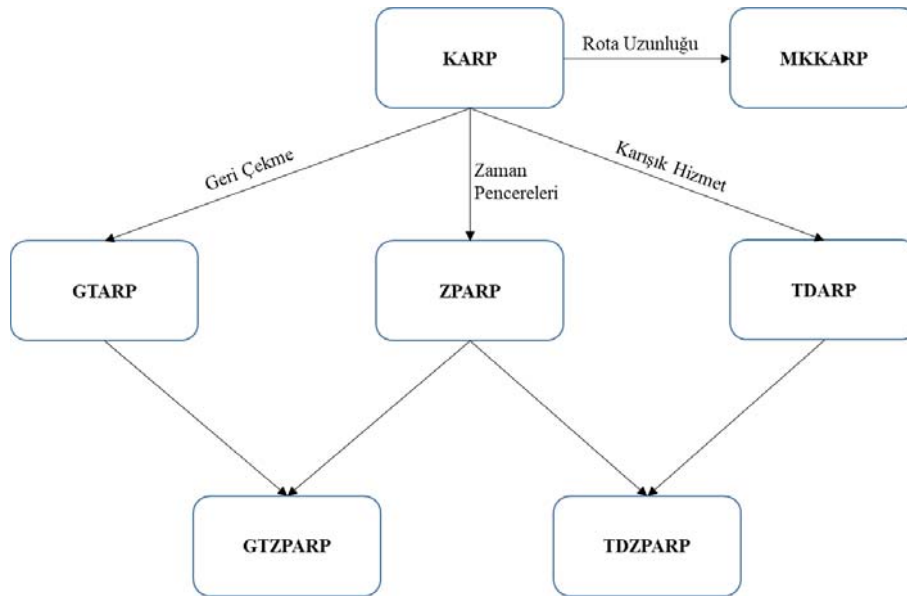
### 3.1.2. Araç rotalama problemi

ARP, dağıtım yönetiminin kalbini ifade eder. İlk olarak 1959'da Dantzig ve Ramsey tarafından duyurulmuştur. O günlerdeki asıl problem, şirketlerin ulaşmak zorunda oldukları durumların, literatürden çıkmış gerçek sorunlardan daha karmaşık olması ve zamanla değişmeseydi. Bu sorunların çözülebilmesi için, karmaşık ve pratik araç rotalama problemleri çözecek entegre bir modelleme ve optimizasyon tekniği sunmaktı. ARP, hizmetlerin ve malların müşteriye sunumundaki temel sorundur. Uygulamada ARP, taşınan malların türüne, hizmet kalitesi seviyesine ve müşterilerin ve araçların özelliklerine göre değişir. Bu nedenle ana kısıtlardan bazıları, farklı depo lokasyonlarına sahip araçlar, aynı araç tipleri ile çatışan müşteriler, müşterilere belirli zaman aralığında hizmet verebilmek, farklı günlerde teslimat süreleri ve karışık araç rotalarıdır. Çok sayıda kısıt olmasına rağmen, ARP'de minimum maliyetle bu rotayı elde etmeye odaklanılmıştır.

Algoritmalar ve yeni yazılım türleri hakkında yapılan araştırmalar, esnek optimizasyonları sistemlerin çeşitli pratik bağlamlara uyum sağlamak için değişmesine yardımcı olan sınırlı sayıda prototip problemine odaklanır [1]. ARP, fiziksel dağıtım ve lojistik kısmında temel bir özelliğe sahiptir ve bir grup müşteriye hizmet verilen deponun başlangıç ve bitiş noktası olan daha az maliyetli teslimat rotasını bulmak için hedef olarak belirlenir. Daha sonra, bir grup araç tarafından

müşterilere veya tedarikçilere hizmet etmek için kullanılan optimal bir rota setinin belirlenmesini gerektiren verilerin zor bir kombinasyonu oluşturulur [47]. Bu çözümün zor kısmı, her müşteriye hizmet verebilmek için sadece bir aracın kullanılması gerektirir.

ARP'nin temel uzantıları aşağıdaki şekilde gösterilmektedir:



Şekil 3.1. ARP'nin temel sınıflandırılması ve ara bağlantıları [11].

Şekilden de görebileceğimiz gibi, temel kategori KARP'dir. Çünkü diğerleri bunun bir parçasıdır. Özellikle KARP, rotalama problemleri için en yaygın ve en basit yöntem olan Gezgin Satıcı Probleminin bir parçasıdır.

İşletme ve ekonomide imalat, konum, çizelgeleme ve rotalama problemlerini içeren karar problemleri optimizasyon problemleri olarak ifade edilebilir. Spesifik olarak, bu gibi problemler faydalı bir açıklama ile çözülemeyecek kadar zordur ve sezgisel yöntemler tercih edilen yöntemler hâline gelmiştir [48]. Müşteri sayısının gerçek hayattaki verilerle bağlantılı olduğu ve temsili bir çözüm sağlamadığı durumlar vardır. Bu durumda, yaklaşım algoritmaları veya sezgisel yöntemler uygulanabilir [49].

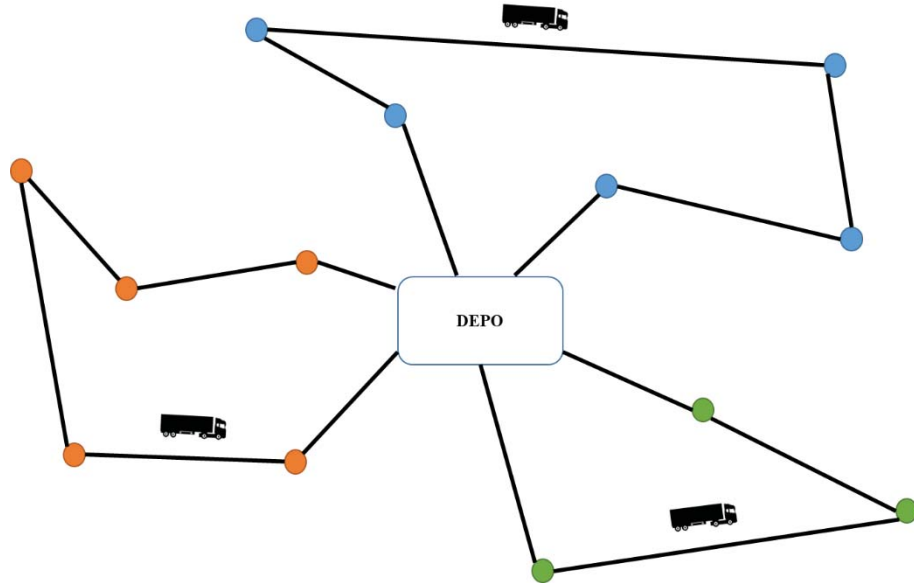
Farklı rotalar için uygulanabilir bir çözüm oluşturmak için bir seçenek de NP-hard kombinatorial problemler sınıfına ait olan ARP kullanmaktır. Bir ARP problemini çözenin temel bileşenleri, minimum araç sayısını, minimum seyahat süresini veya seyahat edilen rotaların minimum maliyetini bulmaktır. Gerçek yaşam durumunda önemli unsurlardan bazıları, aracın kapasitesi veya her müşteriye hizmet verilmesi gereken zaman aralığı, her müşteri arasındaki ve depolar arasındaki mesafelerdir [50]. Nakliye maliyetlerini en aza indirmeye çalışmanın önemli olduğunu belirtmek de önemlidir. NP-hard olan ARP, yalnızca küçük örnekler için bir çözüm sunmaktadır.

Araç rotalama problemine çözüm bulmak için en uygun çözümü bulmaya yardımcı olacak verilere ihtiyacımız vardır. Bunun için adımlar; veri oluşturmak, bir model oluşturmak ve oluşturulan bu modelin sonuçlarını yorumlayabilmektir. Birinci adımda yaratıcılık ve ayrıntılara odaklanmak gerekir. Diğer iki adım tamamen teknik bilgi gerektirir.

ARP'de firmaların sahip olduğu müşteri sayısı, müşteri lokasyonu, talep dağılımı ve her aracın belli bir kapasite ile tamamladığı ortalama rota sayısı gibi ARP'yi tanımlayan kısıtlar vardır. Bu kısıtların tanımlanması ile otomatik olarak farklı örnek türlerine ulaşabiliriz [51].

Standart bir ARP, aynı zamanda kapasiteli araç rotalama problemi (KARP) olarak da adlandırılan yükleme kapasitesi sınırına sahip bir araç rotalama problemidir. Her araç maksimum bir kapasiteye sahiptir. Aşağıdaki Şekil 3.2.'de gösterildiği gibi en temel araç yönlendirme problemidir. Orta depo; yerel depo olabilir ve her aracın gerçek hayattaki uygulamalarda olduğu gibi kapasitesi vardır.





Şekil 3.2. Temel bir ARP örneği.

Diğer araç rotalama problemleri KARP'ye dayanmaktadır. Araç akış formülasyonları, bir rotanın optimal çözüme dâhil edilip edilmediğini belirtmek için tamsayı değişkenleri kullanan formülasyonların daha yaygın olanıdır. Aşağıda, araç rotalama problemi için standart bir matematiksel model verilmiştir. Parametreler, araç sayısı ( $M$ ), müşteri sayısı ( $N$ ),  $i$ . ve  $j$ . nokta arasındaki mesafe ( $d_{ij}$ ),  $i$ . Müşterinin talep miktarı ( $q_i$ ), araç kapasitesi ( $C$ ), ( $y_i$ , alt turları engellemek için kullanılan rastgele değişkendir). Karar değişkeni  $x_{ijk}$  aşağıdaki şekilde tanımlanır:

$$x_{ijk} = \begin{cases} 1, & k \text{ nolu araç } i \text{ noktasından } j \text{ noktasına giderse} \\ 0, & \text{diğer durumlarda} \end{cases}$$

Amaç Fonksiyonu:

$$\min z = \sum_{i=0}^N \sum_{j=0}^N \sum_{k=1}^M d_{ij} x_{ijk} \quad i \neq j \quad (3.6)$$

Kısıtlar:

$$\sum_{k=1}^M \sum_{j=1}^N x_{0jk} = M \quad (3.7)$$

$$\sum_{k=1}^M \sum_{j=0}^N x_{ijk} = 1 \quad i \neq j \quad i = 1, \dots, N \quad (3.8)$$

$$\sum_{k=1}^M \sum_{i=0}^N x_{ijk} = 1 \quad i \neq j \quad i = 1, \dots, N \quad (3.9)$$

$$\sum_{i=1}^N x_{i0k} \leq 1 \quad k = 1, \dots, M \quad (3.10)$$

$$\sum_{i=1}^N q_i \sum_{j=0}^N x_{ijk} \leq C \quad i \neq j \quad k = 1, \dots, M \quad (3.11)$$

$$y_i - y_j + N \sum_{k=1}^M x_{ijk} \leq N - 1 \quad i \neq j \quad i, j = 1, \dots, M \quad (3.12)$$

Amaç fonksiyonu (3.6) toplam mesafenin minimize edilmesini ifade etmektedir. (3.7) nolu kısıt, başlangıç noktasından harekete geçecek araç sayısının M olduğunu, (3.8) ve (3.9) kısıtlar bir müşterinin sadece bir araç tarafından ziyaret edilmesini ve müşteriye gelen ve müşteriden çıkan rotadan yalnızca bir tanesinin kullanılması gerektiğini ifade etmektedir. (3.10) nolu kısıt bir aracın yalnızca bir rotalamada kullanılacağını ifade eder. (3.11) nolu kısıt ise araç kapasitesinin (C) aşamayacağını ifade eder. (3.12)'de verilen kısıt ile alt turların oluşması engellenir.

### 3.1.2.1. Kapasiteli araç rotalama problemi

Klasik KARP, bilinen talebe sahip müşterilerin sabit yükleme kapasiteli ve/veya seyahat süresi (mesafe) kısıtlaması olan bir  $V (>1)$  araç filosu ile tek bir depodan

tedarik edildiği zorlu bir kombinasyonel optimizasyon problemidir. Kapasiteli araç rotalama problemi aşağıdaki şartları karşılamak zorundadır:

- Her rota, depoda başlar ve biter.
- Her müşteri bir kez bir araç tarafından ziyaret edilir.
- Her güzergâhtaki müşterilerin toplam talepleri araç kapasitesini aşmaz.
- Her rotanın toplam süresi (mesafe), her bir aracın izin verilen seyahat süresini (mesafesini) aşmaz.
- Toplam rotalama maliyeti (zaman veya mesafe) en aza indirilir.

### **3.1.2.2. Araç rotalama probleminde sezgisel yöntemler**

ARP için birkaç sezgisel arama ailesi önerilmiştir. Bunlar genel olarak iki ana sınıfa ayrılabilir: Çoğunlukla 1960 ile 1990 arasında geliştirilen klasik buluşsal yöntemler ve Laporte ve ark. tarafından tartışılan ve son on yılda büyüyen meta-sezgisel yöntemler [52]. Çözümü baştan inşa eden buluşsal yöntemler, rotaları sırayla veya paralel olarak inşa ederken, modeli iyileştirici buluşsal yöntemler, nesnel değeri artırmak için mevcut çözüme farklı bildirimler uygulamaya çalışır. Bu yöntemler, sınırlı bir arama alanını keşfeder ve kısa hesaplama süreleri içinde nispeten iyi kalitede çözümler üretir.

Meta-sezgisel yöntemler, belirlenen arama alanı, en iyi alanın derin bir araştırmasını gerçekleştirmeye odaklanan ve kısmi hareketlerle yerel optimumda sıkışıp kalmaktan kaçınmak için denetleyici kontrol stratejileri tarafından yönlendirildiği klasik sezgisel iyileştirmeler olarak görülebilir. Bu yöntemlerle üretilen çözümlerin kalitesi genellikle klasik sezgisel yöntemler kullanılarak elde edilenden daha iyidir, ancak artan hesaplama süresi bu yöntemlerin seçilmesini zorlaştırabilir.

Klasik sezgisel yöntemler arasında ünlü Clarke ve Wright (1964) tasarruf algoritmaları, Gillett ve Miller (1974) sürükleme algoritmaları, Bramel ve Simchi-Levi (1995) iki fazlı sezgisel yöntemler ve Fisher ve Jayakumar (1981) küme-birinci, rota-ikinci algoritmaları bulunmaktadır. ARP için klasik ve modern sezgisel yöntemler için geniş bir anket yapılmıştır [52]. Son yıllarda, Karınca Kolonisi algoritmalarını kullanarak araç rotalama problemlerini çözmek için girişimlerde bulunulmuştur. Bullnheimer ve ark. [53], kapasite kullanımı ve tasarruflu sezgisel bir hibrit karınca koloni sistemi öne sürmüşlerdir.

### 3.1.2.3. Dal sınır yöntemi

Dal sınır yöntemi, KARP ve ana varyantlarını çözmek için son yıllarda kullanılmıştır. Laporte ve Nobert [54], kesin yöntemlere adanmış kapsamlı anketlerinde, dal sınır algoritmalarının eksiksiz ve ayrıntılı bir analizini verdiler. Simetrik Kapasiteye Sahip ARP ile Asimetrik Kapasiteye Sahip ARP arasındaki açık ayrım gerekli olmadığında, sadece KARP kullanılır. KARP, iyi bilinen bir GSP uzantısıdır ve minimum maliyetle bir dizi noktayı tam olarak bir kez ziyaret eder. Bu nedenle, KARP için pek çok kesin yaklaşım, GSP'nin kesin çözümü için yapılan kapsamlı ve başarılı çalışmalardan miras alınmıştır. 1980'lerin sonlarına kadar, KARP için en etkili kesin yaklaşımlar, esas olarak Atama Problemi (AP) ve En Kısa Yayılan Ağaç (EKYA) gibi temel kombinatoriyal gevşemeleri kullanan dal sınır algoritmalarıydı.

Held ve Karp [55] tarafından GSP için önerilen 1-tree Relaxation yönteminin genişletilmesiyle Simetrik Kapasiteli Araç Yönlendirme Problemi (SKARP) için genişleyen ağaçlara dayalı birkaç gevşeme önerilmiştir. Küçük boyutlu örnekleri çözebildiği kanıtlanan bu tür gevşemeye dayanan en eski dal sınır algoritması Christofides ve Mingozzi [56] tarafından önerilmiştir

### 3.1.2.4. Geri taşınmalı ve zaman pencereli araç rotalama problemi

Gelinas ve ark. [57], sütun oluşturmaya dayalı dallanma ve bağlı yaklaşımlar için yeni bir dallanma stratejisi önermiştir. Bu algoritma, 100 müşteriye kadar farklı test problemlerine en uygun çözümleri bulmuştur. Kontoravdis ve Bard [58], Zaman Pencereli Araç Rotalama Problemi (ZPARP) için Açgözlü Randomize Uyarlanabilir Arama Prosedürü (ARUAP) duyurmuşlardır. Bu algoritma aynı zamanda müşteri önceliği olmadan ZPARP'yi de çözebilmektedir. Yazarlar, kümeler hâlinde dağıtılan müşterilerle ilgili sorunlar için deneysel sonuçlar bildirmişlerdir. Cheung ve Chang [59], ZPARP'yi çözmek için Etiket Eşleştirme Algoritması'nı geliştirmişlerdir. Sezgisel yaklaşımları, farklı kapasitelerde araçlar ve erken gelen araçlar için cezalar uygulanması gibi karmaşık gerçek dünya kısıtlamalarının eklenmesiyle başa çıkabilmektedir.

Geri Taşınmalı ve Zaman Pencereli Araç Rotalama Problemi (GTZPARP) şu şekilde ifade edilebilir: Belirli talep, belirli zaman aralıkları ve belirli hizmet gereksinimleri (teslim alma ve/veya teslim etme) olan bir müşteri grubu homojen bir şekilde olmalıdır. Belirli bir zaman aralığı olan merkezî bir depodan başlayıp biten sabit kapasiteli araç filosu olmalı ve her hizmet gereksinimi için (teslim alma veya teslim etme), her müşteri bir araca tam olarak bir kez atanmalıdır. Müşteriler iki gruba ayrılır: Taleplerinin yerine getirilmesi gereken müşterileri ve taleplerinin karşılanması gereken müşterileri (bir müşteri hem teslim alma hem de teslim etmeyi gerektiriyorsa, iki ayrı müşteri olarak modellenir). GTZPARP'nin iki amacı vardır: Rota sayısını en aza indirmek ve tüm rotaların toplam mesafesini en aza indirmek. GTZPARP, iki durumda sınıflandırılabilir: Müşteri önceliğine sahip GTZPARP'de, tüm müşterilerine, her rotadaki herhangi bir müşterisinden önce hizmet verilmelidir. Müşteri önceliği olmayan GTZPARP'de, müşteriler belirli bir rotaya serpiştirilebilir.

Literatürde toplama ve dağıtma hizmetiyle ilgili çeşitli rotalama problemleri incelenmiştir. Savelsbergh ve Sol [60], Genel Topla ve Dağıt Problemi adını verdikleri kategoride genel bir rotalama problemini tanımlamaktadır. Böylece

toplama ve dağıtma problemlerinin çoğu bu genel problemin özel durumları olarak ifade edilebilir.

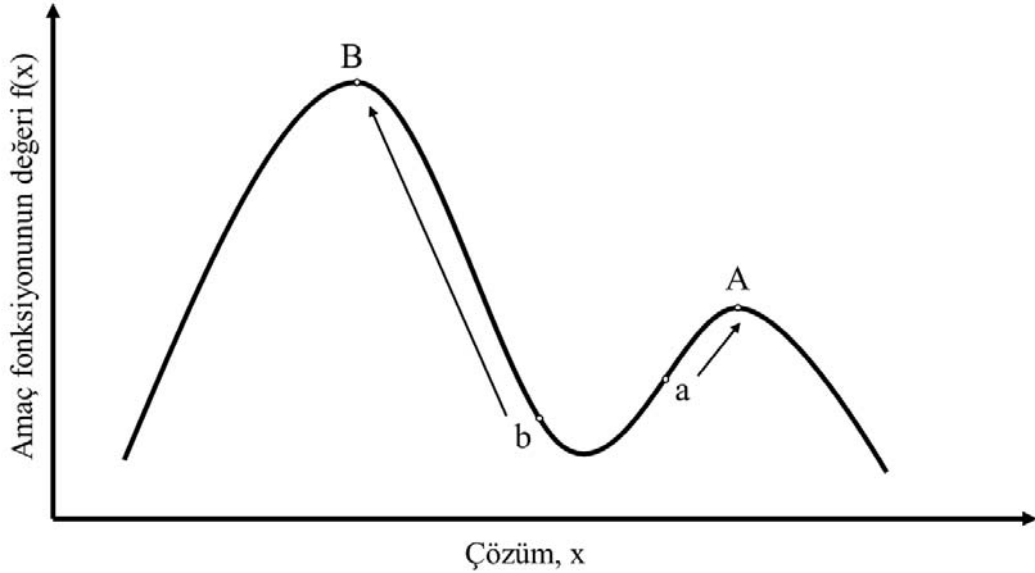
Literatürde tartışılan klasik bir problem olan Dial-a-Ride problemi, müşterileri önceden belirlenmiş konumlardan almak ve belirli bir depodaki araçları kullanarak bilinen teslimat yerlerine taşınması durumudur. Her bir teslim alma konumu, teslim alma faaliyetine öncelik verilen konum çiftleri oluşturan bir teslimat konumu ile ilişkilendirilir. Problem; araç kapasitesi, müşteriler için maksimum seyahat süreleri ve zaman aralıklarında kısıtlamalara sahip olmasıdır. Aşağıdaki hedeflerin hiyerarşik bir şekilde en aza indirilmesi amaçlanmaktadır:

- Araç sayısı
- Kat edilen toplam mesafe
- Etkili toplama ve dağıtma süreleri ile müşteriler tarafından istenen süreler arasındaki fark

Tam dinamik programlama algoritmaları, Psaraftis [61, 62] tarafından Dial-a-Ride Probleminin statik ve dinamik versiyonlarının yanı sıra zaman pencereli problemin bir varyantını çözmek için geliştirilmiştir. Desrosiers ve ark. [63], zaman pencereleri varyantı için daha verimli bir algoritma önerdi ve Psaraftis [64], Sexton ve Bodin [65] ve Sexton ve Choi [66] bu problem için sezgisel yöntemler önerdiler. Bu kategorideki diğer bir rotalama sorunu, teslimatlara öncelik verildiği ve tüm teslimatların herhangi bir teslim alma işleminden etkilenmeden önce yapılması gereken ana taşıyıcılarla ilgili problemdir. Tek bir araç olması durumunda, ana taşıyıcılı GSP tanımlanır. Gendreau ve ark. [67], bu problem için birkaç iki aşamalı buluşsal yöntem geliştirmiştir.

### 3.2. Meta-sezgisel Yöntemler

İyileştirilmiş sezgisel arama, yakın komşulukta hem uygulanabilir hem de iyileştirici bir çözüm bulunmayana kadar uygulanır. Yerleşik çözüm daha sonra yerel bir optimum olarak adlandırılır. Sezgisel yöntemlerin avantajı, optimallik garanti edilemese bile iyi uygulanabilir çözümlerin bulunabilmesidir. Dezavantajı, çözümlerin gerçekte optimal olana ne kadar yaklaştığına dair belirsizliğin var olmasıdır. İlk çözüm, bulunan yerel optimumun optimalliğini olumsuz etkileyebileceğinden, sezgisel yöntemlerin dezavantajı burada yatmaktadır.



Şekil 3.3. Global optimum ve yerel optimum noktalar.

Şekil 3.3.'teki basitleştirilmiş resme bakıldığında eğer sezgisel yöntem A'daki bir çözümle başlarsa, yalnızca A'da yerel optimuma ulaşana kadar gelişebileceğine dikkat edilmeli. Aynı sezgisel, B'deki bir çözümle başlarsa yerel değere ulaşabilir. B'de optimum olan aynı zamanda küresel optimum da olur.

Meta-sezgiler, mevcut çözüme kıyasla daha düşük objektif fonksiyon değerlerine sahip çözümlerle sonuçlanan komşuluk geçici olarak, hareketlere izin vererek küresel optimal çözümleri bulmak için algoritmaları yönlendirmek için akıllı karar verme tekniklerini kullanan ana stratejilerdir. Şekil 3.3.'te, B'ye doğru gelişmeden önce

A'dan başlayıp B'ye doğru kötüleşen bir çözümle kötüleşen hareket gösterilmektedir. Geçici olarak bozulma hareketlerini kabul etmekle ilgili bir sorun ortaya çıkmaktadır. A ve B'yi komşu çözümler olarak düşünün. Böylelikle her çözüme diğerinden tek bir tedirginlik ile ulaşılabilir. A'dan B'ye bir hareket, geçici olarak kötüleşen bir hareket olarak kabul edilebilir. Bununla birlikte, B'den A'ya bir hareket, nesnel işlevi geliştirdiği için her zaman kabul edilecektir. Bu, tek bir çözüm etrafında belirsiz döngüye yol açabilir. Özel adlandırma kuralları, analogileri ve ayrıntılı rutinleri değişiklik gösterse de tüm metasezgiseller benzer bir süreci takip eder.

- Başlatma, bir başlangıç çözümü bulma sürecidir. Genetik Algoritma gibi bazı meta-sezgiseller, uygulanabilir olması gerekmeyen rastgele oluşturulmuş ilk çözümlerle iyi performans gösterirken, Tabu Araması ilk çözümün kalitesine oldukça duyarlıdır.
- Çeşitlendirme, altta yatan sezgisel yöntemlerin çeşitlendirilmiş bir komşuluk aramasını ve böylece yerel optimum içinde sıkışıp kalmamasını sağlayan mekanizmadır.
- Yoğunlaştırma, sezgisel yöntemlerin tek bir çözüme doğru yakınlaştırmaya başlamasını sağlayan bir mekanizma. İyi bir komşuluklar belirlenir ve çözüm alanının bu alanları daha detaylı araştırılır.

Çeşitlendirme ve Yoğunlaştırma sonsuza kadar tekrar edebilir ve bu nedenle meta-sezgiyi sonlandırmak için bir durdurma kriteri gerektirir [68]. Meta-sezgisel çalışma ne kadar uzun sürerse küresel optimuma yakınsama olasılığı o kadar yüksek olur.

Temel bir meta-sezgisel, her biri tek bir yerel optimum sağlayan birden çok başlangıç çözümü ile gelişen arama sezgisel yöntemini çalıştırmayı gerektirecektir. Bu yerel optimumların en iyisi,  $x$  ile gösterilen yerleşik çözümdür. Böyle bir süreç, ilk çözümlerin seçimine büyük ölçüde bağlı olacaktır ve ilk çözümlerin dikkatli bir şekilde seçilip üretilmemesi durumunda daha düşük yerel optimallik sağlayabilir.



### 3.2.1 Tabu arama

TA, Glover [69] tarafından tanıtılan, iyileştirici bir çözüm arayışında komşu çözüm alanını (komşuluk) araştıran ve iyileştirme hamleleri yapıldığında yerleşik çözümü güncelleyen bellek tabanlı bir yerel arama meta-bilgisidir. Bozulan hamlelere izin verilir ve meta-sezgisel, yakın zamanda ziyaret edilen çözümlere yönelik hamleleri tabu olarak ilan ederek döngüye alır. TA'nin kapsamlı ve yeni bir incelemesi, yazarların ARP'nin zaman penceresi varyantlarına odaklandıkları Braysy ve Gendreau [70]'da bulunabilir.

Bir başlangıç çözümü  $x^0$  ve bir durdurma kriteri gereklidir. Bu durumda durdurma kriteri önceden ayarlanmış maksimum yineleme sayısı  $t^{\max}$  olarak belirlenir. Algoritma, yineleme sayımını sıfıra ayarlayarak, başlangıç çözümünü yerleşik çözüm olarak ayarlayarak ve tabu listesini temizleyerek başlatılır. Amaç fonksiyon değeri  $c(x)$ ,  $x$  çözümünün bir fonksiyonu olarak ifade edilir. Mevcut çözüm  $x^t$  etrafındaki komşulugu temsil eden uygun bir hareket seti  $M^{x^t}$  üretilir. Komşuluk, herhangi bir permütasyon yoluyla kurulur. Tabu olmayan bir hareket  $\Delta x \in M$ , önceden ayarlanmış yineleme sınırı içinde mevcut çözüm  $x^t$ 'nin uygulanabilir bir komşusuna yol açmazsa veya bazı aspirasyon kriterleri karşılanırsa, meta-sezgisel sona erer ve görevdeki çözüm  $\hat{x}$  yaklaşık optimaldir. Değilse yeni komşu geçerli çözüm olur ve tabu listesine eklenir. Mevcut çözüm, daha üstün bir hedef fonksiyon değerine sahip olan  $c(x^{t+1})$  görevlinin yerini alır. Yineleme sayısı artırılır, yeni mevcut çözüm için bir hareket kümesi oluşturulur ve işlem tekrarlanır.

### 3.2.2. Tavlama benzetimi

Yerel bir arama yönteminin aksine, TB rastgele bir arama yöntemidir [71]. Optimizasyonda benzetilmiş tavlama kavramını anlamak için ilk olarak Kirkpatrick ve ark. tarafından sunulan fiziksel tavlama sisteminin benzetmesine bakmak gerekir [72]. Bir katının, örneğin çeliğin temel durumu, atomlarının veya parçacıklarının minimum enerji konfigürasyonunda düzenlendiği durumdur (katının en kararlı hâli).

Bir metalin temel durumu, fiziksel tavlama işlemi ile elde edilebilir. Metal, katıdan sıvıya dönüşümünü sağlamak için önce yüksek bir sıcaklığa ısıtılır. Bu sıcaklığa metalin erime noktası denir. Sıvı halde metal kararsızdır, parçacıklar herhangi bir set konfigürasyonunda düzenlenmediklerinden yüksek enerji sergileyerek serbestçe hareket ederler. Daha sonra parçacıkların minimum enerji düzenlemesine yavaş yavaş yerleşmesine izin vermek için sıcaklık dikkatlice düşürülür ve temel durum elde edilir.

Benzer şekilde TB, katının temel durumuna karşılık gelen bir optimizasyon probleminin amaç fonksiyonunun minimum değerini elde etmeyi amaçlamaktadır [73]. Katı maddenin herhangi bir başka hâli, optimizasyon problemi için uygun bir çözüme karşılık gelir ve katının bir hâlinin enerjisi, bir çözümün amaç fonksiyon değerine eşdeğerdir. Fiziksel sistemin sıcaklığına benzer bir kontrol parametresi  $q$ , amaç fonksiyon değerini bozan hareketlerin kabulünü düzenleyerek TB algoritmasının kademeli olarak global optimuma yakınsamasını kontrol etmek için kullanılır. Katı atomlarının küçük yer değiştirmesine benzer şekilde,  $t$ ,  $x^t$  aşamasındaki mevcut çözelti, optimum çözüme yaklaşırken  $\Delta x$  küçük karışıklıklara uğrar.

Şekil 3.4.'te sağlanan genel TB meta-sezgisini, bir  $x_0$  başlangıç çözümü ve bir durdurma kriteri gerektirir. Alfa ve ark. [74], iyi çözümler bulmak için gereken hesaplama süresinin başlangıç çözümlerinin kalitesine duyarlı olduğunu belirtmektedir. TA algoritmasına gelince, bir yineleme limiti sayısını  $t_{max}$  kullanılır. Algoritma ayrıca,  $q_{max}$  ile gösterilen yeterli sayıda yinelemeden sonra sistemin sıcaklığını düşüren bir başlangıç sıcaklığı  $q_0$  ve bir soğutma parametresi  $\delta$  gerektirir.

TB algoritmasının başlatılması, hem yineleme sayısının hem de sıcaklık kontrol sayısının sıfıra ayarlanmasını, sıcaklığın başlangıç sıcaklığına ayarlanmasını ve başlangıç çözümünün yerleşik  $x^*$  olarak atanmasını gerektirir. Komşuluk, herhangi bir permütasyon yoluyla kurulur.

**Girdi:** İlk uygulanabilir çözüm  $x^0$ ; Yineleme sınırı  $t^{\max}$

**Girdi:** İlk sıcaklık  $q^0 > 0$ ; Sıcaklık sınırı  $q^{\max}$ ; Soğutma faktörü  $0 < \delta \leq 1$

```

1   $t \leftarrow 0$ 
2   $q^{\text{sayma}} \leftarrow 0$ 
3   $q \leftarrow q^0$ 
4   $x^\wedge \leftarrow x^t$ 
5  Uygulanabilir bir hareket seti oluştur  $M^{xt}$ 
6  while  $\Delta x \in M^{xt}$  and  $t < t^{\max}$  do
7     $x' \leftarrow x^t + \Delta x$ 
8    if  $q^{\text{sayma}} = q^{\max}$  then
9       $q \leftarrow \delta q$ 
10      $q^{\text{sayma}} \leftarrow 0$ 
11   else
12      $q^{\text{sayma}} \leftarrow q^{\text{sayma}} + 1$ 
13   endif
14   if either  $c(x') < c(x^\wedge)$  or Olasılık  $\left( e^{\frac{c(x^\wedge) - c(x')}{q}} \right)$  then
15      $x^{t+1} \leftarrow x'$ 
16     if  $c(x^{t+1}) < c(x^\wedge)$  then
17        $x^\wedge \leftarrow x^{t+1}$ 
18     endif
19     else
20        $x^{t+1} \leftarrow x^t$ 
21     endif
22    $t \leftarrow t + 1$ 
23   Uygulanabilir bir hareket seti oluştur  $M^{xt}$ 
24 endw

```

Şekil 3.4. Tavlama benzetimi algoritması.

Yineleme sayım sınırı  $t^{\max}$ 'a ulaşırsa veya mevcut çözüm  $x^t$  için komşu hareket kümesi  $M^{xt}$ 'de  $\Delta x$  daha fazla uygulanabilir hareket yoksa algoritma sona erer. Aksi takdirde hareket kabul için test edilir. Hareket, amaç fonksiyon değerini iyileştiriyorsa 1 olasılıkla kabul edilir. Hareket kötüleşiyorsa yine de olasılıkla kabul edilecektir.

$$p = e^{\left( \frac{c(x^\wedge) - c(x')}{q} \right)} \quad (3.13)$$

Bir katının fiziksel tavlama ile TB arasındaki analogiye dönersek, TB algoritması için kabul kriteri Metropolis kriterinden çıkarılır. Metropolis ve ark. tarafından sunulan Metropolis algoritması [75] bir katının fiziksel tavlama simüle etmek için basit bir algoritmadır.  $E_i$  enerjili katının mevcut hâli  $i$  verildiğinde,  $E_j$  enerjisine sahip müteakip bir  $j$  durumunun, katının atomlarının küçük bir yer değiştirmesi yoluyla üretildiğini belirtir. Ortaya çıkan enerji farkı,  $E_j - E_i$ , sıfırdan küçük veya sıfıra eşitse,  $j$  yeni mevcut durum olarak kabul edilir. Bununla birlikte, enerji farkının sıfırdan büyük olması gerekiyorsa,  $j$  durumu yalnızca olasılıkla kabul edilecektir.

$$p = e^{\left(\frac{E_i - E_j}{k_B T}\right)} \quad (3.14)$$

$T$ , katının mevcut mutlak sıcaklığıdır ve  $k_B$ , fiziksel Boltzmann sabiti olarak bilinir. Kirkpatrick ve ark. [72], sıcaklığın yalnızca bir kontrol parametresi olduğu için Boltzmann sabitinin ihmal edilebileceğini belirtirler. Kontrol parametresi, algoritmanın ilk aşamalarında neredeyse tüm bozulan hareketlere izin verecek şekilde formüle edilmiştir. Kontrol parametresi kademeli olarak azaldığından, kötüleşen hareketleri kabul etme olasılığı da azalır ve algoritma global optimuma yakınsar.

Robuste ve ark. [76] TB uygulamasında, bir kişinin çözümün kalitesi açısından büyük problemler için algoritmadan daha iyi performans gösterebileceğini belirtmektedir. TB'nın gelişimi, Van Breedam'ın [77] TB'nın varyantlarını gözden geçirmesi ve karşılaştırmasıyla devam etmiştir. Tan ve ark. [73] TB meta-sezgisinin bir dizi avantajı olduğunu ifade eder:

- Keyfi sistemler ve maliyet fonksiyonları ile ilgilenir.
- İstatistiksel olarak en uygun çözümü garanti eder (yeterli işlem süresi sağlandığında).
- Karmaşık problemler için bile nispeten kolay kodlama.

- Genellikle makul işlem süresi içinde iyi bir çözüm sunar.

Van Breedam [78] tarafından TA ve TB arasındaki çözüm kalitesindeki farkın değerlendirmesinde hiçbir zaman %4'ü aşmadığını belirtmiştir. Üç meta-sezgiselin karşılaştırmalı analizinde, Tan ve ark. [73], TB'nın hesaplama çabası ve çözüm kalitesi arasında iyi bir uzlaşma olduğu sonucuna varmıştır.

### 3.2.3. Genetik algoritma

GA'lar 1975 yılında John Holland tarafından geliştirilmiş ve yayınlanmıştır. GA'lar, biyolojik evrimi taklit ederek rastgele arama yöntemlerini akıllıca kullanarak küresel optimal çözümleri arayan algoritmalarlardır [44]. Genetik evrim ve optimizasyon arasındaki ilişkiler şunlardır:

- Popülasyonlar, her biri uygun bir çözümü temsil eden gruplar tarafından temsil edilir.
- Bir popülasyonda, ebeveynler doğal seleksiyona göre çiftleşir. Bu, rastgele seçilen uygulanabilir ana çözümlere benzer.
- Yavrular, seçilen ebeveynlerin çiftleşmesi ile üretilir ve yeni oluşturulan çözümleri temsil eder.
- Doğada, kromozomlar yeni kromozom dizileri oluşturmak için değiştirildiğinden, yavrular her ebeveynin bazı özelliklerini sergiler. Algoritma, ana çözümlerin parçaları üzerinde takas gibi tedirginlikler kullanarak iki yeni yavru çözüm oluşturarak benzetmeden yararlanır. GA'larda tedirginlikler genellikle geçitler olarak adlandırılır.
- En uygun olanın hayatta kalması, bir çözümün uygunluğu, onun nesnel işlev değeriyle ilişkili olabileceği için dâhil edilir. En uygun çözümler, sonraki

nesilde en uygun çözümün hayatta kalmasını sağlamak için tipik olarak yeniden üretilecektir.

- Çeşitlilik için mutasyon, meta-sezgisel kromozomların rastgele modifikasyonu, yani muhtemel çözümler ile temsil edilir.

Goldberg [79], arama stratejilerindeki GA uygulamalarını ve optimizasyonu incelemiştir. Genel GA meta-sezgisi, nesil 0'ı oluşturmak için gereken p benzersiz uygulanabilir ilk çözümü temsil eder. Filipec ve ark. [80] GA'larını çeşitli popülasyon büyüklükleriyle test ettiler ve çok küçük bir popülasyonun çeşitlendirme tehlikeye girdiği için algoritmayı erken sonlandırabileceği sonucuna varırken, çok büyük popülasyonlar daha fazla nesile ihtiyaç duyulduğu için (artan hesaplama çabası) yakınsama oranını yavaşlatarak kaliteli çözümler elde edilir. Başlangıç çözümleri rastgele veya sezgisel rota oluşturma yöntemi kullanılarak oluşturulur [81]. Skrlec ve ark. [82] ve Tan ve ark. [73], yakınsama oranını iyileştirmek için yalnızca sezgisel yöntemlerin kullanılmasını önermektedir.

Algoritma, yalnızca yeterli sayıda nesil mevcut olduğunda sona erer. T neslinin en iyi çözümleri tam olarak nesil  $t+1$ 'e klonlandığı için en uygun olanın hayatta kalması sağlanır. Bir dizi yeni göçmen çözümü  $p_i$ , üretilir ve  $t+1$  nesline dâhil edilir.  $T+1$  oluşumunun dengesi, t neslinden rastgele seçilen  $p_c/2$  çözümleri üzerinde çeşitli geçiş permütasyonları gerçekleştirilerek oluşturulur. GA'larla kısıtlı ARP'leri çözmek için literatürde iki farklı yaklaşım bulunmuştur:

Birinci küme, ikinci rota (Cluster first, route second): Thangiah ve ark. [83], ZPARP'yi çözmek için kullanılan bir GA programı olan GIDEON'u geliştirdi. O zamanlar, Solomon [84] tarafından sunulan 56 kıyaslama probleminden 41'i için en iyi bilinen çözümleri ürettiği için ZPARP için mevcut en iyi algoritmaydı.

Birinci rota, ikinci küme (Route first, cluster second): Bir kromozomdaki ayrı yolları belirtmek için fazladan bölümlenme karakterlerinin kromozoma eklenmesi gerekir. Bu ekstra karakterler GA'yı işe yaramaz hale getirebilir. GA'lar, ARP varyasyonlarını

çözmek için iki aşama kullanır: Her kromozom, tüm müşteriler arasında belirli bir yolu temsil eder. İlk yönlendirme aşamasında GA, tüm müşteriler için bir GSP çözerek uzun kromozom dizisini iyileştirir. İkinci kümeleme aşaması, uzun rotanın dışındaki her araç için bir rota oluşturur. Bu, müşterileri bir araca yalnızca zaman aralıkları ihlal edilmediği takdirde, araç dolana kadar ekleyen başka bir algoritma tarafından yapılır. Tek yol kromozomundaki aşağıdaki müşteri daha sonra bir sonraki araca atanır.

Tan ve ark. [73], ARP varyantları için üç popüler meta-sezgisel, TA, TB ve GA'yı karşılaştıran ilk kişi olmuştur. GA'ların ZPARP'yi çözmeye başarılı olduğu sonucuna vardılar, ancak tüm rotalama problemlerini çözecek kadar tek bir genel meta-sezgisel yöntem olmadığı sonucuna varmışlardır.

#### **3.2.4. Karınca kolonisi optimizasyonu**

KKO algoritmaları, kombinatoriyal optimizasyon problemlerine çözüm bulmak için yinelemeli, olasılıksal meta-sezgisel olarak sınıflandırılır. KKO, Dorigo ve Stützle [85] tarafından önerilen ve tüm karınca algoritmalarını içeren genel bir terimdir. Karınca algoritması, birkaç nesil yapay karıncanın iyi çözümler aradığı evrimsel bir yaklaşımdır. Bir neslin her karınca, çeşitli kararlardan geçerek adım adım bir çözüm geliştirir. İyi çözümler bulan karıncalar, yolun kenarlarına feromon yerleştirerek karar alanında yollarını işaretlerler. Gelecek neslin karıncaları feromona çekilir ve iyi çözümlerin yakınında çözüm alanını arama olasılıkları daha yüksektir [86].

Karıncalar, yuvalarından besin kaynaklarına en kısa yolu bulmaya çalışan gerçek karıncaların kullandığı yiyecek arama mekanizmasından ilham alır. Toplayıcı bir karınca, izine bir miktar feromon dağıtarak yolunu işaretler, böylece diğer yiyecek arayan karıncaları da aynı yolu izlemeye teşvik eder, ancak zorlamaz [87]. Feromon, aynı türdeki diğer organizmalarda reaksiyonu tetiklemek için bir organizma tarafından salgılanan herhangi bir endojen kimyasal maddenin jenerik adıdır. İletişim yoluyla karıncaların davranışında bir değişikliğe neden olmak için ortamı değiştirme ilkesi, damgalama olarak bilinir. Stigmergy'nin etkisi, yiyecek

arama davranışı ve yapay karınca meta-sezgiseli için temel sağlar. Dorigo ve ark. [87], karınca kolonilerinin sosyal yapısının yuva ile besin kaynakları arasındaki en kısa yolları belirleyebileceğini öne süren deneyleri yapmışlardır. Bununla birlikte resmî bir kanıt yoktur.

KKO algoritmasının merkezinde, her yinelemede her bir karıncanın daha eksiksiz bir kısmi çözüme karşılık gelen bir  $i$  durumundan başka bir  $j$ 'ye hareket ettiği (bir adım gerçekleştirdiği) bir döngü vardır.

Maniezzo ve ark. [88], her başlangıç-hedef çifti  $(i, j)$  için çekicilik  $\eta_{ij}$  olarak bilinen yolun önsel olarak istenirliğini gerekir. Çekicilik genellikle sezgisel bilgi olarak da adlandırılır [89].  $i$ 'den  $j$ 'ye hareketin iz seviyesi  $\tau_{ij}$  gereklidir ve bu belirli hareketi yapmanın geçmişte ne kadar faydalı olduğunu gösterir. İz seviyesi, bu nedenle, hareketin istenebilirliğinin bir posteriori (deney sonucu elde edilen) göstergesini temsil eder. Daha önce tartışılan meta-sezgisellikte olduğu gibi, bir iterasyon sınırı  $t^{\max}$  KKO'yu sonlandırır.

Her karınca  $k$  için önceden ayarlanmış parametrelerle ağırlıklandırılan hem çekicilik hem de iz seviyesi kullanılarak aşamalı olarak bir çözüm oluşturulur. Her karıncanın tabu hareketleri hafızası buna göre güncellenerek, yalnızca uygun çözümlerin yaratıldığından emin olunur. Tüm karıncalar çözümlerini bulduktan sonra, feromon iz matrisi, kaç karıncanın (çözüm) belirli kenarlardan  $(i, j)$  geçtiğini belirleyerek güncellenir. Yineleme sayısı artırılır ve işlem, maksimum yineleme sayısına ulaşılan kadar yinelenir.

Bullnheimer ve ark. [53], karşılaştırmalı değerlendirme problemleri için bulunan en iyi çözümleri geliştiremedi. ARP varyantlarına yaklaşımın yerleşik ve iyi araştırılmış meta-sezgisellere kıyasla olgunlaşmamış olduğu göz önüne alındığında, KKO'nun rekabet gücü takdire değerdir.



### 3.3. Kümeleme Algoritmaları

Günümüzde, biriken büyük miktardaki yüksek boyutlu veriyi anlamak önemlidir. Küme analizi, bu verileri analiz etmek için anahtar bir teknoloji hâline geldi. Son birkaç on yılda birçok kümeleme algoritması geliştirilmiştir. Jain ve ark. [90] ve Everitt ve ark. [91], mevcut bireysel kümeleme algoritmalarını kabaca iki kategoriye ayırdı: hiyerarşik kümeleme ve bölümlü kümeleme.

Kümeleme algoritmalarının diğer bir yaygın taksonomisi, Berkhin [92], Xu ve Wunsch [93] tarafından tanıtıldı. Bu sınıflandırma, kümeleme algoritmalarını beş kategoriye ayırır. İlk iki kategori hâlâ hiyerarşik kümeleme ve bölümlü kümelemedir. Diğer üçü yoğunluk tabanlı kümeleme, ızgara tabanlı kümeleme ve model tabanlı kümelemedir.

Yoğunluğa dayalı kümeleme, bir veri uzayındaki nesnelerin bağlantısına ve yoğunluğuna dayalı olarak nesnelere kümelemektir [92, 93]. Bu tür kümeleme yöntemleri, bir bölgedeki nesnelerin bir küme hâlinde oluşturulup oluşturulamayacağını belirlemek için bir yoğunluk eşiği kullanır. Bir dizi nesnenin yoğunluğu eşiği aşarsa nesnelere bir küme atanacaktır; aksi takdirde, aynı küme atanmazlar. Yoğunluğa dayalı kümeleme, keyfi şekilli kümeleri algılama ve yüksek boyutlu verilerle başa çıkma becerisine sahiptir [92, 93]. Ek olarak, yoğunluk temelli kümeleme, verilerdeki gürültü ve aykırı değerlerle başa çıkmak için yeterince sağlamdır.

Izgara tabanlı kümeleme süreci, çok seviyeli bir taneciklik yapısına dayanmaktadır [92, 93]. Izgara tabanlı kümeleme, veri alanını eşit şekilde birkaç ızgaraya böler. Kümeleme, her ızgarada gerçekleştirilir. Zaman karmaşıklığı yalnızca ızgaraların sayısı ile ilgili olduğundan, ızgara tabanlı kümeleme, büyük veri kümeleriyle uğraşmak için iyi bir hıza sahiptir [92, 93]. STING (istatistiksel bir bilgi ızgarası yaklaşımı) [94] ve WaveCluster [95] gibi bazı tipik ızgara tabanlı kümeleme yöntemleri vardır.

Model tabanlı kümeleme yöntemleri, verilen verilerin kümelerinin bir dizi olasılık dağılımıyla belirlenebileceği varsayımına dayanarak kümeleme gerçekleştirir [92, 93]. Model tabanlı kümeleme, her bir küme için bir modeli (bir yoğunluk dağılımı işlevi gibi) varsayar ve daha sonra bu modelleri karşılık gelen kümeler için uygun nesnelere bulmak için kullanır [96, 97]. İstatistiksel model tabanlı kümeleme ve sinir ağı modeline dayalı kümeleme, en yaygın araştırma konularıdır. Model tabanlı kümeleme, keyfi biçimli kümeleri tespit etme ve kümeleneenin daha iyi kararlılıklarını algılama yeteneğine sahiptir [93], ancak büyük veri kümeleriyle başa çıkamaz ve ilklendirmeye duyarlıdır [92, 93]. Tipik model tabanlı kümeleme yöntemleri, Kendi Kendini Düzenleyen Harita (KKDH) [96], Autoclass [98] ve Cobweb'dir [97].

Son birkaç yılda kümeleme yöntemlerinin yeni bir taksonomisi ortaya çıktı. Kümeleme sonuçlarının esnekliğine göre, bu sınıflandırma, bireysel kümeleme yöntemlerini iki türe sınıflandırır: sert kümeleme yöntemleri ve bulanık kümeleme yöntemleri [92, 93]. Sert kümeleme, her nesnenin kalıcı olarak bir ve yalnızca bir kümeye atandığı anlamına gelir. K-ortalamlar, Hiyerarşik Kümeleme (HK), Hiyerarşileri Kullanarak Dengeli Yinelemeli Azaltma ve Kümeleme (HKDYAK), Kendi Kendini Düzenleyen Harita (KKDH) ve Medoidlerin Etrafında Bölümleme (MEB) gibi kümeleme algoritmalarının tümü, sert kümelemeye aittir. Bunun tersine, bulanık kümeleme, her nesneyi bir üyelik işlevi ile birden fazla kümeye atar [93]. Burada üyelikler olasılıklar biçiminde sunulur. Tipik bir bulanık kümeleme yöntemi, Bulanık C-Ortalamlar (BCO) algoritmasıdır [99, 100].

### **3.3.1. K-ortalamlar kümelemesi**

K-ortalamlar Kümeleme algoritması [101], iyi bilinen bir kümeleme algoritmasıdır. K-ortalamlı kümeleme algoritmasının temel adımları şu şekilde özetlenmiştir [90, 102]:

- K kümelerinin merkezleri olarak rastgele k nesnelere seçin.

- Geri kalan nesnelere en yakın küme merkezlerine atayın.
- K kümelerinin her biri için küme merkezini (kümedeki tüm nesnelere ortalaması olarak tanımlanan) yeniden hesaplayın.
- Nesnelere yeni küme merkezlerine göre k kümelere yeniden tahsis edin.
- Her kümede daha fazla değişiklik olmayana veya sonlandırıcı koşullara ulaşılanaya kadar 3 ve 4. adımları tekrarlayın.

K-ortalımalı kümeleme algoritmasının temel avantajları aşağıdaki gibidir [90, 92, 93, 102]:

- Büyük veri kümelerini analiz etmek için iyidir.
- İyi (düşük) bir zaman karmaşıklığına sahiptir.
- Uygulaması kolaydır.

K-ortalımalı kümeleme algoritmasının temel sınırlamaları ve sorunları aşağıdaki gibidir [90, 92, 93, 102]:

- Nesnelere arasındaki mesafeleri tanımlamak için farklı mesafe ölçütleri kullanmak, k-ortalımalarının sonuçlarını saptırabilir.
- K-ortalımalarının her çalışması farklı bir kümeleme sonucu oluşturabilir.
- Küme boyutlarının önemli ölçüde değiştiği veriler için iyi ölçeklenmez.
- İklendirmeye duyarlıdır. Bu nedenle, uygun olmayan bir başlatma, k-ortalımalarının sonuçlarını saptırabilir.

- Verilerdeki gürültüye ve aykırı değerlere duyarlıdır.
- Dışbükey olmayan şekilli kümelerle baş edemez.
- Giriş verilerinin sırasına duyarlıdır.
- Kategorik verilerle baş edemez.

### 3.3.2. Bulanık c-ortalamlar kümelemesi

BCO algoritması, en yaygın olarak kullanılan bulanık kümeleme algoritmasıdır [90, 100, 102]. İlk geliştirme Dunn [99] tarafından yapılmış ve Bezdek [100] tarafından ikinci kez geliştirilmiştir. Sert kümeleme ile bulanık kümeleme arasındaki en önemli fark, bulanık kümelemenin her nesneyi kalıcı olarak bir kümeye atamamasıdır. Bulanık kümeleme, nesnelerin kümelere nasıl ait olduğunu ifade etmek için bir "derece" kavramı kullanır. Her nesne için, derecelerin toplamı (bulanık katsayılar olarak da adlandırılır) 1'dir [99, 100].

BCO'nin amaç işlevi Üyelik Fonsiyonu olarak adlandırılmıştır [99, 100]. BCO'nin "iyi" bir kümeleme çözümünün hedef işlevi en aza indirmesi beklenir. Üyelik Fonsiyonu (3.15), (3.16) ve (3.17) denklemleri olarak tanımlanır [99, 100]:

$$F_m = \sum_{i=1}^n \sum_{j=1}^k u_{ij}^m \|x_i - C_j\|^2 \quad (1 \leq m < \infty) \quad (3.15)$$

$$u_{ij} = \frac{1}{\sum_{q=1}^k \left( \frac{\|x_i - C_j\|}{\|x_i - C_q\|} \right)^{\frac{2}{m-1}}} \quad (3.16)$$

$$C_j = \frac{\sum_{i=1}^n u_{ij}^m x_i}{\sum_{i=1}^n u_{ij}^m} \quad (3.17)$$

Burada n, belirli bir veri kümesindeki nesnelerin sayısıdır. k, küme sayısıdır, m, 1'den büyük veya 1'e eşit herhangi bir gerçek sayı olabilir.  $u_{ij}$ , j kümesine ait olan  $x_i$

nesnesinin derecesini gösteren bulanık katsayıdır.  $C_j$ ,  $j$  kümesinin merkezidir.  $\|x_i - C_j\|$ ,  $x_i$  nesnesi ile  $C_j$  küme merkezi arasındaki mesafeyi belirtir.

BCO'nin temel adımları şu şekilde özetlenmiştir [99, 100]:

- Küme sayısının tahminî sayısına göre her nesneye bulanık katsayılar atayın.
- Bulanık katsayılar göre küme merkezlerini hesaplayın.
- Yeni küme merkezlerine dayalı olarak bulanık katsayıları yeniden hesaplayın.
- Bulanık katsayıların varyansını değerlendirin (önceki bulanık katsayılardan biriyle karşılaştırarak).
- Varyansı önceden tanımlanmış bir duyarlılık eşiğiyle karşılaştırın.
- Bulanık katsayıların varyansı duyarlılık eşiğinden az olana kadar 2, 3, 4 ve 5. adımları tekrarlayın.

BCO'nin ana avantajları aşağıdaki gibidir [90, 102]:

- BCO, belirsiz verilerle başa çıkmak için sağlam ve esnek.

BCO'nin temel sınırlamaları ve sorunları aşağıdaki gibidir [90, 102]:

- BCO, kenar ve kabuk gibi şekillerle verileri analiz edemez.
- Farklı mesafe metrikleri kullanmak, BCO sonuçlarını saptırabilir.
- Verilerdeki gürültü ve aykırı değerlerle başa çıkamaz.
- BCO, küme sayısı hakkında önceden bilgi gerektirir.

- BCO'nin sonuçları yerel minimumlar içinde sıkışmış olabilir.

### 3.4. Önerilen Çözüm Yöntemi

Bu çalışmada, Tavlama Benzetimi yönteminin başlangıç çözümü K-ortalamlar ve Bulanık c-ortalamlar ile iyileştirilmiştir. Veriler aracılığı ile örtüşen kümeler bulmakta kullanılan bu metot, esnek bir yapıya sahip olması ve diğer kümeleme algoritmalarına göre daha iyi sınıflandırma yeteneğine sahip olduğundan tercih edilmiştir. Bu metodun çözülmesinde MATLAB R2017A Programının Fuzzy seti kullanılmıştır.

BCO yönteminin uygulanması için gerekli olan şehirlerin enlem ve boylam koordinatları Google Haritalar üzerinden belirlenerek Ek:1'deki tabloda listelenmiştir. Ayrıca tabloda yer alan diğer veriler:

- Sıra: Şehirlerin indis numaralarıdır. 0 depoyu ve diğer sayılar şehirleri temsil eder.
- Kod: Şehirlerin plaka kodları.
- Şehir Adı: Şehirlerin isimleri.
- Enlem: BCO algoritmasının y değeri.
- Boylam: BCO algoritmasının x değeri.
- Talep: Müşterilerin talepleri.

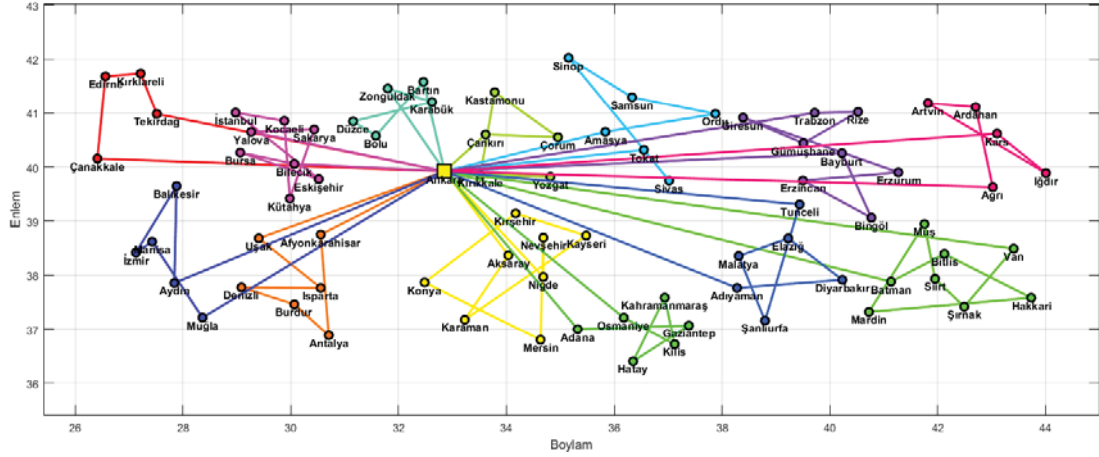
TB algoritmasının çalışabilmesi ve başlangıç çözümünü optimum çözüme ulaştırılabilmesi için gereken program, modüller hâlinde el ile yazılmıştır.

**Model Oluřturma:** Bu blme ait kodlar Ek:2’de gsterilmiřtir. Buradaki ama Ek:1’de belirtilen tablodaki tm verileri okuyarak programın anlayabileceęi řekilde ”model” adı verilen bir veri seti oluřturmaktır. Bu blmde ayrıca tm řehirler arası uzaklık matrisi ve tm řehirlerin depo ile olan uzaklıkları kilometre cinsinden hesaplanmıřtır. “model” veri setine kaydedilen veriler řu řekildedir: nokta (řehir) sayısı, kme (rota) sayısı, mřterilerin talepleri, ara kapasiteleri, maksimum x deęeri, minimum x deęeri, maksimum y deęeri, minimum y deęeri, tm noktaların x deęerleri, tm noktaların y deęerleri, deponun x deęeri, deponun y deęeri, uzaklık matrisi ve tm řehirlerin depoya olan uzaklıkları.

**Model Kaydetme:** Bu blme ait kodlar Ek:3’te gsterilmiřtir. Model Oluřturma modl tek bařına alıřamaz. Model Kaydetme modlne baęlıdır ve bu modlle beraber alıřır. İřlem yapılacak veri setinin kolay seilebilmesi iin dosya ismine nokta sayısı ve kme sayısı bilgileri girilerek programın okuyabileceęi řekilde (.m uzantısında) veri setini kaydeder.

**Veri Seti Seme:** Bu blme ait kodlar Ek:4’te gsterilmiřtir. İřleme alınacak veri setini semek iin bir seim penceresi oluřturur. İstenen veri seti seilir ve iindeki veriler programa aktarılır.

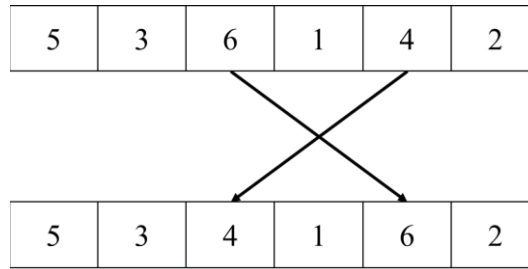
**Bařlangı zm Oluřturma:** Bu blme ait kodlar Ek:6’da gsterilmiřtir. Burada, bařlangı zmnn oluřturulabilmesi iin veri setinin iinden BCO algoritmasının kullanabileceęi x ve y verilere ekilir. Araların kapasite kısıtları dikkate alınmaksızın toplam mesafeyi minimum yapacak řekilde belirlenen kme sayısına gre kmeleme yapılır. Her bir kmeye ait olan noktalar rota oluřturacak řekilde renklendirilir ve noktalar birbirine baęlanarak rota oluřturulur. Oluřturulan her rota tek tek farklı renklerde birleřtirilerek ve řehir isimleri de eklenerek bařlangı zm ekrana izdirilir. Oluřturulan toplam rota bir dizi oluřturacak řekilde bir deęiřkene atanır.



Şekil 3.5. BCO ile örnek bir başlangıç çözümü.

**Komşu Oluşturma:** Bu bölüme ait kodlar Ek:9'da gösterilmiştir. Her iterasyonda toplam rotayı oluşturan dizide rassal olarak seçilen 3 farklı komşuluk oluşturma yöntemi bulunmaktadır.

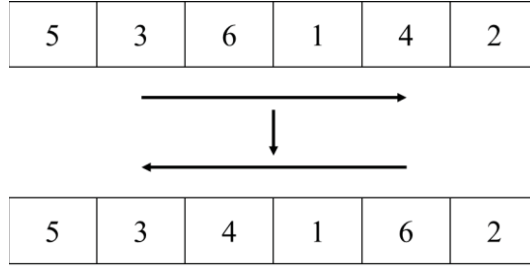
**Takas,** iki rastgele indis numarası seçilir ve bu indislerin elemanları birbirleriyle değiştirilir. Komşu çözümlerin üretilmesinin en kolay ve en yaygın kullanılan yoludur. Anlamaya yardımcı olmak için Şekil 3.6.'da Takas yöntemini tanıtlıyoruz. Örneğin, üçüncü ve beşinci eleman seçilirse, konumları birbirleriyle değiştirilecektir.



Şekil 3.6. Takas yöntemi.

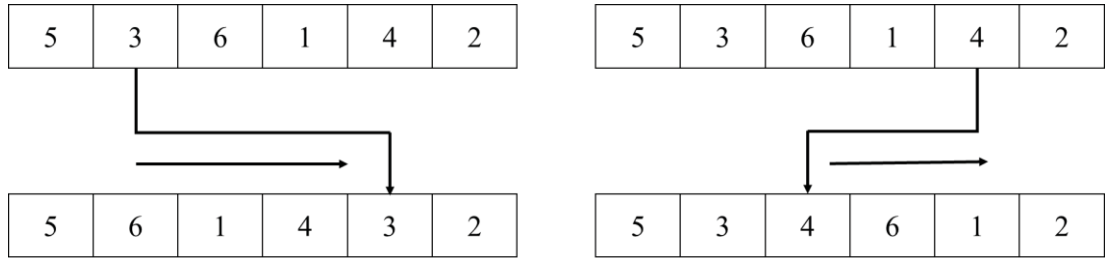
**Ters çevirme,** iki rastgele indis numarası seçilir ve rastgele seçilen iki indis arasındaki yön tersine çevrilir. Anlamaya yardımcı olmak için Şekil 3.7.'de Ters çevirme yöntemini tanıtlıyoruz. Örneğin, ikinci ve beşinci eleman seçilirse, konumları arasındaki yön tersine çevrilecektir.





Şekil 3.7. Ters çevirme yöntemi.

Araya sokma, iki rastgele indis numarası seçilir ve seçilen indislerin elemanlarının değerine dikkat ederek, rastgele seçilen iki öge arasındaki yön tersine çevrilir. Sayı 1, sayı 2'den küçük ise sayı 1'i, sayı 1'den sayı 2'ye kadar olan sıralamanın sonuna taşı (sayı 2'den hemen sonra). Diğer durumda, sayı 1'i, sayı 1'den sayı 2'ye kadar olan sıralamanın başına taşı (sayı 2'den hemen sonra). Anlamaya yardımcı olmak için Şekil 3.8.'de Araya sokma yöntemini tanıtıyoruz. Örneğin, ikinci ve beşinci eleman seçilirse konumları arasındaki yön aşağıdaki gibi olacaktır:

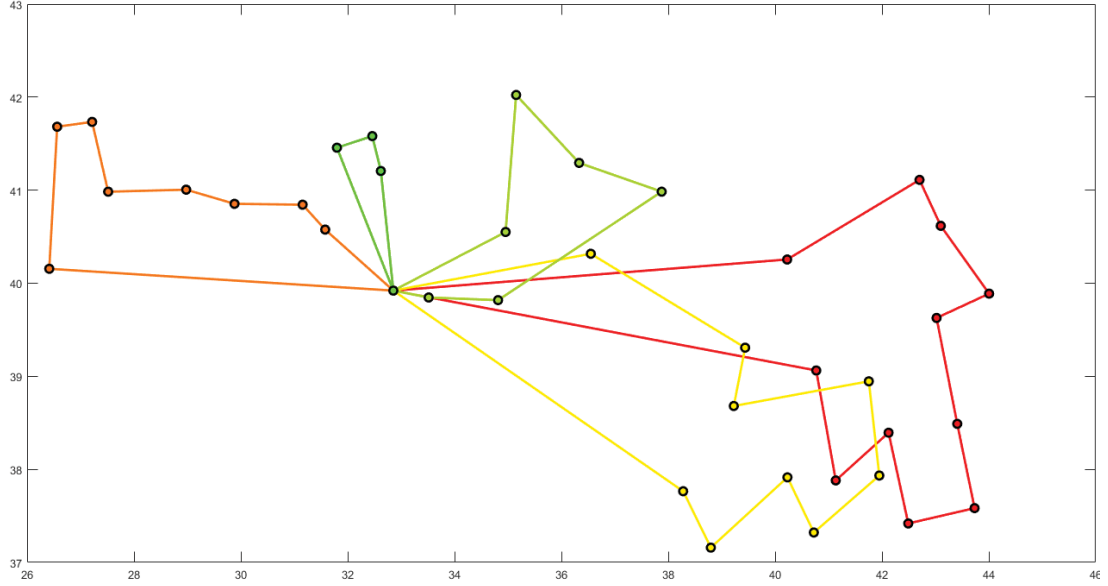


Şekil 3.8. Araya sokma yöntemi.

**Sayısal Çözüm:** Bu bölüme ait kodlar Ek:7'de gösterilmiştir. Sayısal hesaplamaların tamamı bu bölümde gerçekleşir. Yeni komşuluklar oluşturulduktan sonra yeni oluşan rotanın sayısal hesaplamaları burada yapılır ve kaydedilir. Kaydedilen veriler şu şekildedir: Yeni oluşan rotalar, bu rotaların mesafeleri, maksimum rota mesafesi, minimum rota mesafesi, toplam mesafe, kullanılan kapasite, fazla kapasite, ortalama fazla kapasite, toplam fazla kapasite ve çözümün uygulanabilir olup olmadığıdır. Ayrıca amaç fonksiyonu kullandığı verileri buradan alır ve amaç fonksiyonunun değeri hesaplanır.

**Görsel Çözüm:** Bu bölüme ait kodlar Ek:10'da gösterilmiştir. Burada amaç, yeni oluşan rotayı sayısal çözüm modülünde hesaplandıktan sonra burada minimum-

maksimum  $x$  ve minimum-maksimum  $y$  değerleri sınırlarında çizdirerek ekrana yansıtmaktır. Her bir kümenin rotası farklı renkte olacak şekilde çizilir ve noktalar birbirine bağlanarak toplam rota oluşturulur.

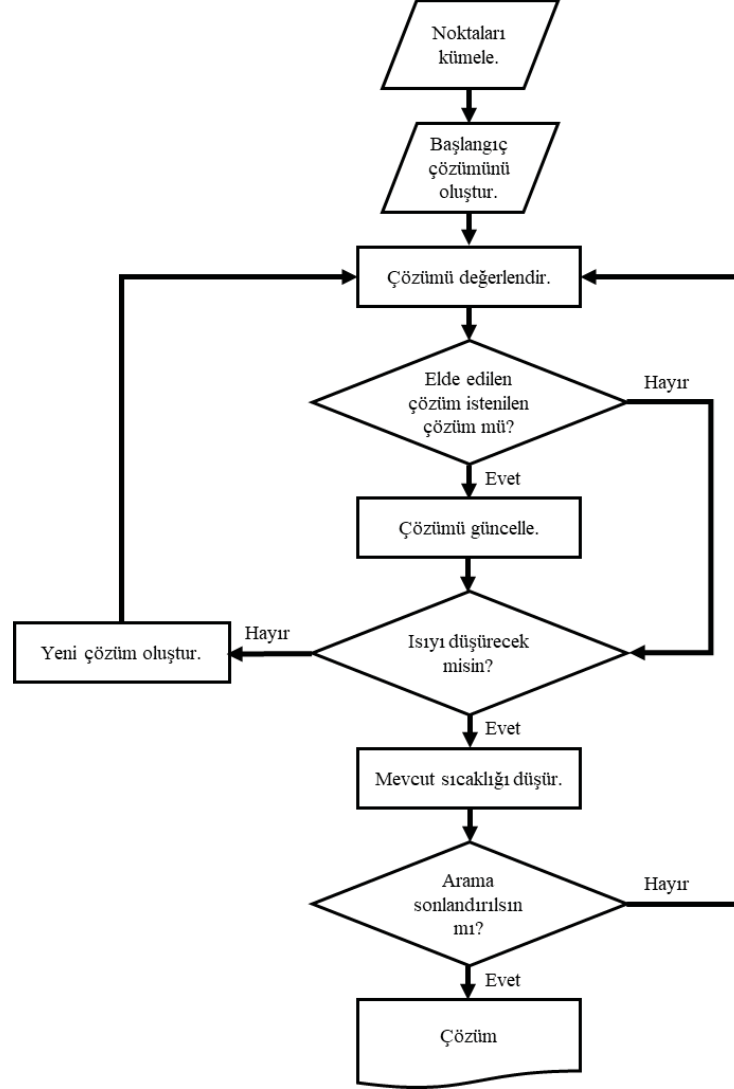


Şekil 3.9. Örnek bir görsel çözüm.

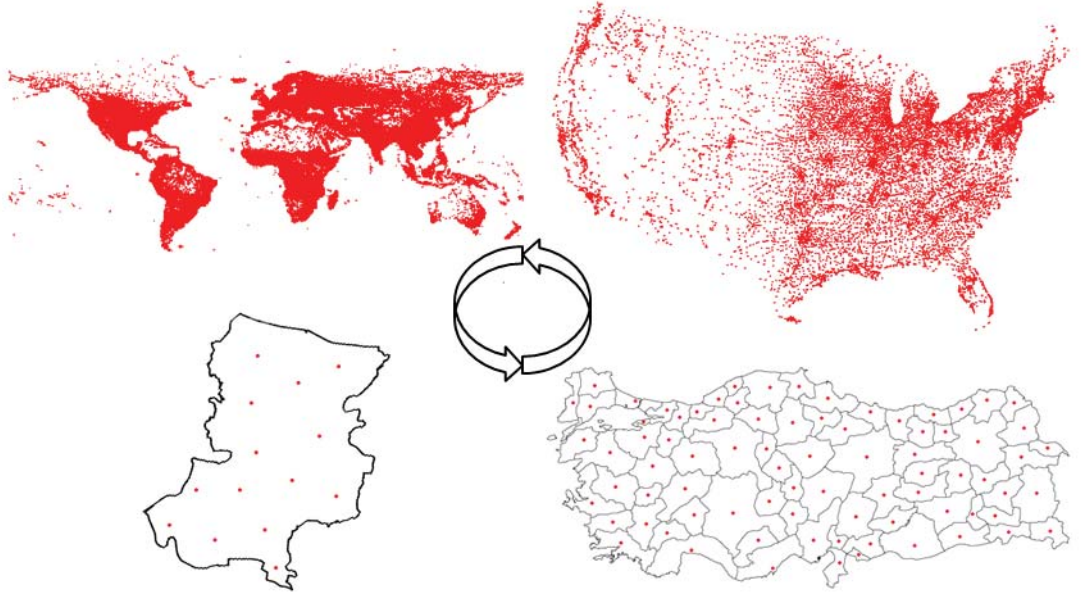
**Tavlama Benzetimi:** Bu bölüme ait kodlar Ek:11’de gösterilmiştir. Model Oluşturma ve Kaydetme modülleri hariç diğer modüller bu modüle bağlıdır. Burada kullanılan parametreler: üst iterasyon sayısı, alt iterasyon sayısı, ilk sıcaklık değeri, sıcaklık düşürme oranıdır. Belirtilen iterasyon sayısına gelene kadar her bir iterasyonda sıcaklık değeri düşürülür ve bağlı tüm modüller çalıştırılır. Ayrıca çalışma esnasında komut ekranında bize çeşitli bilgiler verilir. Yeni oluşturulan bir rotanın amaç fonksiyonunun değeri bir önceki çözümün amaç fonksiyonunun değerinden iyi ise yeni rota koşulsuz olarak kabul edilir. Eğer tam tersi bir durum varsa Boltzman Dağılımı’na göre bir değer hesaplanır ve bu değer 0-1 arasında oluşturulan rastgele bir sayıdan büyük veya eşit ise amaç fonksiyonunun değeri daha kötü olsa bile çözüm kabul edilir. Bu sayede algoritmanın arama uzayında çıkmaza girmesi engellenmiş olur.

**Çalıştır:** Bu bölüme ait kodlar Ek:12’de gösterilmiştir. Tavlama Benzetimi modülünü çalıştırır. tic-tok komutu kullanılarak algoritma başlangıcında zaman tutulmaya

başlanır ve son iterasyon da tamamlandıktan sonra süre durdurulur. Tüm algoritmanın çalışma zamanı tespit edilir ve bir değişkene atanır.



Şekil 3.10. Önerilen modelin akış şeması.



Şekil 3.11. Önerilen modelin ölçeklenebilirliği.

Önerilen model basit ve küçük problemlerden kapsamlı ve zor problemlere kadar çok çeşitli zorluk seviyelerinde kullanılabilir. Önerilen model ile beraber problem çözüldüğünde sonuçlar ümit vericidir. Bu model ile birlikte daha kısa sürelerde optimum çözüme daha yakın sonuçlar elde edilmiştir. Bu durum, daha karmaşık problemlerde daha iyi sonuçlar vereceğinin kanıtıdır. Bu da önerilen modelin ölçeklenebilirliğinin yüksek olduğunu gösterir.

## BÖLÜM 4. ARAŞTIRMA BULGULARI

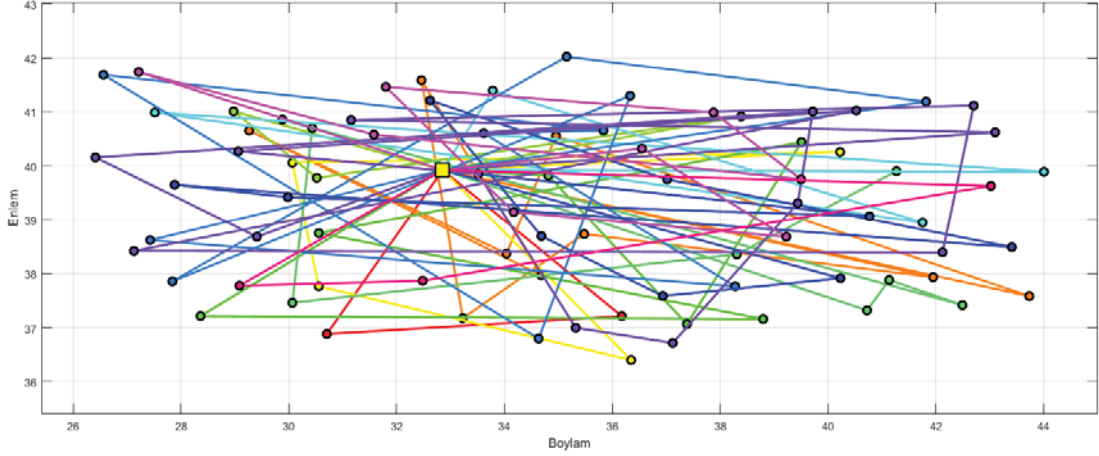
Aşağıdaki tablolarda rassal başlangıç çözümü, k-ortalamlar ile kümelenmiş başlangıç çözümü ve bulanık c-ortalamlar ile kümelenmiş başlangıç çözümü için sırasıyla 12, 13 ve 14 kümeli olacak şekilde problem çözülmüştür. Her yöntem ve küme sayısı için 15 adet deney yapılmıştır. Deney sonuçları aşağıdaki tablolarda gösterilmiştir.

Tablo 4.1. 12 kümeli rassal başlangıçlı çözüm sonuçları.

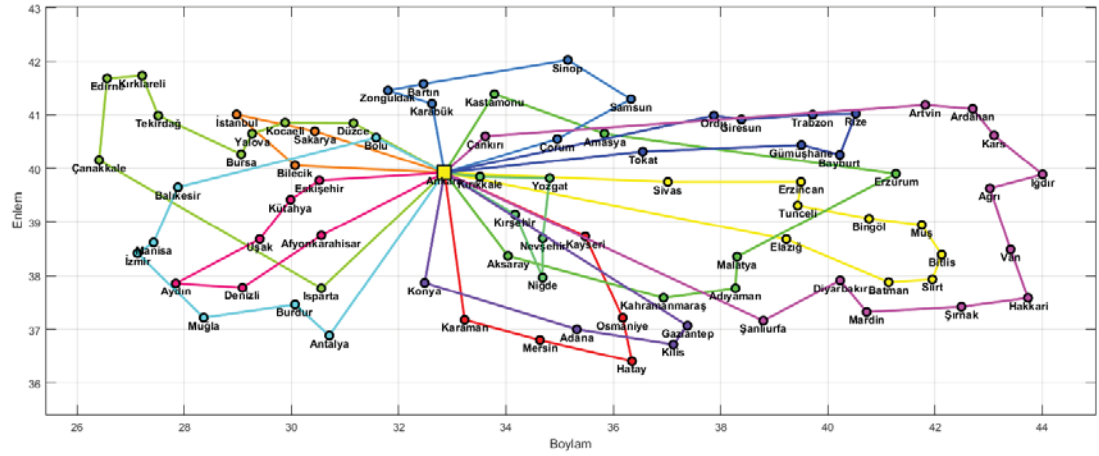
Deney No	Başlangıç Çözümü	En İyi Çözüm	Küme Sayısı	Minimum Mesafe	Maksimum Mesafe	Toplam Mesafe	Toplam Fazla Kapasite	Uygulanabilir Çözüm	Çözüm Süresi
1	52998,19	16172,86	12	654,7745	2466,0136	16172,86	0	1	33,734
2	47459,99	16751,71	12	917,3224	2396,0454	16585,85	1	0	33,635
3	46745,85	17546,34	12	964,4904	2378,118	17546,34	0	1	33,576
4	53429,29	16476	12	802,9382	2372,0571	16312,87	1	0	33,647
5	51885,52	16197,37	12	660,3134	2412,1949	16037	1	0	33,457
6	51682,93	17300,69	12	743,5212	2312,4084	17129,4	1	0	33,652
7	48234,08	16516,12	12	690,152	2450,572	16516,12	0	1	33,385
8	48215,6	16791,78	12	864,4684	2469,1795	16625,52	1	0	33,422
9	52232,35	16860,09	12	768,0105	2160,8319	16693,15	1	0	33,559
10	48666,38	16323,06	12	688,5869	2324,833	16323,06	0	1	33,48
11	48382,72	17274,75	12	696,2411	2465,6799	17274,75	0	1	33,513
12	45842,16	16953,36	12	684,9929	2273,6208	16785,5	1	0	33,722
13	50908,31	16488,77	12	579,4687	2197,1699	16165,46	2	0	33,836
14	51821,18	17682,1	12	985,4014	2275,3059	17682,1	0	1	33,592
15	50834,62	17036,83	12	726,2422	2141,6565	16868,15	1	0	33,597
Ort.	49955,94	16824,79	12	761,7949	2339,7125	16714,54	0,66667	0,4	33,587

Tüm araçların kapasitesinin eşit olduğu için toplam müşteri talebini bir aracın toplam kapasitesine böldüğümüzde çıkan sonuç 12'dir. Bu problemin çözülebilmesi için minimum 12 rotaya ihtiyaç vardır. Problem, 12 kümeli rassal başlangıç ile çözüldüğünde en iyi sonucu 1 numaralı deney vermiştir. Ortalama başlangıç çözümü 49955,94 km, ortalama en iyi çözüm 16824,79 km, ortalama minimum mesafe

761,79 km, ortalama maksimum mesafe 2339,71 km, ortalama toplam mesafe 16714,15 km, ortalama çözüm süresi 33,59 saniye olarak bulunmuştur. 15 çözümden 6 tanesi uygulanabilir çözümdür. Şekil 4.1. başlangıç çözümünü; Şekil 4.2. nihai çözümü göstermektedir.



Şekil 4.1. 12 kümeli rassal başlangıçlı en iyi çözümün başlangıç çözümü.

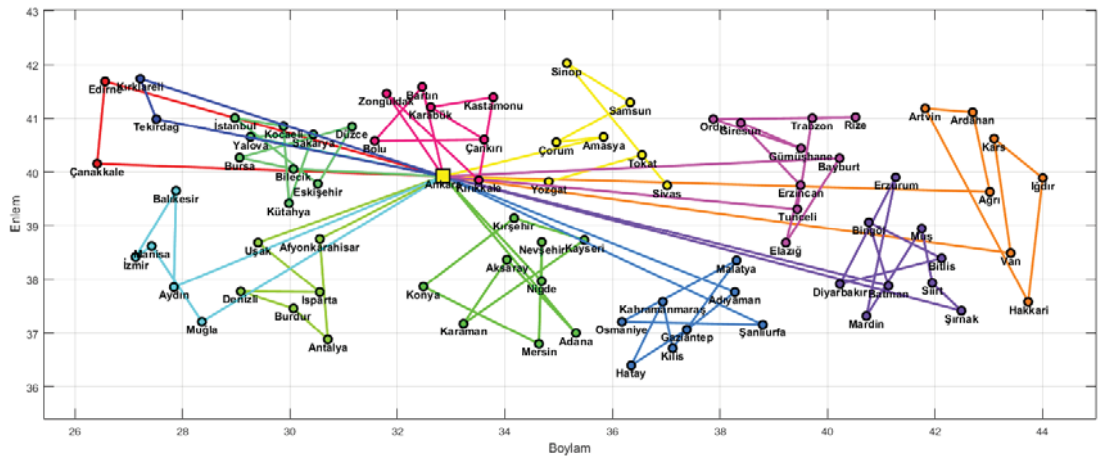


Şekil 4.2. 12 kümeli rassal başlangıçlı en iyi çözümün nihai çözümü.

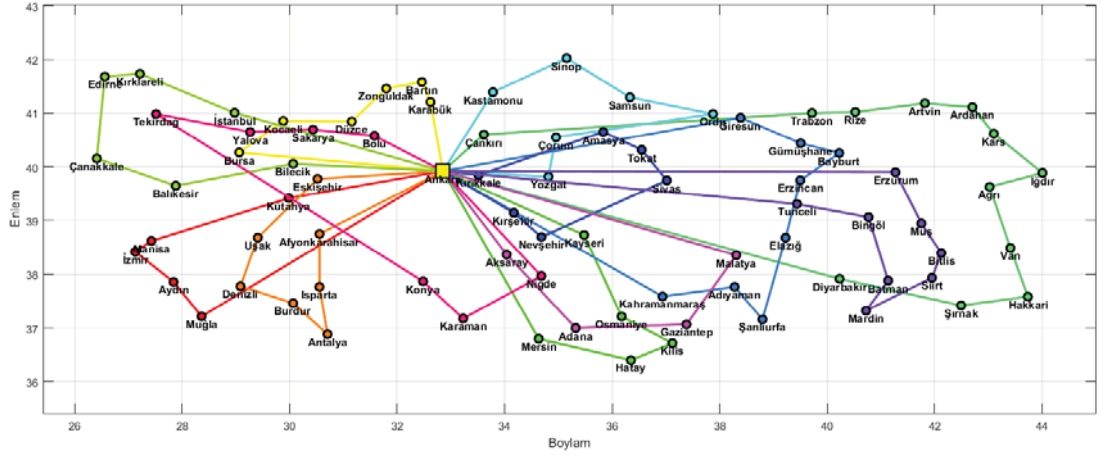
Tablo 4.2. 12 kümeli k-ortalamlar ile kümelenmiş başlangıçlı çözüm sonuçları.

Deney No	Başlangıç Çözümü	En İyi Çözüm	Küme Sayısı	Minimum Mesafe	Maksimum Mesafe	Toplam Mesafe	Toplam Fazla Kapasite	Uygulanabilir Çözüm	Çözüm Süresi
1	21633,17	16772,07	12	740,9403	2375,2377	16606,01	1	0	34,442
2	20219,73	15860,55	12	589,6186	2418,5602	15703,52	1	0	34,183
<b>3</b>	<b>22205,92</b>	<b>16336,63</b>	<b>12</b>	<b>858,6412</b>	<b>2360,802</b>	<b>16336,63</b>	<b>0</b>	<b>1</b>	<b>34,093</b>
4	21434,53	15977,35	12	677,5239	2126,6589	15819,15	1	0	33,99
5	21456,43	16454,51	12	877,0236	2149,1044	16291,6	1	0	33,924
6	23330,91	16428,91	12	698,7528	2508,551	16266,24	1	0	34,111
7	21337,88	16591,98	12	783,6667	2648,542	15801,89	5	0	33,967
8	22306,11	15871,81	12	660,3134	2193,6065	15714,67	1	0	33,958
9	22296,78	16449,37	12	702,6832	2333,1864	16286,5	1	0	33,922
10	20953,83	15521,79	12	579,4687	2286,5694	15368,11	1	0	33,953
11	22854,22	16393,55	12	794,9418	2392,6719	16231,24	1	0	33,916
12	20851,98	16018,61	12	661,7122	2087,1751	15704,52	2	0	34,421
13	25038,33	17569,47	12	835,6869	2347,0975	17395,52	1	0	33,976
14	20478,62	15916,72	12	856,2059	2374,7066	15759,13	1	0	34,166
15	20726,11	16097,31	12	858,5333	2145,1019	15937,93	1	0	33,901
Ort.	21808,3	16284,04	12	745,0475	2316,5048	16081,51	1,26667	0,06667	34,062

Problem, 12 kümeli k-ortalamlar ile kümelenmiş başlangıç ile çözüldüğünde en iyi sonucu 3 numaralı deney vermiştir. Ortalama başlangıç çözümü 21808,3 km, ortalama en iyi çözüm 16284,04 km, ortalama minimum mesafe 745,05 km, ortalama maksimum mesafe 2316,5 km, ortalama toplam mesafe 16081,51 km, ortalama çözüm süresi 34,06 saniye olarak bulunmuştur. 15 çözümden 1 tanesi uygulanabilir çözümdür. Şekil 4.3. başlangıç çözümü; Şekil 4.4. nihai çözümü göstermektedir.



Şekil 4.3. 12 kümeli k-ortalamlar ile kümelenmiş başlangıçlı en iyi çözümün başlangıç çözümü.



Şekil 4.4. 12 kümeli k-ortalamar ile kümelennmiş başlangıçlı en iyi çözümün nihai çözümü.

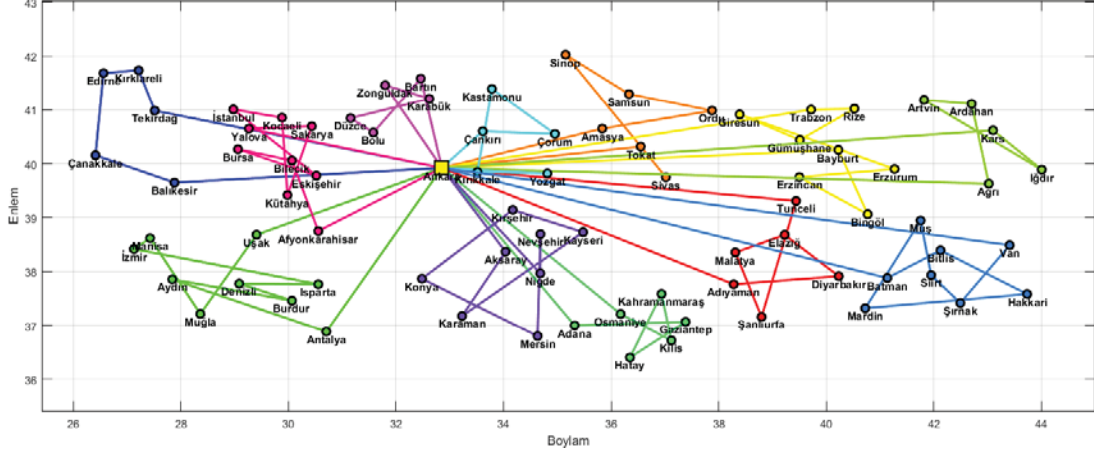
Tablo 4.3. 12 kümeli bulanık c-ortalamar ile kümelennmiş başlangıçlı çözüm sonuçları.

Deney No	Başlangıç Çözümü	En İyi Çözüm	Küme Sayısı	Minimum Mesafe	Maksimum Mesafe	Toplam Mesafe	Toplam Fazla Kapasite	Uygulanabilir Çözüm	Çözüm Süresi
1	20856,12	16118,12	12	693,6245	2183,4083	16118,12	0	1	33,976
2	20274,13	16845,24	12	660,3134	2406,8446	16845,24	0	1	34,218
3	21717,91	16312,69	12	716,5878	2293,8122	16151,18	1	0	33,569
4	20856,12	15633,44	12	698,7528	2405,2975	15178,1	3	0	33,76
5	20856,12	16207,63	12	777,7182	2226,8662	16047,15	1	0	33,438
6	21717,91	16009,52	12	684,0689	2119,1895	16009,52	0	1	33,811
7	20274,13	15845,13	12	679,5598	2265,8588	15845,13	0	1	33,421
8	20856,12	16118,91	12	695,5593	2465,6468	15959,31	1	0	33,664
9	20856,12	16201,83	12	660,3134	2191,0233	16041,42	1	0	33,393
10	20856,12	15858,93	12	698,7528	2347,6152	15858,93	0	1	33,642
<b>11</b>	<b>20321,44</b>	<b>15523,38</b>	<b>12</b>	<b>632,1836</b>	<b>2214,8394</b>	<b>15523,38</b>	<b>0</b>	<b>1</b>	<b>33,725</b>
12	21260,06	16606,6	12	856,3641	2187,1448	16606,6	0	1	33,553
13	20856,12	16325,43	12	759,9745	2199,9643	16163,8	1	0	33,505
14	20856,12	16792,72	12	999,9048	2211,1039	16792,72	0	1	33,622
15	20856,12	16171,05	12	619,1711	2382,0533	15853,97	2	0	33,44
Ort.	20884,71	16171,38	12	722,1899	2273,3779	16066,31	0,66667	0,53333	33,649

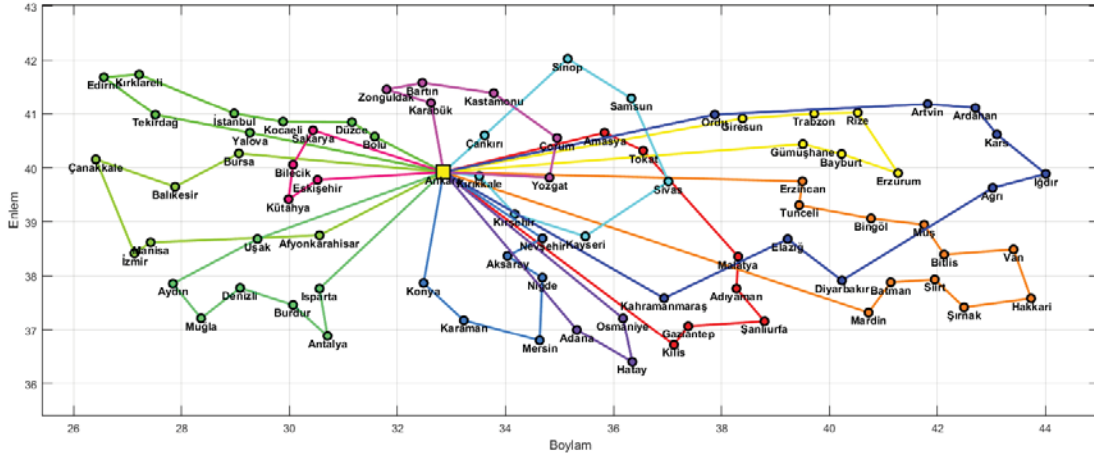
Problem 12 kümeli bulanık c-ortalamar ile kümelennmiş başlangıç ile çözüldüğünde en iyi sonucu 11 numaralı deney vermiştir. Ortalama başlangıç çözümü 20884,71 km, ortalama en iyi çözüm 16171,38 km, ortalama minimum mesafe 722,19 km,



ortalama maksimum mesafe 2273,38 km, ortalama toplam mesafe 16066,31 km, ortalama çözüm süresi 33,65 saniye olarak bulunmuştur. 15 çözümden 8 tanesi uygulanabilir çözümdür. Şekil 4.5. başlangıç çözümünü; Şekil 4.6. nihai çözümü göstermektedir.



Şekil 4.5. 12 kümeli bulanık c-ortalamlar ile kümelmiş başlangıçlı en iyi çözümün başlangıç çözümü.

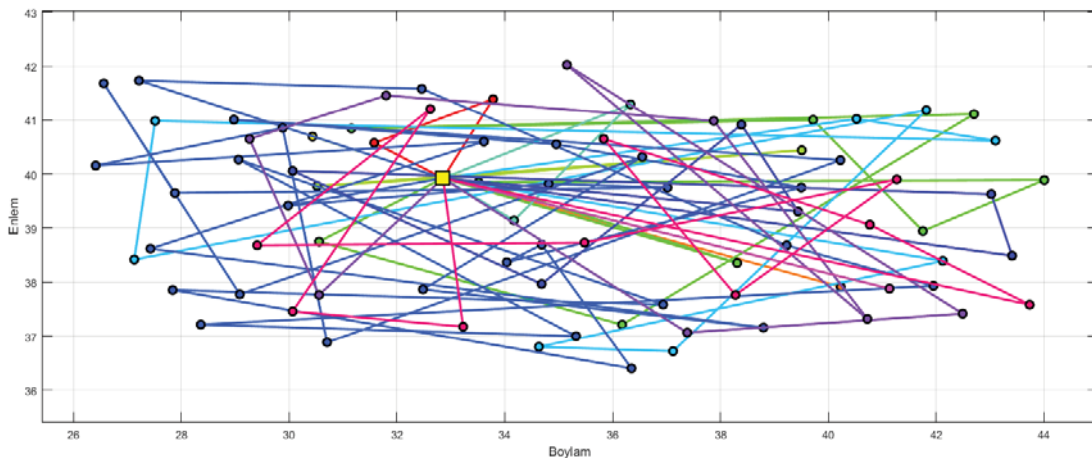


Şekil 4.6. 12 kümeli bulanık c-ortalamlar ile kümelmiş başlangıçlı en iyi çözümün nihai çözümü.

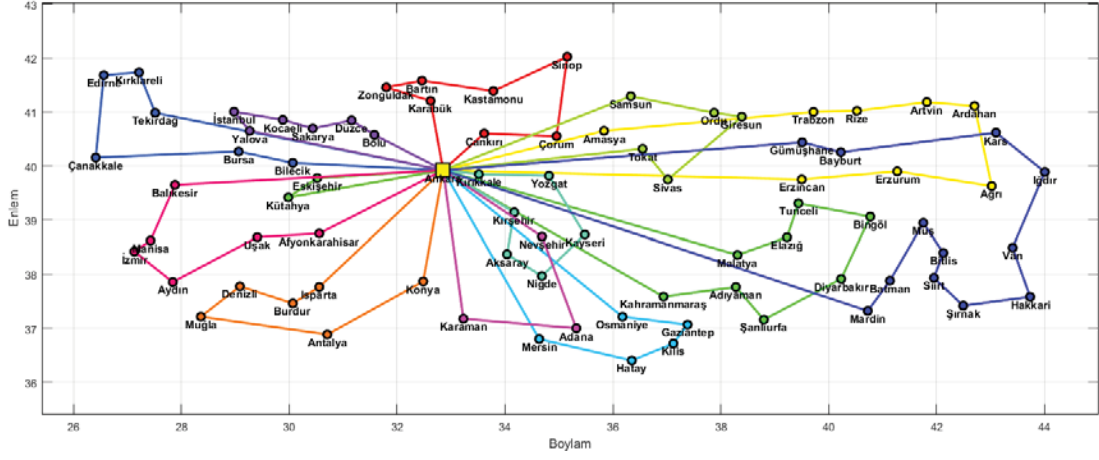
Tablo 4.4. 13 kümeli rassal başlangıçlı çözüm sonuçları.

Deney No	Başlangıç Çözümü	En İyi Çözüm	Küme Sayısı	Minimum Mesafe	Maksimum Mesafe	Toplam Mesafe	Toplam Fazla Kapasite	Uygulanabilir Çözüm	Çözüm Süresi
1	49317,17	15833,97	13	428,7202	2378,7921	15833,97	0	1	34,906
2	52090,7	15899,82	13	417,556	2400,3257	15742,39	1	0	34,45
3	50413,92	15840,94	13	417,556	2308,6088	15840,94	0	1	34,723
4	50575,31	16019,47	13	474,9832	2149,9403	16019,47	0	1	34,669
5	48613,26	15892,07	13	505,64	2423,1411	15892,07	0	1	34,771
6	49264,25	15965,33	13	428,7202	2265,4637	15965,33	0	1	34,73
7	51860,19	15947,15	13	487,4924	2363,618	15789,26	1	0	34,47
8	47109,15	15834,81	13	539,7087	2356,8804	15834,81	0	1	34,539
9	53526,07	15732,05	13	450,1598	2369,7732	15732,05	0	1	34,725
<b>10</b>	<b>48217,26</b>	<b>15800,67</b>	<b>13</b>	<b>512,8669</b>	<b>2511,1849</b>	<b>15800,67</b>	<b>0</b>	<b>1</b>	<b>34,425</b>
11	51913,68	16125,1	13	399,7	2532,5885	16125,1	0	1	34,751
12	46184,96	16370,81	13	474,9832	2267,8834	16370,81	0	1	34,464
13	50333	15520,45	13	525,8825	2166,2095	15366,78	1	0	34,871
14	49490,56	16280,35	13	487,4924	2383,9985	15961,13	2	0	34,754
15	50086,68	16200,58	13	704,4885	2163,9992	16200,58	0	1	34,464
Ort.	49933,08	15950,91	13	483,73	2336,1605	15898,36	0,33333	0,73333	34,647

Problem 13 kümeli rassal başlangıç ile çözüldüğünde en iyi sonucu 10 numaralı deney vermiştir. Ortalama başlangıç çözümü 49933,08 km, ortalama en iyi çözüm 15950,91 km, ortalama minimum mesafe 483,73 km, ortalama maksimum mesafe 2336,16 km, ortalama toplam mesafe 15898,36 km, ortalama çözüm süresi 34,65 saniye olarak bulunmuştur. 15 çözümden 11 tanesi uygulanabilir çözümdür. Şekil 4.7. başlangıç çözümünü; Şekil 4.8. nihai çözümü göstermektedir.



Şekil 4.7. 13 kümeli rassal başlangıçlı en iyi çözümün başlangıç çözümü.



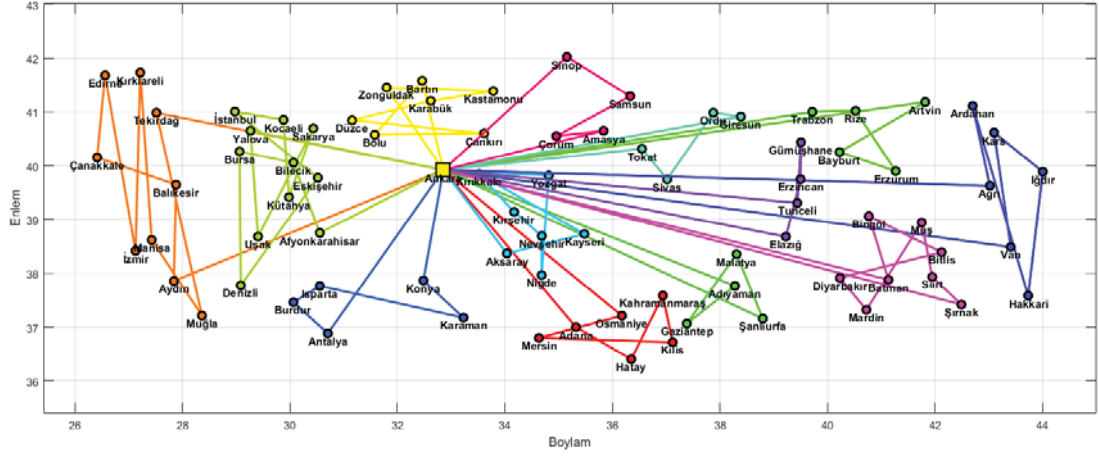
Şekil 4.8. 13 kümelı rassal başlangıçlı en iyi çözümün nihai çözümü.

Tablo 4.5. 13 kümelı k-ortalamlar ile kümelıenmiş başlangıçlı çözüm sonuçları.

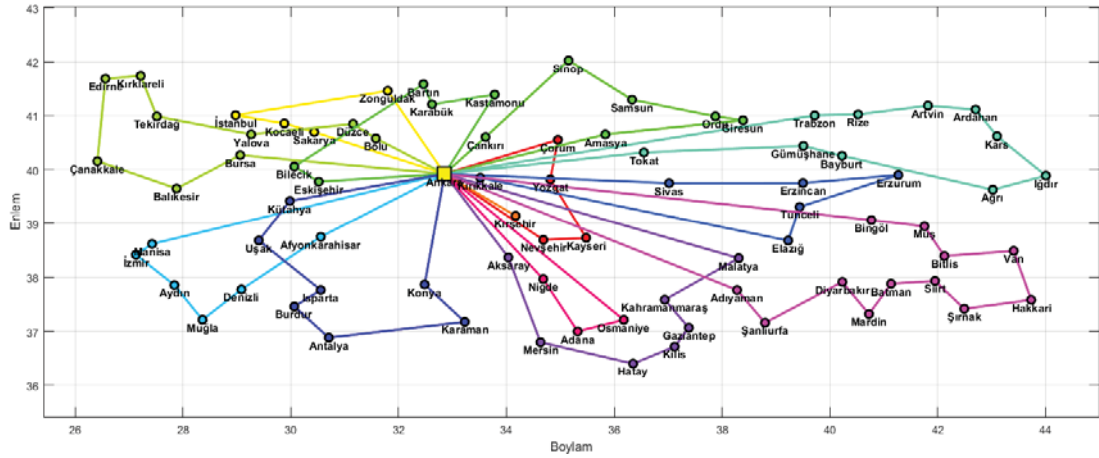
Deney No	Başlangıç Çözümü	En İyi Çözüm	Küme Sayısı	Minimum Mesafe	Maksimum Mesafe	Toplam Mesafe	Toplam Fazla Kapasite	Uygulanabilir Çözüm	Çözüm Süresi
1	21088,79	15961,03	13	474,9832	2366,8461	15961,03	0	1	35,139
2	21065,04	15382,15	13	575,407	2153,8805	15229,85	1	0	35,376
3	21643,29	16233,29	13	417,556	2281,5682	16233,29	0	1	34,985
4	21962,92	15921,41	13	502,3368	2364,7775	15921,41	0	1	34,927
5	22844,8	16107,72	13	417,556	2241,3602	16107,72	0	1	35,038
6	21304,26	15602,79	13	539,7087	2184,9188	15448,31	1	0	35,273
7	19881,9	15945,61	13	417,556	2403,0887	15945,61	0	1	34,982
8	19980,16	15663,58	13	417,556	2609,7146	15663,58	0	1	35,049
9	20314,81	15866,33	13	651,0507	2292,0271	15866,33	0	1	35,314
10	22262,19	16066,28	13	399,7	2165,2007	16066,28	0	1	34,907
11	20730,12	15725,15	13	437,4377	2230,7999	15725,15	0	1	35,258
12	23448,68	16171,27	13	295,7122	2454,5769	16171,27	0	1	35,058
13	22912,49	16026,98	13	450,1598	2359,7754	16026,98	0	1	35,07
14	23445,87	15762,67	13	539,7087	2223,9769	15762,67	0	1	34,995
<b>15</b>	<b>22921,48</b>	<b>15461</b>	<b>13</b>	<b>284,548</b>	<b>2226,8662</b>	<b>15461</b>	<b>0</b>	<b>1</b>	<b>35,085</b>
Ort.	21720,45	15859,82	13	454,7318	2303,9585	15839,37	0,13333	0,86667	35,097

Problem 13 kümelı k-ortalamlar ile kümelıenmiş başlangıç ile çözüldüğünde en iyi sonucu 15 numaralı deney vermiştir. Ortalama başlangıç çözümü 21720,45 km, ortalama en iyi çözüm 15859,82 km, ortalama minimum mesafe 454,73 km, ortalama

maksimum mesafe 2303,96 km, ortalama toplam mesafe 15839,37 km, ortalama çözüm süresi 35,1 saniye olarak bulunmuştur. 15 çözümden 13 tanesi uygulanabilir çözümdür. Şekil 4.9. başlangıç çözümünü; Şekil 4.10. nihai çözümü göstermektedir.

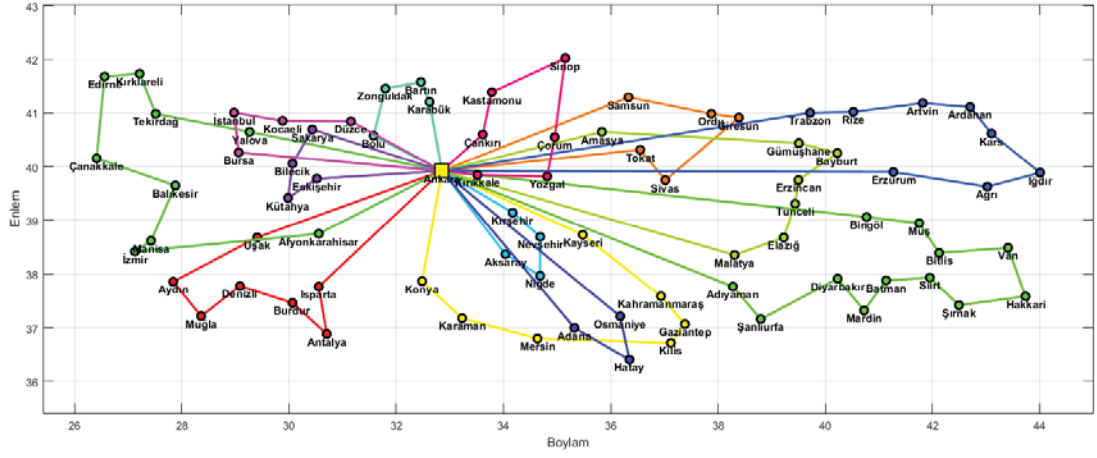


Şekil 4.9. 13 kümüli k-ortalama ile kümelendiği başlangıçlı en iyi çözümün başlangıç çözümü.



Şekil 4.10. 13 kümüli k-ortalama ile kümelendiği başlangıçlı en iyi çözümün nihai çözümü.





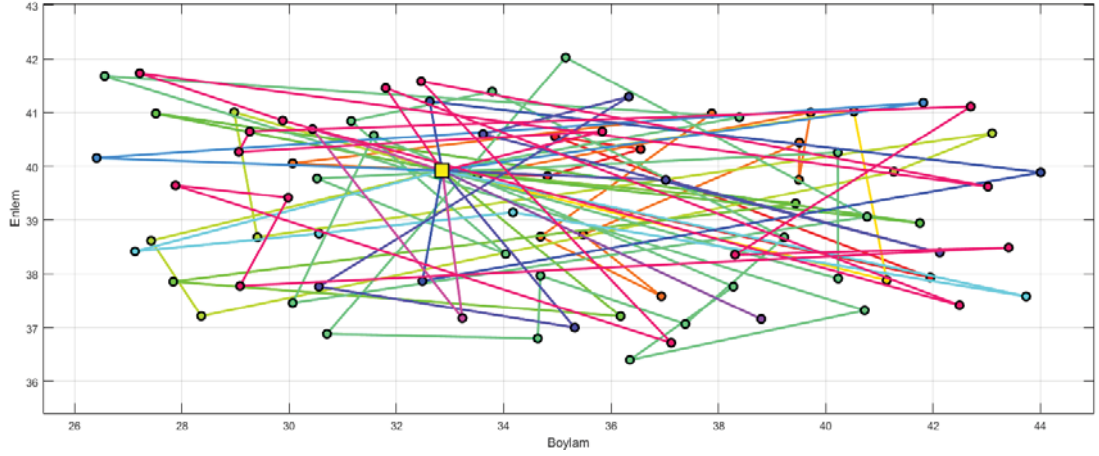
Şekil 4.12. 13 kümeli bulanık c-ortalamalar ile kümelenmiş başlangıçlı en iyi çözümün nihai çözümü.

Tablo 4.7. 14 kümeli rassal başlangıçlı çözüm sonuçları.

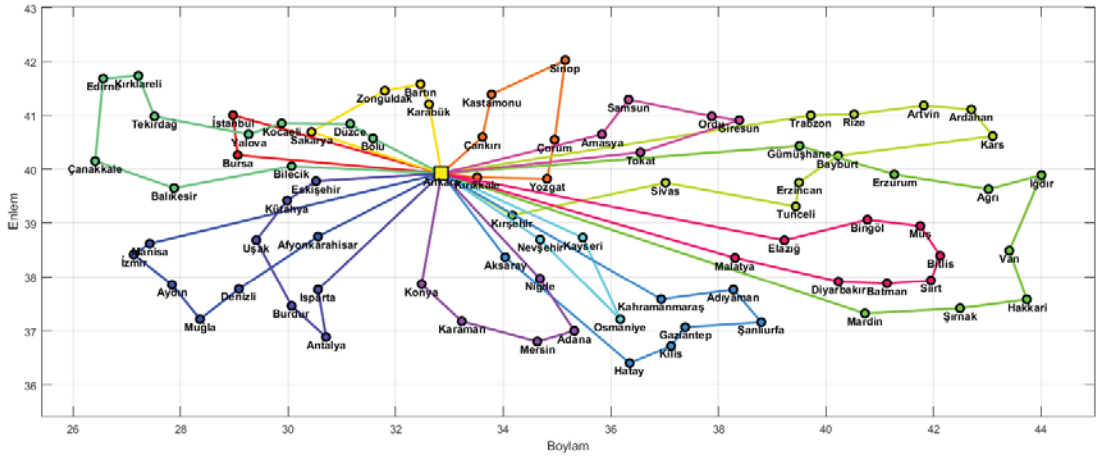
Deney No	Başlangıç Çözümü	En İyi Çözüm	Küme Sayısı	Minimum Mesafe	Maksimum Mesafe	Toplam Mesafe	Toplam Fazla Kapasite	Uygulanabilir Çözüm	Çözüm Süresi
1	52008,33	16731,49	13	609,5057	2466,4281	16731,49	0	1	36,18
2	47148,91	15984,36	13	437,4377	2240,8385	15984,36	0	1	34,225
3	50346,08	15883,95	13	619,9646	2255,6597	15883,95	0	1	34,035
<b>4</b>	<b>50941,97</b>	<b>15731,82</b>	<b>13</b>	<b>609,5057</b>	<b>2249,0385</b>	<b>15731,82</b>	<b>0</b>	<b>1</b>	<b>33,995</b>
5	44933,86	16167,57	13	335,718	2206,8023	16167,57	0	1	33,815
6	48562,83	15940,38	13	403,5373	2152,8486	15782,55	1	0	33,791
7	50279,74	16368,3	13	487,4924	2257,3432	16368,3	0	1	34,574
8	53506,97	16064,95	13	512,8669	2430,3724	16064,95	0	1	34,043
9	47993,34	16009,88	13	539,7087	2354,5874	16009,88	0	1	33,702
10	49408,72	15849,3	13	441,9619	2338,5959	15849,3	0	1	33,878
11	49290,78	16055,1	13	474,9832	2370,7283	15896,14	1	0	34,109
12	46872,04	16278,27	13	539,7087	2383,8769	16278,27	0	1	33,955
13	45774,85	15996,04	13	437,4377	2359,6672	15996,04	0	1	33,788
14	52372,4	15968,74	13	524,4559	2121,9523	15968,74	0	1	34,033
15	52414,15	16342,58	13	568,371	2117,6578	16342,58	0	1	34,039
Ort.	49457	16091,51	13	502,8437	2287,0931	16070,39	0,13333	0,86667	34,144

Problem 14 kümeli rassal başlangıç ile çözüldüğünde en iyi sonucu 4 numaralı deney vermiştir. Ortalama başlangıç çözümü 49457 km, ortalama en iyi çözüm 16091,51 km, ortalama minimum mesafe 502,84 km, ortalama maksimum mesafe 2287,09 km,

ortalama toplam mesafe 16070,39 km, ortalama çözüm süresi 34,14 saniye olarak bulunmuştur. 15 çözümden 13 tanesi uygulanabilir çözümdür. Şekil 4.13. başlangıç çözümünü; Şekil 4.14. nihai çözümü göstermektedir.



Şekil 4.13. 14 kümeli rassal başlangıçlı en iyi çözümün başlangıç çözümü.

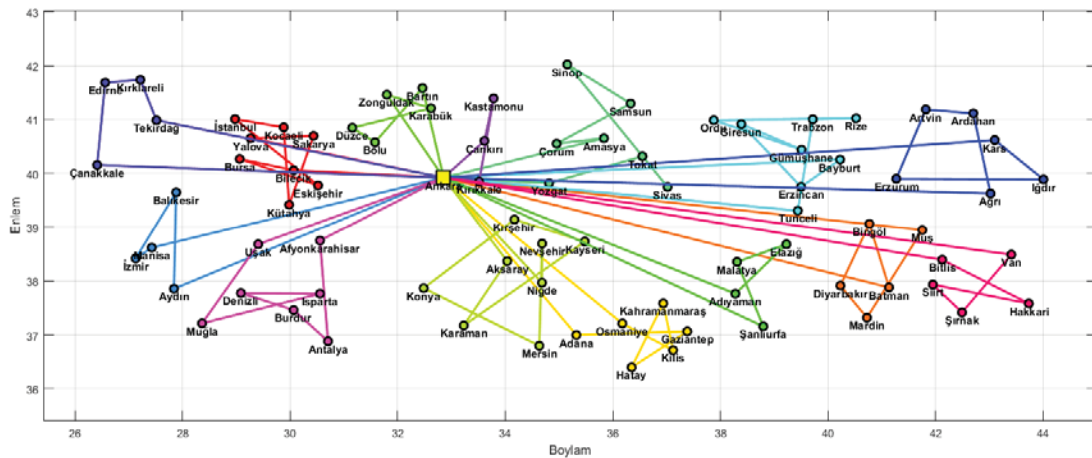


Şekil 4.14. 14 kümeli rassal başlangıçlı en iyi çözümün nihai çözümü.

Tablo 4.8. 14 kümeli k-ortalamlar ile kümelenmiş başlangıçlı çözüm sonuçları.

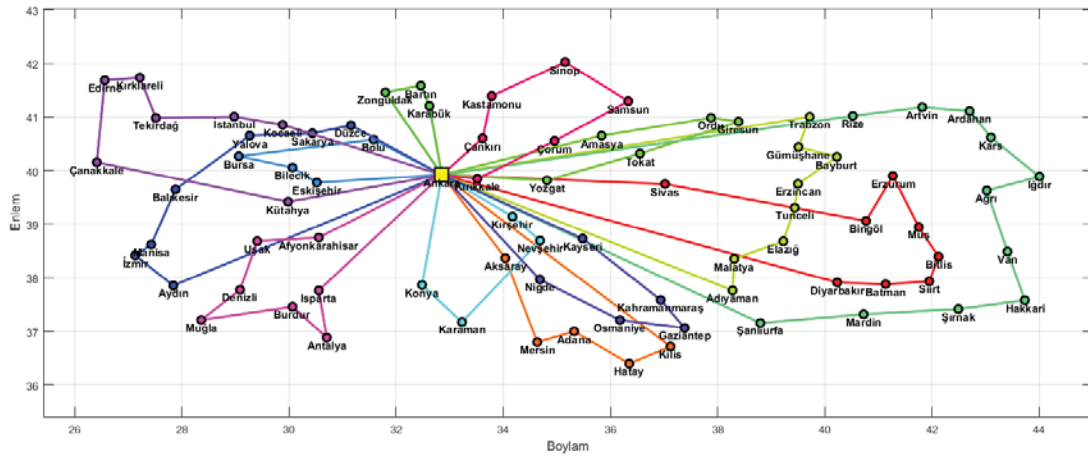
Deney No	Başlangıç Çözümü	En İyi Çözüm	Küme Sayısı	Minimum Mesafe	Maksimum Mesafe	Toplam Mesafe	Toplam Fazla Kapasite	Uygulanabilir Çözüm	Çözüm Süresi
1	22217,79	15817,38	13	437,4377	2294,7109	15817,38	0	1	35,715
2	22047,22	15530,86	13	437,4377	2302,2477	15530,86	0	1	35,495
3	22528,74	15504,85	13	566,824	2378,6627	15504,85	0	1	35,765
4	21910,16	16129,25	13	437,4377	2380,5542	16129,25	0	1	35,653
5	22582,23	15932,78	13	417,556	2308,4881	15932,78	0	1	35,786
6	21587,39	15993,71	13	544,6952	2332,1429	15993,71	0	1	35,507
7	23344,58	15832,66	13	428,7202	2161,2942	15832,66	0	1	35,556
8	20845,77	15783,25	13	437,4377	2228,2082	15783,25	0	1	35,517
9	23228,78	15836,08	13	417,556	2069,6788	15836,08	0	1	35,512
10	23260	15655,21	13	417,556	2388,2071	15655,21	0	1	35,404
11	22103,8	16291,94	13	417,556	2186,4128	16291,94	0	1	35,55
12	21797,01	15955,1	13	393,8493	2572,4541	15955,1	0	1	35,457
<b>13</b>	<b>21775,36</b>	<b>15456,97</b>	<b>13</b>	<b>437,4377</b>	<b>2384,9126</b>	<b>15456,97</b>	<b>0</b>	<b>1</b>	<b>35,398</b>
14	21610,4	15598,05	13	539,7087	2331,7571	15598,05	0	1	35,564
15	25758,08	15639,73	13	502,64	2171,0697	15484,89	1	0	35,433
Ort.	22439,82	15797,19	13	455,59	2299,3867	15786,87	0,06667	0,93333	35,554

Problem 14 kümeli k-ortalamlar ile kümelenmiş başlangıç ile çözüldüğünde en iyi sonucu 13 numaralı deney vermiştir. Ortalama başlangıç çözümü 22439,82 km, ortalama en iyi çözüm 15797,19 km, ortalama minimum mesafe 455,59 km, ortalama maksimum mesafe 2299,39 km, ortalama toplam mesafe 15786,87 km, ortalama çözüm süresi 35,55 saniye olarak bulunmuştur. 15 çözümden 14 tanesi uygulanabilir çözümdür. Şekil 4.15. başlangıç çözümünü; Şekil 4.16. nihai çözümü göstermektedir.



Şekil 4.15. 14 kümeli k-ortalamlar ile kümelenmiş başlangıçlı en iyi çözümün başlangıç çözümü.





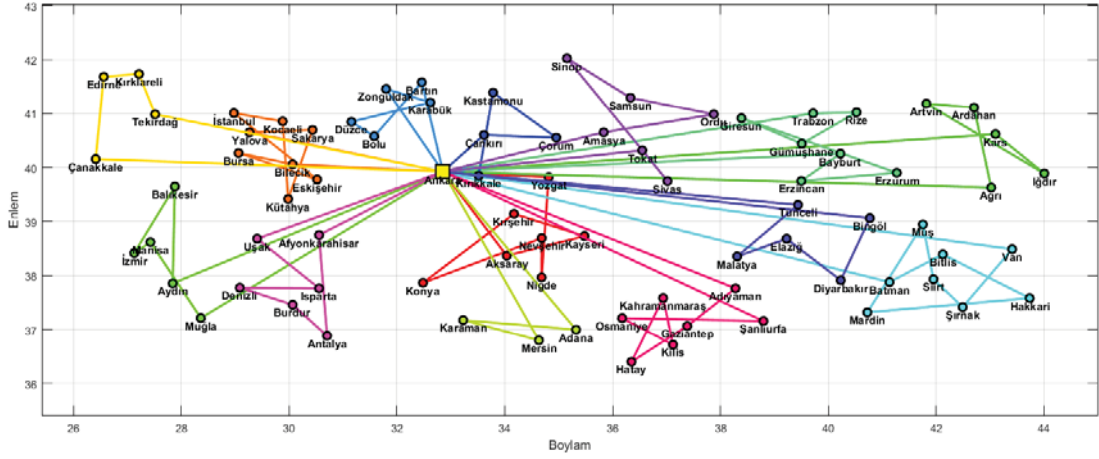
Şekil 4.16. 14 kümeli k-ortalamlar ile kümelenmiş başlangıçlı en iyi çözümün nihai çözümü.

Tablo 4.9. 14 kümeli bulanık c-ortalamlar ile kümelenmiş başlangıçlı çözüm sonuçları.

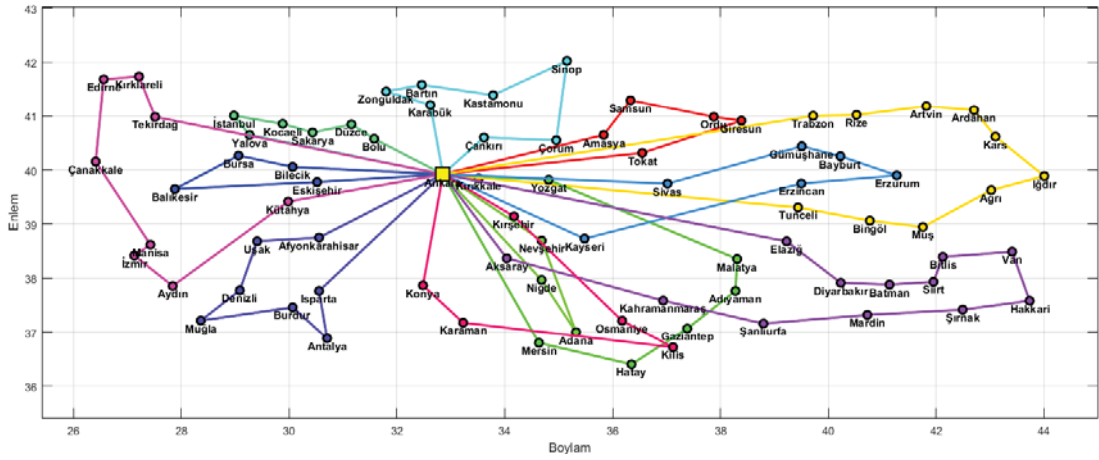
Deney No	Başlangıç Çözümü	En İyi Çözüm	Küme Sayısı	Minimum Mesafe	Maksimum Mesafe	Toplam Mesafe	Toplam Fazla Kapasite	Uygulanabilir Çözüm	Çözüm Süresi
1	22186,53	15979,19	13	539,7087	2260,3659	15979,19	0	1	35,581
<b>2</b>	<b>21447,97</b>	<b>15470,79</b>	<b>13</b>	<b>114,0158</b>	<b>2188,5518</b>	<b>15470,79</b>	<b>0</b>	<b>1</b>	<b>34,872</b>
3	21170,9	15597,02	13	417,556	2265,1814	15597,02	0	1	35,012
4	21470,31	15836,12	13	437,4377	2172,7982	15836,12	0	1	35,16
5	21632,33	15849,41	13	660,4332	2166,6857	15849,41	0	1	34,525
6	21257,43	15480,09	13	474,9832	2307,7338	15480,09	0	1	34,603
7	22551,88	15627,18	13	437,4377	2233,6559	15627,18	0	1	35,093
8	21635,58	15722,26	13	428,7202	2423,9696	15722,26	0	1	35,236
9	22055,7	16044,53	13	437,4377	2282,5015	16044,53	0	1	34,68
10	22021,56	16196,93	13	441,9619	2353,1074	16196,93	0	1	34,508
11	22725,12	15902,6	13	558,7668	2160,8319	15902,6	0	1	34,546
12	21775,46	15751,93	13	417,556	2392,6633	15751,93	0	1	35,068
13	21257,43	15739,58	13	417,556	2197,1216	15739,58	0	1	34,816
14	22186,53	15463,61	12	632,1836	2069,6788	15310,51	1	0	34,754
15	22601,84	15554,53	13	417,556	2146,771	15554,53	0	1	34,895
Ort.	21865,1	15747,72	12,93	455,554	2241,4412	15737,51	0,06667	0,93333	34,89

Problem 14 kümeli bulanık c-ortalamlar ile kümelenmiş başlangıç ile çözüldüğünde en iyi sonucu 2 numaralı deney vermiştir. Ortalama başlangıç çözümü 21865,1 km, ortalama en iyi çözüm 15747,72 km, ortalama minimum mesafe 455,55 km, ortalama

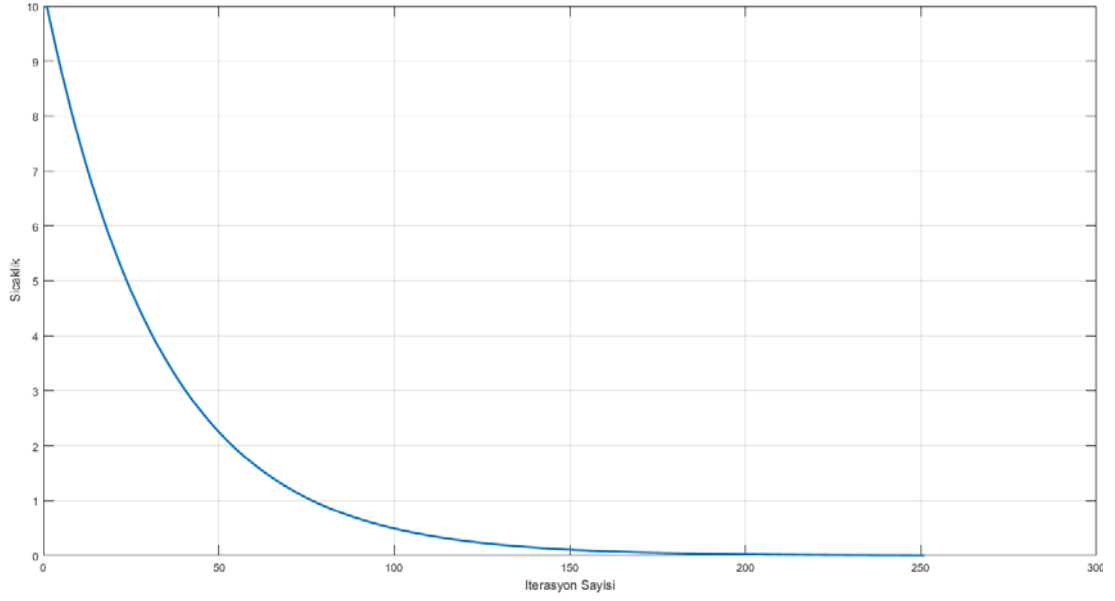
maksimum mesafe 2241,44 km, ortalama toplam mesafe 15737,51 km, ortalama çözüm süresi 34,89 saniye olarak bulunmuştur. 15 çözümden 14 tanesi uygulanabilir çözümdür. Şekil 4.17. başlangıç çözümü; Şekil 4.18. nihai çözümü göstermektedir.



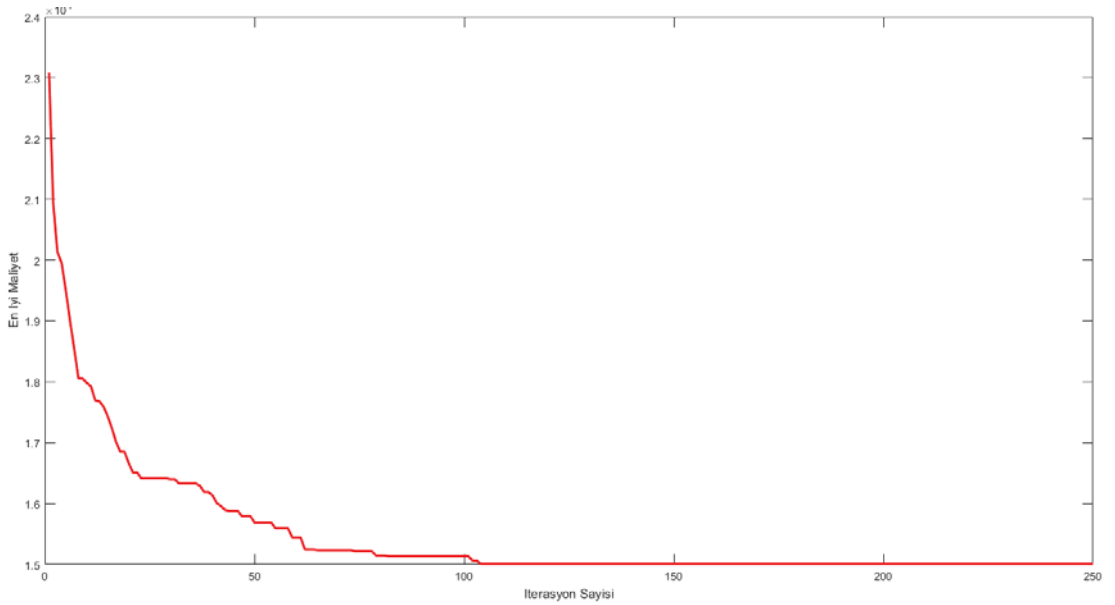
Şekil 4.17. 14 kümeli bulanık c-ortalamları ile kümelenebilecek başlangıç çözümü.



Şekil 4.18. 14 kümeli bulanık c-ortalamları ile kümelenebilecek nihai çözümü.



Şekil 4.19. Soğuma grafiği.



Şekil 4.20. En iyi çözümün amaç fonksiyonu değişimi.

Eşlenik t testinin uygulanması: Başlangıç çözümünün belirlenmesinde üç farklı yöntem kullanılmıştır. K-ortalamlar ile kümeleme ve bulanık c-ortalamlar ile kümeleme yöntemlerinin rassal başlangıç çözümüne karşı iyi sonuçlar verir vermediği test edilmiştir. Bu test için eşlenik t testi kullanılmıştır. Bu test başlangıç çözümü ve toplam mesafe değerleri için uygulanmıştır. Test sonuçları sırasıyla Tablo

4.10.'da ve Tablo 4.11.'de gösterilmiştir. En iyi sonuçlar 13 kümeli modelde elde edildiğinden test için de 13 kümeli model kullanılmıştır. Sonuçlar aşağıdaki tabloda verilmiştir.

Tablo 4.10. Başlangıç çözümü için test sonuçları.

	Rassal ve K-ortalamlar		Rassal ve Bulanık c-ortalamlar		K-ortalamlar ve Bulanık c-ortalamlar	
Ortalama	49933,07	21720,45	49933,07	21203,97	21720,45	21203,97
Varyans	3839999,49	1486920,02	3839999,49	139787,04	1486920,02	139787,04
Gözlem	15	15	15	15	15	15
Pearson Korelasyonu	-0,4562		0,4652		-0,0627	
df	14		14		14	
t Stat	39,8795		61,2678		1,5415	
P(T<=t) tek-uçlu	0,0000		0,0000		0,0727	
t Kritik tek-uçlu	1,7613		1,7613		1,7613	
<b>P(T&lt;=t) iki-uçlu</b>	<b>0,0000</b>		<b>0,0000</b>		<b>0,1455</b>	
t Kritik iki-uçlu	2,1448		2,1448		2,1448	

Başlangıç çözümü için test sonuçlarına bakıldığında rassal başlangıç çözümü ve k-ortalamlar başlangıç çözümü için  $P < 0,05$  olduğundan değerler arasında fark yoktur hipotezi reddedilir. Yani değerler arasında fark vardır. K-ortalamlar başlangıç çözümü rassal başlangıç çözümüne göre daha iyi sonuçlar vermiştir. Rassal başlangıç çözümü ve bulanık c-ortalamlar başlangıç çözümü için  $P < 0,05$  olduğundan değerler arasında fark yoktur hipotezi reddedilir. Yani değerler arasında fark vardır. Bulanık c-ortalamlar başlangıç çözümü rassal başlangıç çözümüne göre daha iyi sonuçlar vermiştir. K-ortalamlar başlangıç çözümü ve bulanık c-ortalamlar başlangıç çözümü için  $P > 0,05$  olduğundan değerler arasında fark yoktur hipotezi kabul edilir. Yani değerler arasında fark yoktur.

Tablo 4.11. Toplam mesafe için test sonuçları.

	Rassal ve K-ortalamlar		Rassal ve Bulanık c-ortalamlar		K-ortalamlar ve Bulanık c-ortalamlar	
Ortalama	15898,35	15839,36	15898,35	15539,68	15839,36	15539,68
Varyans	54041,80	83928,95	54041,80	50242,40	83928,95	50242,40
Gözlem	15	15	15	15	15	15
Pearson Korelasyonu	-0,0725		-0,4254		-0,1073	
df	14		14		14	
t Stat	0,5944		3,6034		3,0159	
P(T<=t) tek-uçlu	0,2809		0,0014		0,0046	
t Kritik tek-uçlu	1,7613		1,7613		1,7613	
<b>P(T&lt;=t) iki-uçlu</b>	<b>0,5617</b>		<b>0,0029</b>		<b>0,0093</b>	
t Kritik iki-uçlu	2,1448		2,1448		2,1448	

Toplam mesafe (nihai çözüm) için test sonuçlarına bakıldığında rassal başlangıç çözümü ve k-ortalamlar başlangıç çözümü için  $P > 0,05$  olduğundan değerler arasında fark yoktur hipotezi kabul edilir. Yani değerler arasında fark yoktur. K-ortalamlar başlangıç çözümü rassal başlangıç çözümüne göre daha iyi sonuçlar vermemiştir. Rassal başlangıç çözümü ve bulanık c-ortalamlar başlangıç çözümü için  $P < 0,05$  olduğundan değerler arasında fark yoktur hipotezi reddedilir. Yani değerler arasında fark vardır. Bulanık c-ortalamlar başlangıç çözümü rassal başlangıç çözümüne göre daha iyi sonuçlar vermiştir. K-ortalamlar başlangıç çözümü ve bulanık c-ortalamlar başlangıç çözümü için  $P < 0,05$  olduğundan değerler arasında fark yoktur hipotezi reddedilir. Yani değerler arasında fark vardır. Bulanık c-ortalamlar başlangıç çözümü, k-ortalamlar başlangıç çözümüne göre daha iyi sonuçlar vermiştir.

## BÖLÜM 5. TARTIŞMA VE SONUÇ

Problemi çözmek için kullanılan Tavlama Benzetimi algoritmasında üst iterasyon sayısı 250 ve alt iterasyon sayısı 500 olmak üzere, arama uzayında toplamda 125.000 adet rota oluşturacak kombinasyon test edilmiştir. İlk sıcaklık değeri 10, sıcaklık düşürme oranı 0,97 olarak belirlenmiştir. Problemden, 26 birim kapasiteli özdeş araçlar kullanılmıştır. Problemdenki müşterilerin toplam talebi 311'dir. Problemi minimum araç sayısı ile çözmek istersek, 12 ( $311/26 \approx 12$ ) araca ihtiyaç vardır. Farklı araç sayıları için sonuçları gözlemleyebilmek için 12, 13 ve 14 araçlı olacak şekilde modeller oluşturulmuştur. 3 farklı araç sayısı için rassal başlangıç çözümü, k-ortalamlar ile kümelenmiş başlangıç çözümü ve bulanık c-ortalamlar ile kümelenmiş başlangıç çözümü olmak üzere toplamda 6 adet model oluşturulmuştur. Her bir modelde 15 adet olmak üzere toplamda 90 deney yapılmıştır. K-ortalamlar ile kümelenmiş modellerin rassal başlangıç çözümlü modellere göre daha iyi sonuçlar verdiği gözlenmemiştir. Aşağıda sadece uygulanabilir çözümlerin istatistikleri verilmiştir.

12 araç için rassal çözüm oluşturulduğunda ortalama arama uzayı 50834,62 kilometre, ortalama en iyi çözüm değeri 16919,2 kilometre, tüm çözümlerde oluşan rota(küme) sayısı 12, minimum rotaların ortalaması 779,94 kilometre, maksimum rotaların ortalaması 2393,42 kilometre, ortalama çözüm süresi 33,55 saniye olarak bulunmuştur. 15 deneyden 6 tanesi uygulanabilir çözümdür. Uygulanabilir çözüm bulunma ihtimali %40'tır. 12 araç için bulanık c-ortalamlar ile kümelenmiş çözüm oluşturulduğunda ortalama arama uzayı 20802 kilometre, ortalama en iyi çözüm değeri 16199,96 kilometre, tüm çözümlerde oluşan rota (küme) sayısı 12, minimum rotaların ortalaması 730,81 kilometre, maksimum rotaların ortalaması 2242 kilometre, ortalama çözüm süresi 33,75 saniye olarak bulunmuştur. 15 deneyden 8 tanesi uygulanabilir çözümdür. Uygulanabilir çözüm bulunma ihtimali %53'tür.

13 araç için rassal çözüm oluşturulduğunda ortalama arama uzayı 49565,61 kilometre, ortalama en iyi çözüm değeri 15965,08 kilometre, tüm çözümlerde oluşan rota (küme) sayısı 13, minimum rotaların ortalaması 485,23 kilometre, maksimum rotaların ortalaması 2338,93 kilometre, ortalama çözüm süresi 34,65 saniye olarak bulunmuştur. 15 deneyden 11 tanesi uygulanabilir çözümdür. Uygulanabilir çözüm bulunma ihtimali %73'tür. 13 araç için bulanık c-ortalamlar ile kümelenecek çözüm oluşturulduğunda ortalama arama uzayı 21180,25 kilometre, ortalama en iyi çözüm değeri 15557,67 kilometre, tüm çözümlerde oluşan rota (küme) sayısı 13, minimum rotaların ortalaması 444,48 kilometre, maksimum rotaların ortalaması 2270,94 kilometre, ortalama çözüm süresi 34,59 saniye olarak bulunmuştur. 15 deneyden 14 tanesi uygulanabilir çözümdür. Uygulanabilir çözüm bulunma ihtimali %93'tür.

14 araç için rassal çözüm oluşturulduğunda ortalama arama uzayı 49538,56 kilometre, ortalama en iyi çözüm değeri 16105,94 kilometre, tüm çözümlerde oluşan rota (küme) sayısı 13, minimum rotaların ortalaması 512,63 kilometre, maksimum rotaların ortalaması 2290,99 kilometre, ortalama çözüm süresi 34,17 saniye olarak bulunmuştur. 15 deneyden 13 tanesi uygulanabilir çözümdür. Uygulanabilir çözüm bulunma ihtimali %87'dir. 14 araç için bulanık c-ortalamlar ile kümelenecek çözüm oluşturulduğunda ortalama arama uzayı 21842,15 kilometre, ortalama en iyi çözüm değeri 15768,01 kilometre, oluşan rota (küme) sayısı bir deney için 12, on dört deney için 13, minimum rotaların ortalaması 442,94 kilometre, maksimum rotaların ortalaması 2253,71 kilometre, ortalama çözüm süresi 34,9 saniye olarak bulunmuştur. 15 deneyden 14 tanesi uygulanabilir çözümdür. Uygulanabilir çözüm bulunma ihtimali %93'tür.

Tüm modeller için ortalamalara bakıldığında en iyi sonucu 13 araç için bulanık c-ortalamlar ile kümelenecek çözümlü model vermiştir. Tüm çözümlere genel olarak bakıldığında yine aynı model içerisindeki 5 numaralı deney en iyi sonucu vermiştir. Bu deneyin sonuçları: Arama uzayı 21351,41 kilometre, en iyi çözüm 15.008,19 kilometre, rota (küme) sayısı 13, minimum rota 447,98 kilometre, maksimum rota 2226,87 kilometre, çözüm süresi 34,9 saniyedir. En iyi çözümün 12 araç için uygulanan modeller olması beklenmiştir. Ama bu modellerde müşterilerin toplam

taleplerini karşılayabilmek için toplam araç kapasitelerinin %99,68 oranında kullanılacağından uygulanabilir bir çözüm bulamadan algoritma çıkmaza girer. 14 araç için uygulanan modeller de amaç fonksiyonu optimum çözüme ulaşmaya çalıştığında algoritmanın en rahat çalışacağı araç sayısına düşmüştür. Karar vericiler 12 araç için fazla mesafe katetmeyi göze alırlarsa bu model kullanılabilir. Bir aracın, rotasını tamamlaması için gereken maliyet, fazladan katedilen mesafeden büyük ise 12 araçlı model; diğer durumlarda 13 araçlı model kullanılabilir.

Bu model ile her başlangıçta başlangıç çözümü farklı olduğundan ve noktalar, mesafe olarak birbirine en yakın olacak şekilde kümelendiğinden ve arama alanında ortalama olarak %57 oranında azaltma yapıldığından dolayı çıkan sonuçlar ümit vericidir. Hesaplama sonuçları, kümeleme tabanlı bir başlangıç çözümü kullanmanın, literatürdeki önceki algoritmalara kıyasla daha iyi çözümlere ulaşmada etkili olduğunu göstermektedir. Kümeleme algoritması parametrelerini ayarlama ve çözümün kalitesine nasıl katkıda bulduklarını analiz etme gibi bazı muhtemel ileri araştırma alanları da vardır. TB ile Genetik Algoritma veya Tabu Arama gibi diğer iyi bilinen sezgisel yöntemler ve meta-sezgisellerin karşılaştırılması da mümkündür.



## KAYNAKLAR

- [1] Dantzig G.B., Ramser J.G., The truck dispatching problem, *Management Science*, 6 (1), 80-91, 1959.
- [2] Jaegere N.D., Defraeye M., Nieuwenhuyse I.V., The Vehicle Routing Problem: State of the Art Classification and Review, FEB Research Report KBI1415, Leuven, Belçika, 2014.
- [3] Borcinova Z., Two models of the capacitated vehicle routing problem, *Croatian Operational Research Review*, 8 (2), 463-469, 2017.
- [4] Ropke S., Heuristic and exact algorithms for vehicle routing problems, DTU library, Kopenhag, Danimarka, 2006.
- [5] Lei, K., Zhu, X., Hou, J., and Huang, W. (2014). Decision of multimodal transportation scheme based on swarm intelligence. *Mathematical Problems in Engineering*, 2014, 1–10.
- [6] Szeto, W.Y., Wu, Y., and Ho, S.C. (2011). An artificial bee colony algorithm for the capacitated vehicle routing problem. *European Journal of Operational Research*, 215(1), 126–135.
- [7] Yu, S.P. and Li, Y.P. (2012). An improved ant colony optimization for vrp with time windows. *Applied Mechanics and Materials*, 263-266, 1609.
- [8] Rego, C. (2006). *Operations Research/Computer Science Interfaces Series: Metaheuristic Optimization via Memory and Evolution : Tabu Search and Scatter Search*. Springer US.
- [9] Gracia, C., Diezma-Iglesias, B., and Barreiro, P. (2013). A hybrid genetic algorithm for route optimization in the bale collecting problem. *Spanish Journal of Agricultural Research*, 11(3), 603–614.
- [10] Ghannadpour S.F., Noori S., T.-Moghaddam R., Ghoseiri K., A multi-objective dynamic vehicle routing problem with fuzzy time windows: Model, solution and application, *Applied Soft Computing*, 14, 504-527, 2014.

- [11] Toth P., Vigo D., Models, Relaxations And Exact Approaches For The Capacitated Arc Routing Problem, *Discrete Applied Mathematics*, 123 (1-3), 487-512, 2002.
- [12] Min H., Jayaraman V., Srivastava R., Combined location-routing problems: A synthesis and future research directions, *European Journal of Operational Research*, 108 (1), 1-15, 1998.
- [13] Balinski M.L., Quandt R.E., On an Integer Program for a Delivery Problem, *Operations Research*, 12 (2), 300-304, 1964.
- [14] Ghiani G., Laporte G., Musmanno R., *Introduction to Logistics Systems Management*, John Wiley & Sons, Chichester, Birleşik Krallık, 2013.
- [15] Lenstra J.K., Kan A.H.G.R., Some Simple Applications of the Travelling Salesman Problem, *Operational Research Quarterly (1970-1977)*, 26 (4), 717, 1975.
- [16] Christofides N., Mingozzi A., Toth P., Exact algorithms for the vehicle routing problem, based on spanning tree and shortest path relaxations, *Mathematical Programming*, 20 (1), 255-282, 1981.
- [17] Burrows C., Eilon S., Watson-Gandy C., Christofides N., *Distribution management: Mathematical Modelling and Practical Analysis*, *Applied Statistics*, 21, 337, 1972.
- [18] Christofides N., Vehicle Routing. In Lawler E.L., Lenstra J.K., Rinnooy Kan A.H.G., Shmoys, D.B., editors, *The Traveling Salesman Problem. A Guided Tour of Combinatorial Optimization*, chapter Vehicle Routing, Wiley, Chichester, Birleşik Krallık, 431-448, 1985.
- [19] Laporte G., The vehicle routing problem: An overview of exact and approximate algorithms, *European Journal of Operational Research*, 59 (3), 345-358, 1992.
- [20] Clarke G., Wright J.W., Scheduling of Vehicles from a Central Depot to a Number of Delivery Points, *Operations Research*, 12 (4), 568-581, 1964.
- [21] Gaskell T.J., Bases for Vehicle Fleet Scheduling, *Operational Research Quarterly*, 18 (3), 281-295, 1967.
- [22] Yellow P.C., A Computational Modification to the Savings Method of Vehicle Scheduling, *Operational Research Quarterly (1970-1977)*, 21 (2), 281, 1970.

- [23] Paessens H., The savings algorithm for the vehicle routing problem, *European Journal of Operational Research*, 34 (3), 336-344, 1988.
- [24] Wren A., Holliday A., Computer Scheduling of Vehicles from One or More Depots to a Number of Delivery Points, *Journal of the Operational Research Society*, 23 (3), 333-344, 1972.
- [25] Gendreau M., Hertz A., Laporte G., A Tabu Search Heuristic for the Vehicle Routing Problem, *Management Science*, 40 (10), 1276-1290, 1994.
- [26] El-Sherbeny N.A., Vehicle routing with time windows: An overview of exact, heuristic and metaheuristic methods, *Journal of King Saud University - Science*, 22 (3), 123-131, 2010.
- [27] Swersey A.J., Ballard W, Scheduling School Buses, *Management Science*, 30 (7), 844-853, 1984.
- [28] Baker E.K., Schaffer J.R., Solution Improvement Heuristics for the Vehicle Routing and Scheduling Problem with Time Window Constraints, *American Journal of Mathematical and Management Sciences*, 6 (3-4), 261-300, 1986.
- [29] Solomon M.M., Algorithms for the Vehicle Routing and Scheduling Problems with Time Window Constraints, *Operations Research*, 35 (2), 166-324, 1987.
- [30] Landeghem H., A bi-criteria heuristic for the vehicle routing problem with time windows, *European Journal of Operational Research*, 36 (2), 217-226, 1988.
- [31] Potvin J.Y., Rousseau J.M., An exchange heuristic for routing problems with time windows, *Journal of the Operational Research Society*, 46 (12), 1433-1466, 1995.
- [32] Chiang, W. C. and Russell, R. A. (1996). Simulated annealing metaheuristics for the vehicle routing problem with time windows. *Annals of Operations Research*.
- [33] Taillard, E., Badeau, P., Gendreau, M., Guertin, F., and Potvin, J.-Y. (1997). A Tabu Search Heuristic for the Vehicle Routing Problem with Soft Time Windows. *Transportation Science*, 31(2):170–186.
- [34] Thangiah, S. R. (1995). Vehicle Routing with Time Windows using Genetic Algorithms. In Chambers, L., editor, *Application Handbook of Genetic Algorithms: New Frontiers*, volume 2, pages 253–277. CRC Press.

- [35] Li F., Golden B., Wasil E., The open vehicle routing problem: Algorithms, large-scale test problems, and computational results, *Computers & Operations Research*, 34 (10), 2918-2930, 2007.
- [36] Liu C., Lai M.Y., The vehicle routing problem with uncertain demand at nodes, *Transportation Research Part E Logistics and Transportation Review*, 45 (4), 517-524, 2009.
- [37] Erbao C., Mingyong L., A hybrid differential evolution algorithm to vehicle routing problem with fuzzy demands, *Journal of Computational and Applied Mathematics*, 231 (1), 302-310, 2009.
- [38] Klose, A., 1995. Using clustering methods in problems of combined location and routing. *Operations Research Proceedings*. Springer, pp. 411–416.
- [39] Yoshiike N., Takefuji Y., Solving vehicle routing problems by maximum neuron model, *Advanced Engineering Informatics*, 16 (2), 99-105, 2002.
- [40] Zarandi, M. H. F., Davari, S., & Hemmati, A. 2010. Fuzzy Clustering for Initialization of Simulated Annealing Algorithm to Solve a Capacitated Vehicle Routing Problem. In *Proceedings of the 2010 International Conference on Industrial Engineering and Operations Management Dhaka, Bangladesh*.
- [41] Barreto S., Ferreira C., Paixao J., Santos B.S., Using clustering analysis in a capacitated location-routing problem, *European Journal of Operational Research*, 179 (3), 968-977, 2007.
- [42] Laporte, G., 2012. The Traveling Salesman Problem, the Vehicle Routing Problem, and their Impact on Combinatorial Optimization.. In: *Canada: HEC Montréal*.,
- [43] Han, L., December 2016. Metaheuristic Algorithm for the vehicle routing problem with time window and skill set constraints., Halifax, Nova Scotia: Dalhousie University.
- [44] Rardin, R. (1998). *Optimization in Operations Research*. Prentice Hall, Upper Saddle River, New Jersey.
- [45] Lin, S., 1965. Computer solutions of the travelling salesman problem. *Bell System Technical Journal* 44, pp. 2245-2269.
- [46] Renaud, J. B. F. F. & L. G., 1996. A fast composite heuristic for the symmetric traveling salesman problem. *INFORMS Journal on Computing*., pp. 134-143.

- [47] Karel Jerabek., P. M. K. V., 2016. Application of Clark and Wright's Savings Algorithm, s.l.: s.n.
- [48] El-Sherbeny, N. A., 2009. Vehicle routing with time windows: An overview. *Journal of King Saud University*, 1 July.
- [49] Tuyttens, D. T. J. E.-S. N., 2004. A particular multiobjective vehicle routing problem solved by simulated annealing.. Germany, *Lecture Notes in Economics and Mathematical Systems*, vol. 535. Springer-Verlag.
- [50] Gold, T. C. a. H., 2008. *Vehicle Routing Problem*, Vienna, Austria: In-Teh.
- [51] Uchoa, E. A. P. D. A. P. A. A. P. M. A. V. T. A. S. A., 2017. New Benchmark Instances for the Capacitated Vehicle Routing Problem. *European Journal of Operational Research*, pp. 257(3), 845-858.
- [52] Laporte, G., Gendreau, M., Potvin, J-Y., Semet, F. (2000). Classical and modern heuristics for the vehicle routing problem. *International Transactions in Operational Research* 7, 285-300.
- [53] Bullnheimer, B., Hartl, R. F., and Strauss, C. (1999). An improved ant system algorithm for the vehicle routing problem. *Annals of Operations Research*, 89:319–328.
- [54] Laporte, G. and Nobert, Y. (1987). Exact algorithms for the vehicle routing problem. In Martello, S., Laporte, G., Minoux, M., and Ribeiro, C., editors, *Sureys in Combinatorial Optimization*, volume 31 of *Annals of Discrete Mathematics*, chapter 5, pages 147–184. Elsevier Science (North-Holland), Amsterdam.
- [55] Held, M. and R.M.Karp. (1971), „The traveling salesman problem and minimum spanning trees: Part II“, *Mathematical Programming* 1, 6-25.
- [56] Christofides, N., A.Mingozzi (1989), „Vehicle routing: Practical and algorithmic aspects“, In *Logistics: Where ends have to Meet*, Oxford, UK, Pergamon Press, 30-48.
- [57] Gelinas, S., Desrochers, M., Desrosiers, J. and Solomon, M. (1995), „A new branching strategy for time constrained routing problems with application to backhauling“, *Annals of Operations Research* 61, 91–109.
- [58] Kontoravdis, G. and Bard, J., (1995) „A GRASP for the vehicle routing problem with time windows“, *ORSA Journal on Computing* 7(1), 10–23.

- [59] Cheung, R.K. and Hang, D.D. (2003), „Multi-attribute label matching algorithms for vehicle routing problems with time windows and backhauls“, IIE Transactions 35(3), pp. 191–205.
- [60] Savelsbergh, M.W.P. and Sol, M. (1995), „The general pickup and delivery problem“, Transp. Sci. 29, 17-29.
- [61] Psaraftis, H. (1980), „A dynamic programming solution to the single vehicle many-to-many immediate request dial-a-ride problem“, Transp. Sci., 130-154.
- [62] Psaraftis, H (1983), „An exact algorithm for the single vehicle many-to-many dial-a-ride problem with time windows“. Transp. Sci. 17, 351-360.
- [63] Desrosiers, J., Dumas, Y. and Soumis, F. (1986), „A dynamic programming solution of a large scale single vehicle dial a ride problem with time windows“. Am. J. Math. Manage. Sci. 6, 301-326.
- [64] Psaraftis, H. (1983a), „K-interchange procedures for local search in a precedence-constrained routing problem“, Eur. J. Oper. Res. 13, 391-402.
- [65] Sexton, T. and Bodin, L. (1985), „Optimizing single vehicle many-to-many operations with desired delivery times: II Routing“, Transp. Sci. 19, 378-435.
- [66] Sexton, T. and Choi, Y. (1986), „Pick-up and delivery of partial loads with time windows“, Am. J. Math. Manage. Sci. 6, 369-398.
- [67] Gendreau, M., Hertz, A. and Laporte, G. (1996), „The traveling salesman problem with backhauls“, Comput. Oper. Res. 23, 501-508.
- [68] Van Breedam, A. (2001). Comparing descent heuristics and metaheuristics for the vehicle routing problem. Computers & Operations Research, 28(4):289–315.
- [69] Glover, F. (1986). Future paths for integer programming and links to artificial intelligence. Computers & Operations Research, 13(5):533–549.
- [70] Braysy, O. and Gendreau, M. (2001). Tabu search heuristics for the vehicle routing problem with time windows. Report stf42 a01022, SINTEF Applied Mathematics, Research Council of Norway.
- [71] Brucker, P. (2004). Scheduling algorithms. Springer-Verlag, Berlin, Germany, 4th edition.

- [72] Kirkpatrick S., Gelatt C., Vecchi M., Optimization by simulated annealing, *Science*, 220 (4598), 671-680, 1983.
- [73] Tan K.C., Lee L.H., Zhu Q.L., Ou K., Heuristic methods for vehicle routing problem with time windows, *Artificial Intelligence in Engineering*, 15 (3), 281-295, 2001.
- [74] Alfa A.S., Heragu S.S., Chen M., A 3-opt used simulated annealing algorithm for vehicle routing problems, *Computers & Industrial Engineering*, 21 (1-4), 635-639, 1991.
- [75] Aarts E., Korst J., *Simulated Annealing and Boltzmann Machines*. Wiley-Interscience Series in Discrete Mathematics, John Wiley & Sons, Chichester, Birleşik Krallık, 1989.
- [76] Robust'e F., Daganzo C.F., Souleyrette R.R.I., Implementing vehicle routing models, *Transportation Research Part B*, 24 (4), 263-286, 1990.
- [77] Van Breedam A., Improvement heuristics for the vehicle routing problem based on simulated annealing, *European Journal of Operational Research*, 86 (5), 480-490, 1995.
- [78] Van Breedam A., Comparing descent heuristics and metaheuristics for the vehicle routing problem, *Computers & Operations Research*, 28 (4), 289-315, 2001.
- [79] Goldberg, D. E. (1989). *Genetic Algorithms in Search, Optimization, and Machine Learning*. Addison-Wesley, Reading, Massachusetts.
- [80] Filipec, M., Skrlec, D., and Krajcar, S. (1998). An efficient implementation of genetic algorithms for constrained vehicle routing problem. In *Intelligent Systems for Humans in a Cyberworld*, volume 3 of IEEE International Conference on Systems, Man, and Cybernetics, pages 2231–2236, Florida. Systems, Man, and Cybernetics Society of the Institute of Electrical and Electronic Engineers, Inc, IEEE.
- [81] Vas, P. (1999). *Artificial-intelligence-based electrical machines and drives: application of fuzzy, neural, fuzzy-neural, and genetic-algorithm-based techniques*. Oxford University Press, Oxford.
- [82] Skrlec, D., Filipec, M., and Krajcar, S. (1997). A heuristic modification of genetic algorithm used for solving the single depot capacitated vehicle routing problem. In *Intelligent Information Systems '97*, pages 184–188. IEEE.

- [83] Thangiah, S. R., Nygard, K. E., and Juell, P. L. (1991). GIDEON: A genetic algorithm system for vehicle routing with time windows. In *Seventh IEEE Conference on Artificial Intelligence for Applications*, volume 1, pages 322–328. IEEE.
- [84] Solomon, M. (1987). Algorithms for the vehicle routing and scheduling problems with time windows. *Operations Research*, 35(2):254–265.
- [85] Dorigo, M. and Stutzle, T. (2002). *Ant Colony Optimization*. MIT Press, Cambridge.
- [86] Middendorf, M., Reischle, F., and Schmeck, H. (2002). Multi colony ant algorithms. *Journal of Heuristics*, 8(3):305–320.
- [87] Dorigo, M., Di Caro, G., and Gambardelle, L. M. (1999). Ant algorithms for discrete optimization. *Artificial Life*, 5(2):137–172.
- [88] Maniezzo, V., Gambardella, L. M., and de Luigi, F. (2004). Ant colony optimization. In Onwubolu, G. C. and Babu, B. V., editors, *New Optimization Techniques in Engineering*, chapter 5, pages 101–117. Springer-Verlag, Berlin.
- [89] Meuleau, N. and Dorigo, M. (2002). Ant colony optimization and stochastic gradient decent. *Artificial Life*, 8(2):103–121.
- [90] Jain A.K., Murty M.N., Flynn P.J., Data clustering: a review, *ACM Computing Surveys*, 31 (3), 264-323, 1999.
- [91] Everitt, B., Landau, S. and Leese, M., “Cluster Analysis,” London: Arnold, 2001.
- [92] Berkhin, P., “Survey of clustering data mining techniques,” Technical Report, Accrue Software, 2002.
- [93] Xu, R., and Wunsch, D., “Survey of clustering algorithms,” II, *IEEE Transactions on Neural Networks*, vol. 16, no. 3, pp. 645- 678, 2005.
- [94] Wang, W., Yang, J. and Muntz, R., “STING: A Statistical Information Grid Approach to Spatial Data Mining,” In: *Proc. of the 23rd Very Large Databases Conf*, 1997.
- [95] Sheikholeslami, G., Chatterjee, S. and Zhang, A., “WaveCluster: A Multi-Resolution Clustering Approach for Very Large Spatial Databases,” *Proceedings of the 24rd International Conference on Very Large Data Bases*, pp.428-439, 1998.



- [96] Kohonen, T., "Automatic formation of topological maps of patterns in a self-organizing system," Proceedings of 2SCIA, pp. 214-220, 1981a.
- [97] Fisher, D.H., "Knowledge Acquisition via Incremental Conceptual Clustering," Machine Learning, vol. 2, pp. 139-172, 1987.
- [98] Cheeseman, P. and Stutz, J., "Bayesian Classification (AutoClass): Theory and Results," Advances in Knowledge Discovery and Data Mining, Cambridge, 1996.
- [99] Dunn J.C., A Fuzzy Relative of the ISODATA Process and Its Use in Detecting Compact Well-Separated Clusters, Journal of Cybernetics, 3 (3), 32-57, 1973.
- [100] Bezdek J.C., Pattern Recognition with Fuzzy Objective Function Algorithms, Plenum Press, New York, ABD, 1981.
- [101] Mcqueen, J., "Some methods for classification and analysis of multivariate observations," In Proceedings of the Fifth Berkeley Symposium on Mathematical Statistics and Probability, pp. 281–297, 1967.
- [102] Pandey G., Kumar V., Steinbach M., Computational Approaches for Protein Function Prediction, Supported by the National Science Foundation under Grant Nos. IIS-0308264 and ITR-0325949, 2007.

## EKLER

### EK 1: Uygulamada Kullanılan Veriler

Tablo 7.1. Uygulamada kullanılan veriler.

Sıra	Kod	İl Adı	Enlem	Boylam	Talep
0	6	Ankara	39,920770	32,854110	0
1	1	Adana	37,000000	35,321333	12
2	2	Adıyaman	37,764751	38,278561	2
3	3	Afyonkarahisar	38,750714	30,556692	2
4	4	Ağrı	39,626922	43,021596	4
5	68	Aksaray	38,368690	34,036980	2
6	5	Amasya	40,649910	35,835320	2
7	7	Antalya	36,884140	30,705630	2
8	75	Ardahan	41,110481	42,702171	2
9	8	Artvin	41,182770	41,818292	2
10	9	Aydın	37,856041	27,841631	2
11	10	Balıkesir	39,648369	27,882610	2
12	74	Bartın	41,581051	32,460979	6
13	72	Batman	37,881168	41,135090	1
14	69	Bayburt	40,255169	40,224880	2
15	11	Bilecik	40,056656	30,066524	7
16	12	Bingöl	39,062635	40,769610	3
17	13	Bitlis	38,393799	42,123180	2
18	14	Bolu	40,575977	31,578809	2
19	15	Burdur	37,461267	30,066524	2
20	16	Bursa	40,266864	29,063448	10
21	17	Çanakkale	40,155312	26,414160	1
22	18	Çankırı	40,601343	33,613421	1
23	19	Çorum	40,550556	34,955556	5
24	20	Denizli	37,776520	29,086390	4
25	21	Diyarbakır	37,914410	40,230629	2
26	81	Düzce	40,843849	31,156540	2
27	22	Edirne	41,681808	26,562269	2
28	23	Elazığ	38,680969	39,226398	5
29	24	Erzincan	39,750000	39,500000	3
30	25	Erzurum	39,900000	41,270000	9

Tablo 7.1. (Devamı).

Sıra	Kod	İl Adı	Enlem	Boylam	Talep
31	26	Eskişehir	39,776667	30,520556	7
32	27	Gaziantep	37,066220	37,383320	5
33	28	Giresun	40,912811	38,389530	9
34	29	Gümüşhane	40,438588	39,508556	2
35	30	Hakkâri	37,583333	43,733333	2
36	31	Hatay	36,401849	36,349810	5
37	76	Iğdır	39,887984	44,004836	3
38	32	Isparta	37,764771	30,556561	3
39	34	İstanbul	41,005270	28,976960	12
40	35	İzmir	38,418850	27,128720	3
41	46	Kahramanmaraş	37,585831	36,937149	1
42	78	Karabük	41,206100	32,620350	3
43	70	Karaman	37,175930	33,228748	4
44	36	Kars	40,616667	43,100000	2
45	37	Kastamonu	41,388710	33,782730	3
46	38	Kayseri	38,731220	35,478729	6
47	71	Kırkkale	39,846821	33,515251	3
48	39	Kırklareli	41,733333	27,216667	2
49	40	Kırşehir	39,142490	34,170910	5
50	79	Kilis	36,718399	37,121220	4
51	41	Kocaeli	40,853270	29,881520	1
52	42	Konya	37,866667	32,483333	4
53	43	Kütahya	39,416667	29,983333	5
54	44	Malatya	38,355190	38,309460	7
55	45	Manisa	38,619099	27,428921	8
56	47	Mardin	37,321163	40,724477	2
57	33	Mersin	36,800000	34,633333	2
58	48	Muğla	37,215278	28,363611	7
59	49	Muş	38,946189	41,753893	3
60	50	Nevşehir	38,693940	34,685651	9
61	51	Niğde	37,966667	34,683333	4
62	52	Ordu	40,983879	37,876411	5
63	80	Osmaniye	37,213026	36,176261	9
64	53	Rize	41,020050	40,523449	2
65	54	Sakarya	40,693997	30,435763	7
66	55	Samsun	41,292782	36,331280	5
67	56	Siirt	37,933333	41,950000	3
68	57	Sinop	42,023140	35,153069	3
69	58	Sivas	39,747662	37,017879	3
70	63	Şanlıurfa	37,159149	38,796909	2
71	73	Şırnak	37,418748	42,491834	1
72	59	Tekirdağ	40,983333	27,516667	3

Tablo 7.1. (Devamı).

Sıra	Kod	İl Adı	Enlem	Boylam	Talep
73	60	Tokat	40,316667	36,550000	4
74	61	Trabzon	41,001450	39,717800	2
75	62	Tunceli	39,307355	39,438778	3
76	64	Uşak	38,682301	29,408190	6
77	65	Van	38,489140	43,408890	3
78	77	Yalova	40,650000	29,266667	2
79	66	Yozgat	39,818081	34,814690	5
80	67	Zonguldak	41,456409	31,798731	4

**EK 2: Model\_Olustur.m**

```

function model=Model_Olustur(nokta_sayisi,kume_sayisi)
[sayi,metin,ham_veri]=xlsread('veri_seti.xlsx');
x=(sayi(2:end,5)).';
x0=sayi(1,5);
x_en_az=min(x)-1;
x_en_cok=max(x)+1;
y=(sayi(2:end,4)).';
y0=sayi(1,4);
y_en_az=min(y)-1;
y_en_cok=max(y)+1;
sehir_isim=(metin(2:end,3)).';
talep=(sayi(2:end,6)).';
arac_kapasitesi=(ones(kume_sayisi,1)*26).';
for uz1=1:length(x)
for uz2=1:length(y)
uzaklik_matrisi(uz1,uz2)=deg2km(distance([y(uz1) x(uz1)], [y(uz2)
x(uz2)]));
end
merkezden_uzaklik(uz1)=deg2km(distance([y0 x0], [y(uz1) x(uz1)]));
end
model.nokta_sayisi=nokta_sayisi;
model.kume_sayisi=kume_sayisi;
model.x=x;
model.x0=x0;
model.x_en_az=x_en_az;
model.x_en_cok=x_en_cok;
model.y=y;
model.y0=y0;
model.y_en_az=y_en_az;
model.y_en_cok=y_en_cok;
model.sehir_isim=sehir_isim;
model.talep=talep;
model.arac_kapasitesi=arac_kapasitesi;
model.uzaklik_matrisi=uzaklik_matrisi;
model.merkezden_uzaklik=merkezden_uzaklik;
end

```

**EK 3: Model\_Olustur\_Ve\_Kaydet.m**

```
function Model_Olustur_Ve_Kaydet()  
nokta_sayisi=80;  
kume_sayisi=13;  
model=Model_Olustur(nokta_sayisi,kume_sayisi);  
model_ismi=['veri_seti(' num2str(model.nokta_sayisi) 'X'  
num2str(model.kume_sayisi) ')'];  
save(model_ismi,'model');  
end
```

**EK 4: Veri\_Seti\_Sec.m**

```
function model=Veri_Seti_Sec()
dosya_filtresi={'*.mat','mat Dosyaları (*.mat)'
'*.','Tüm Dosyalar (*.*)'};
[dosya_ismi,dosya_yolu]=uigetfile(dosya_filtresi,'Veri Seti
Sec');
if dosya_ismi==0
model=[];
return;
end
tam_dosya_ismi=[dosya_yolu dosya_ismi];
veri_seti=load(tam_dosya_ismi);
model=veri_seti.model;
end
```

**EK 5: Baslangic\_Cozumu\_Olustur.m (Rassal Başlangıç)**

```
function baslangic_rotasi=Baslangic_Cozumu_Olustur(model)
nokta_sayisi=model.nokta_sayisi;
kume_sayisi=model.kume_sayisi;
baslangic_rotasi=randperm(nokta_sayisi+kume_sayisi-1);
en_ iyi_ cozum.Cozum=Sayisal_Cozum(baslangic_rotasi,model);
figure(1);
Gorsel_Cozum(en_ iyi_ cozum.Cozum,model);
end
```



**EK 6: Baslangic\_Cozumu\_Olustur.m (BCO Başlangıç)**

```

function baslangic_rotasi=Baslangic_Cozumu_Olustur(model)
nokta_sayisi=model.nokta_sayisi;
kume_sayisi=model.kume_sayisi;
x=model.x;
x0=model.x0;
x_en_az=model.x_en_az;
x_en_cok=model.x_en_cok;
y=model.y;
y0=model.y0;
y_en_az=model.y_en_az;
y_en_cok=model.y_en_cok;
sehir_isim=model.sehir_isim;
bco_veri=[x.' y.'];
[merkezler,U_matris]=fcm(bco_veri,kume_sayisi);
U_en_cok=max(U_matris);
for k=1:kume_sayisi
bas_kume{k}=find(U_matris(k,)==U_en_cok);
end
renkler=hsv(kume_sayisi);
figure(1);
for k=1:kume_sayisi
X=[x0 x(bas_kume{k}) x0];
Y=[y0 y(bas_kume{k}) y0];
renk=renkler(k,:);
plot(X,Y,'- o',...
'Color',renk,...
'MarkerFaceColor',renk,...
'MarkerEdgeColor','black',...
'LineWidth',2,...
'MarkerSize',7);
hold on;
end
plot(x0,y0,'ks',...
'LineWidth',2,...
'MarkerSize',15,...
'MarkerEdgeColor','black',...
'MarkerFaceColor','yellow');
text([x0 x],[y0
y],sehir_isim,'FontWeight','bold','horizontalAlignment','center',
'verticalAlignment','top');
hold off;
xlabel('Boylam');
ylabel('Enlem');
grid on;
axis equal;
xlim([x_en_az x_en_cok]);
ylim([y_en_az y_en_cok]);
baslangic_rotasi=[bas_kume{1}];
for k=2:kume_sayisi
baslangic_rotasi=[baslangic_rotasi nokta_sayisi+k-1 bas_kume{k}];
end
end
end

```

**EK 7: Sayisal\_Cozum.m**

```

function cozum=Sayisal_Cozum(baslangic_rotasi,model)
nokta_sayisi=model.nokta_sayisi;
kume_sayisi=model.kume_sayisi;
talep=model.talep;
arac_kapasitesi=model.arac_kapasitesi;
uzaklik_matrisi=model.uzaklik_matrisi;
merkezden_uzaklik=model.merkezden_uzaklik;
pozisyon_silme=find(baslangic_rotasi>nokta_sayisi);
baslangic=[0 pozisyon_silme]+1;
bitis=[pozisyon_silme nokta_sayisi+kume_sayisi]-1;
rota_kumasi=cell(kume_sayisi,1);
rota_mesafesi=zeros(1,kume_sayisi);
kullanilan_kapasite=zeros(1,kume_sayisi);
for j=1:kume_sayisi
rota_kumasi{j}=baslangic_rotasi(baslangic(j):bitis(j));
if ~isempty(rota_kumasi{j})
rota_mesafesi(j)=merkezden_uzaklik(rota_kumasi{j}(1));
for k=1: numel(rota_kumasi{j})-1
rota_mesafesi(j)=rota_mesafesi(j)+uzaklik_matrisi(rota_kumasi{j}(
k),rota_kumasi{j}(k+1));
end
rota_mesafesi(j)=rota_mesafesi(j)+merkezden_uzaklik(rota_kumasi{j}
}(end));
kullanilan_kapasite(j)=sum(talep(rota_kumasi{j}));
end
end
fazla_kapasite=max(kullanilan_kapasite./arac_kapasitesi-1,0);
toplam_fazla_kapasite=sum(max(kullanilan_kapasite-
arac_kapasitesi,0));
ortalama_fazla_kapasite=mean(fazla_kapasite);
cozum.rota_kumasi=rota_kumasi;
cozum.rota_mesafesi=rota_mesafesi;
cozum.en_az_rota_mesafesi=min(rota_mesafesi);
cozum.en_cok_rota_mesafesi=max(rota_mesafesi);
cozum.toplam_mesafe=sum(rota_mesafesi);
cozum.kullanilan_kapasite=kullanilan_kapasite;
cozum.fazla_kapasite=fazla_kapasite;
cozum.ortalama_fazla_kapasite=ortalama_fazla_kapasite;
cozum.toplam_fazla_kapasite=toplam_fazla_kapasite;
cozum.uygulanabilir_mi=(ortalama_fazla_kapasite==0);
end

```

**EK 8: Amac\_Fonksiyonu.m**

```
function [z,cozum]=Amac_Fonksiyonu(baslangic_rotasi,model)
cozum=Sayisal_Cozum(baslangic_rotasi,model);
z1=cozum.toplam_mesafe;
z2=(z1*0.01)*cozum.toplam_fazla_kapasite;
z3=cozum.en_cok_rota_mesafesi;
z4=(cozum.en_cok_rota_mesafesi-cozum.en_az_rota_mesafesi);
z=z1+z2;
end
```

**EK 9: Komsu\_Olustur.m**

```

function yeni_rota=Komsu_Olustur(baslangic_rotasi)
komsuluk_durumu=randi([1 3]);
switch komsuluk_durumu
case 1
yeni_rota=karsilikli_degisme(baslangic_rotasi);
case 2
yeni_rota=tersine_cevirme(baslangic_rotasi);
case 3
yeni_rota=ekleme_yapma(baslangic_rotasi);
end
end

function yeni_rota=karsilikli_degisme(baslangic_rotasi)
eleman_sayisi=numel(baslangic_rotasi);
sayi=randsample(eleman_sayisi,2);
sayi1=sayi(1);
sayi2=sayi(2);
yeni_rota=baslangic_rotasi;
yeni_rota([sayi1 sayi2])=baslangic_rotasi([sayi2 sayi1]);
end

function yeni_rota=tersine_cevirme(baslangic_rotasi)
eleman_sayisi=numel(baslangic_rotasi);
sayi=randsample(eleman_sayisi,2);
sayi1=min(sayi(1),sayi(2));
sayi2=max(sayi(1),sayi(2));
yeni_rota=baslangic_rotasi;
yeni_rota(sayi1:sayi2)=baslangic_rotasi(sayi2:-1:sayi1);
end

function yeni_rota=ekleme_yapma(baslangic_rotasi)
eleman_sayisi=numel(baslangic_rotasi);
sayi=randsample(eleman_sayisi,2);
sayi1=sayi(1);
sayi2=sayi(2);
if sayi1<sayi2
yeni_rota=[baslangic_rotasi(1:sayi1-1)
baslangic_rotasi(sayi1+1:sayi2) baslangic_rotasi(sayi1)
baslangic_rotasi(sayi2+1:end)];
else
yeni_rota=[baslangic_rotasi(1:sayi2) baslangic_rotasi(sayi1)
baslangic_rotasi(sayi2+1:sayi1-1) baslangic_rotasi(sayi1+1:end)];
end
end
end

```

**EK 10: Gorsel\_Cozum.m**

```

function Gorsel_Cozum(cozum,model)
kume_sayisi=model.kume_sayisi;
x=model.x;
x0=model.x0;
x_en_az=model.x_en_az;
x_en_cok=model.x_en_cok;
y=model.y;
y0=model.y0;
y_en_az=model.y_en_az;
y_en_cok=model.y_en_cok;
sehir_isim=model.sehir_isim;
rota_kumasi=cozum.rota_kumasi;
renkler=hsv(kume_sayisi);
for j=1:kume_sayisi
if isempty(rota_kumasi{j})
continue;
end
X=[x0 x(rota_kumasi{j}) x0];
Y=[y0 y(rota_kumasi{j}) y0];
renk=renkler(j,:);
plot(X,Y,'- o',...
'Color',renk,...
'MarkerFaceColor',renk,...
'MarkerEdgeColor','black',...
'LineWidth',2,...
'MarkerSize',7);
hold on;
end
plot(x0,y0,'ks',...
'LineWidth',2,...
'MarkerSize',15,...
'MarkerEdgeColor','black',...
'MarkerFaceColor','yellow');
hold off;
xlabel('Boylam');
ylabel('Enlem');
grid on;
axis equal;
xlim([x_en_az x_en_cok]);
ylim([y_en_az y_en_cok]);
end

```

**EK 11: Tavlama\_Benzetimi.m**

```

close all;
clear;
clc;
model=Veri_Seti_Sec();
tic;
maliyet_fonksiyonu=@(baslangic_rotasi)
Amac_Fonksiyonu(baslangic_rotasi,model);
iterasyon_sayisi_1=250;
iterasyon_sayisi_2=500;
ilk_sicaklik=10;
sicaklik_sogurma_orani=0.97;
noktalar.Pozisyon=Baslangic_Cozumu_Olustur(model);
[noktalar.Maliyet,noktalar.Cozum]=maliyet_fonksiyonu(noktalar.Pozisyon);
en_ iyi_cozum=noktalar;
disp(['Iterasyon 0 -- En İyi Maliyet = '
num2str(en_ iyi_cozum.Cozum.toplam_mesafe)]);
en_ iyi_maliyet=zeros(iterasyon_sayisi_1,1);
sicaklik=ilk_sicaklik;
for iterasyon1=1:iterasyon_sayisi_1
for iterasyon2=1:iterasyon_sayisi_2
noktalar_yeni.Pozisyon=Komsu_Olustur(noktalar.Pozisyon);

[noktalar_yeni.Maliyet,noktalar_yeni.Cozum]=maliyet_fonksiyonu(noktalar_yeni.Pozisyon);
if noktalar_yeni.Maliyet<=noktalar.Maliyet
noktalar=noktalar_yeni;
else
delta(iterasyon1*iterasyon2)=noktalar_yeni.Maliyet-noktalar.Maliyet;
p(iterasyon1*iterasyon2)=exp(-delta(iterasyon1*iterasyon2)/sicaklik(iterasyon1));
if rand<=p(end)
noktalar=noktalar_yeni;
end
end
if noktalar.Maliyet<=en_ iyi_cozum.Maliyet
en_ iyi_cozum=noktalar;
end
end
en_ iyi_maliyet(iterasyon1)=en_ iyi_cozum.Maliyet;
if en_ iyi_cozum.Cozum.uygulanabilir_mi
isaret=' *';
else
isaret='';
end
disp(['Iterasyon ' num2str(iterasyon1) ' -- En İyi Maliyet = '
num2str(en_ iyi_maliyet(iterasyon1)) isaret]);
sicaklik(iterasyon1+1)=sicaklik_sogurma_orani*sicaklik(iterasyon1);
);
figure(2);
Gorsel_Cozum(en_ iyi_cozum.Cozum,model);

```

```
pause(0);
end
text([model.x0 model.x], [model.y0
model.y], model.sehir_isim, 'FontWeight', 'bold', 'horizontalAlignmen
t', 'center', 'verticalAlignment', 'top');
figure(3);
plot(en_ iyi_maliyet, 'r', 'LineWidth', 2);
xlabel('Iterasyon Sayisi');
ylabel('En İyi Maliyet');
figure(4);
plot(delta, 'LineWidth', 2);
xlabel('Iterasyon Sayisi');
ylabel('Delta');
figure(5);
plot(p, 'LineWidth', 2);
xlabel('Iterasyon Sayisi');
ylabel('p');
figure(6);
plot(sicaklik, 'LineWidth', 2);
xlabel('Iterasyon Sayisi');
ylabel('Sicaklik');
grid on;
```

**EK 12: Calistir.m**

```
Tavlama_Benzetimi;  
sure=toc;  
disp(['Islem Suresi = ' num2str(sure) ' saniye']);
```



## ÖZGEÇMİŞ

Ahmet Fatih Eker, 14 Temmuz 1994'te Konya'da doğdu. İlk, orta ve lise eğitimini Bursa'da tamamladı. 2012 yılında Ali Osman Sönmez Anadolu Teknik Lisesinin Tekstil Teknolojisi Bölümünden mezun oldu. 2012 yılında başladığı Sakarya Üniversitesi Endüstri Mühendisliği Bölümünden 2016 yılında mezun oldu. 2017 yılında Sakarya Üniversitesi Endüstri Mühendisliği Bölümünde yüksek lisans eğitimine başladı. Hâlâ Sakarya Üniversitesi Endüstri Mühendisliği Bölümünde öğrenci olarak öğrenim hayatına devam etmektedir.